

HF^+ ($\text{D}_0, \mu \cdot \text{n.}$) " XI 2738 1971
 $\overline{\text{DF}}^+$, Berkowitz Y.,
 f_2 Chem. Phys. Lett., 1971, 11, N1, 21-26
(caus.)

Experimental potential energy curves for $X^2\Pi$ and $^2\Sigma^+$ states of HF^+ .

Y - (P)

BTC Phys., 1972, 3D 433 10

1971

Fig

acc. No 05.

Boyd R.Y.

Whitehead M.F.

y

J. Chem. Soc.,

1941, A, 22, 3549.



(Ac. Br) III

(ратионе определенное в таблеках
 показывает как 200 километров (34)
 Среднее значение

М-ра	Опред.	I	II	III	IV	Средн.
F_2	Тю	16.90	15.13	17.25	15.46	15.63 Тю
	Ог	19.84	17.52	19.31	17.59	17.35 Ог
	Ти	20.32	18.55	19.93	18.23	18.46 Ти
	Ои	34.95	35.13	36.89	38.13	
	Ог	47.28	49.04	42.46	43.98	

X-5255

1971

F₂ n gp / peers n recd. copyw)

Chu San Y., Frost A.A.,

J. Chem. Phys., 1971, 54, 12,
264-268

• 10

XI-2678

1941

F₂

Ae

P₀

C.F.19

1130655 Electron affinities of halogen diatomic molecules as determined by endoergic charge transfer. Chupka, W. A.; Berkowitz, J. (Argonne Natl. Lab., Argonne, Ill.). *J. Chem. Phys.* 1971, 55(6), 2724-33 (Eng). Ion pair formation by photon absorption at threshold wavelengths has been used to prep. I⁻, Br⁻, and F⁻ ions with approx. room-temp. thermal energies, as verified by retarding-potential measurements. The primary ions were accelerated, and their reactions with halogen mols. studied at lab. kinetic energies from 0.0 to ~4.0 eV. Thresholds were detd. for endoergic reactions of the type X⁻ + Y₂ → X + Y₂⁻, where X may be the same as Y. At least 2 reactions were used in detg. each electron affinity. The agreement was good in all cases. The values of electron affinity obtained are 3.08 ± 0.1 eV for F₂, 2.38 ± 0.1 eV or Cl₂, 2.51 ± 0.1 eV for Br₂, and 2.58 ± 0.1 eV for I₂. Interhalogen mol. ions such as IBr⁻ were also obsd., and measurement of the threshold for formation gave the value 2.7 ± 0.2 eV for the electron affinity of IBr. The retarding-potential measurements of F⁻ from F₂ strongly support a value for the dissociation energy of F₂ in the neighborhood of 1.6 eV.

H. 95 18

+ CO₂ Br₂ H₂ J₂

XI-26.78.

1971

F₂

2 Д339. Сродство к электрону галоидных двухатомных молекул, определенное с помощью эндотермической перезарядки. Chirk a W. A., Berkowitz J., Gutman David. Electron affinities of halogen diatomic molecules as determined by endoergic charge transfer. «J. Chem. Phys.», 1971, 55, № 6, 2724—2733 (англ.)

Образование ионных пар при поглощении фотонов в припороговой области использовалось для приготовления отрицат. ионов J⁻, Br⁻, F⁻ с приблизительно термич. энергией, соответствующей комнатной т-ре, как установлено в экспериментах с использованием задерживающего потенциала. Первичные ионы ускорялись, изучались их реакции с молекулами галогенов при кин-

He

74

ф. 1972. 20



нетич. энергиях в J_1 -системе координат от 0 до 4 эв. Определены пороги для процессов эндотермич. перезарядки. Из величин пороговой энергии рассчитаны величины сродства к электрону (в эв): $3,08 \pm 0,1$ для F_2 , $2,38 \pm 0,1$ для Cl_2 , $2,51 \pm 0,1$ для Br_2 , $2,58 \pm 0,1$ для J_2 . Наблюдались также интергалоидные молекулярные ионы, напр., JBr^- . Измерение порога их появления дает величину сродства к электрону молекулы JBr $2,7 \pm 0,2$ эв. Измерения кинетич. энергии F^- из F_2 указывают на величину энергии диссоциации F_2 в окрестности 1,6 эв.

Г. К.

H₂

5 Б123. Определение сродства к электрону двухатомных молекул галогенов методом эндоэргического переноса заряда. Chupka W. A., Berkowitz J., Gutman David. Electron affinities of halogen diatomic molecules as determined by endoergic charge transfer. «J. Chem. Phys.», 1971, 55, № 6, 2724—2733 (англ.)

1971

Ae

Методом эндоэргич. переноса заряда по механизму $X^- + Y_2 \rightarrow X + Y_2^-$ или $X^- + Y_2 \rightarrow XY^- + Y$ ($X, Y = F, Cl, Br$) измерено сродство к электрону двухатомных молекул галогенов. Для получения ионов X^- использована р-ция $X_2 + h\nu \rightarrow X^+ + X^-$ при учете кинетич. энергии образующихся ионов Y_2^- или XY^- . Эксперименты проведены со всеми ионами X и их смесями и показано, что все р-ции $X^- + Y_2 \rightarrow XY^- + Y^-$ экзотермичны или же слегка эндотермичны. Изучена зависимость сечения р-ций от ускоряющего потенциала и найдена заметная кривизна этой зависимости вблизи порога. Результаты измерений показывают, что большинство ионов F_2^- образуется при р-ции $J^- + F_2 \rightarrow F_2^- + J$ при сравнительно малом ускоряю-

(+4)

X. 1982

5



щем потенциале, причем эта р-ция или экзотермическая, или же термически нейтральная, а р-ции Br^- , $\text{F}^- + \text{F}_2 \rightarrow \text{F}_2^- + \text{Br}$, F эндоэрические. Р-ции всех ионов с Cl_2 эндоэргические. Подробно проанализированы погрешности измерений. Для сродства к электрону молекул F_2 , Cl_2 , Br_2 , J_2 и JBr получены значения 3,08; 2,38, 2,51; 2,58 и 2,7 эв соотв. Оценена энергия диссоциации F_2 ($\sim 1,6$ эв).

М. Р. Алиев

XI-1823

1871

12 Д255. Кинетическая энергия ионов, образующихся при фотоионизации молекул HF и F₂. Chupka W. A., Bergowitz J. Kinetic energy of ions produced by photoionization of HF and F₂. «J. Chem. Phys.», 1971, 54, № 12, 5126—5132 (англ.)

С целью определения энергий диссоциации D молекул HF и F₂ методом фотоионизационной масс-спектрометрии измерены кинетич. энергии положительно заряженных ионов, образующихся при следующих процессах: HF + $h\nu \rightarrow H^+ + F^-$ (1); F₂ + $h\nu \rightarrow F^+ + F^-$ (2). Найдено,

см. также № 17 (iii)

Ф. 1971. 12.0

1871

что при электронном сродстве атома F, равном 3,40 эв, величина энергии диссоциации молекулы HF оказывается равной $5,87 \pm 0,02$ эв, что хорошо согласуется с результатами других измерений. Величина $D(F_2)$ найдена равной $1,58 \pm 0,03$ эв. Исследование кинетич. энергии ионов выше порога процесса (2) показывает, что ион F^+ образуется в следующих состояниях 3P_2 , 3P_1 , 3P_0 ; при более высоких энергиях возможно образование F^+ -ионов в D -состоянии.

А. Зембеков

B96629-X

1971

F_2 - (D_0) , C_3F_2 (ΔG)

Copsey D.N., Mirrall J.N.,

Stamper J.C.,

Mol. Phys., 1971, 21, N2, 193-204

F
G

XII 1992

1971

21 Б30. Расчеты геометрии и свойств некоторых межгалоидных соединений с учетом всех валентных электронов и применением методов ППДП/2 и ЧПДП. Deb B. M., Coulson C. A. CNDO/2 and INDO allvalence-electron calculations on the geometry and properties of some interhalogens. «J. Chem. Soc.», 1971, A, № 8, 958—970 (англ.)

Проведен расчет MO молекул F_2 , Cl_2 , Br_2 , J_2 , ClF , BrF , JF , BrCl , JCl , JBr , ClF_3 , BrF_3 , JF_3 , ClF_5 , BrF_5 , JF_5 , JF_7 , BrF_7 и ClF_7 с включением валентных AO атомов (s и p), без учета вакантных d -АО с помощью методов ППДП/2 и ЧПДП.. Показано, что для гомоатомных молекул одноцентровые части в выражении для энергии не зависят от геометрич. строения молекул (межатомных расстояний и углов) и предполагается, что это приближенно выполняется и для гетероатомных систем, так

16. декр.
расчет

X. 1971.21



+15



что для суждений о геометрии достаточно варьировать только двухцентровую часть энергии. В кач-ве АО выбраны безузловые ФСТ со специально подобранными экспонентами. Излагаются способы вычисления интегралов и матричных элементов и показано, что метод позволяет вычислить орбитальные энергии F_2 в хорошем согласии с расчетом полным методом Рутана. Для двухатомных молекул приведены равновесные расстояния, вычисленные из полных энергий и двухцентровых частей. Оба значения сравнительно близки, но их согласие с опытом ухудшается от F к J , как предполагается, вследствие приближенного характера используемого параметра β . Для многоатомных молекул удается предсказать значения углов при данной конфигурации, тогда как выбор конфигурации на основании ее сопоставления с другими геометрич. расположениями менее надежен. Предсказанные углы для молекул XY_3 (T -образных) согласуются с опытом. Для XY_5 и XY_7 расчет предсказывает более стабильные структуры в виде бипирамид (три- и пентагональной), в противоречии с опытом, но углы для опытных структур передаются хорошо. Для найденных равновесных геометрий вычислены дипольные моменты, константы ядерного квадрупольного взаимодействия, силовые постоянные и энергии одноэлектронных переходов, а также приведены орбитальные энергии. Метод ЧПДП, в общем, приводит к лучшему численному согласию с опытом.

М. Дяткина

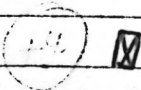
F₂

XI 2743

1944

(y)

6 Б118. Влияние горячих полос на порог ионизации некоторых двухатомных молекул галогенов. Dibeler V. H., Walker J. A., McCullough K. E., Rosenstock H. M. Effect of hot bands on the ionization threshold of some diatomic halogen molecules. «3rd Int. Conf. Vacuum Ultraviolet Radiat. Phys., Токио, 1971. Conf. dig.» Tokyo, 1971; 1pAl—4/l—1pAl—4/4 (англ.)



ЭМК, 1942, №6

Методом фотонионизац. масс-спектрометрии зарегистрированы начальные участки кривых эффективности фотонионизации (КЭФ) 6 двухатомных молекул галогенов. Все КЭФ обнаруживают пики, связанные с процессами автоионизации как в области порога, так и при более высоких энергиях фотонов, что не позволяет определять высшие потенциалы ионизации (ПИ). КЭФ имеют в области порога «хвосты», обусловленные Больцмановским заселением 1- и 2-го колебательного уровней возбуждения молекул. Эти «хвосты» затрудняют определение первых ПИ молекул. Для их исключения понижали т-ру ионизац. камеры, что позволило получить точные значения адиабатич. ПИ молекул (эв): F_2 $15,69 \pm 0,01$; Cl_2 $11,48 \pm 0,01$; Br_2 $10,52 \pm 0,01$; I_2 $9,37$; ~~ICl~~ $10,07 \pm 0,01$; IBr $9,79 \pm 0,01$. Полученные данные сравниваются с известными из литературы. В. Е. Скурат

XI-2744

1941

F₂

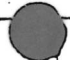
(1)

(7903z) Effect of hot bands on the ionization threshold of some diatomic halogen molecules. Dibeler, Vernon H.; Walker, James A.; McCulloh, K. E.; Rosenstock, Henry M. (Inst. Mater. Res., Natl. Bur. Stand., Washington, D.C.). *Int. J. Mass Spectrom. Ion Phys.* 1971, 7(3), 209-19 (Eng). Photoion-yield curves are obtained for the mol. ions of the homonuclear diat. halogens and for ICl and IBr. Except for I₂, ionization thresholds of ground-state and vibrationally excited mols. are sep. identified by measurements made at several ion-source temps. The adiabatic ionization energies (in eV) are: $I(F_2) = 15.69$, $I(Cl_2) = 11.48$, $I(Br_2) = 10.52$, $I(ICl) = 10.07$, and $I(IBr) = 9.79$. A preferred value of $I(I_2) = 9.37$ eV is proposed.

(7) 32, 22, 12

P.A. 1942.

46.2



100.00

XI-2744

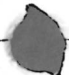
1971

F₂

7 Б146. Влияние горячих полос на порог ионизации двухатомных молекул некоторых галогенов. Dibeler Vernon H., Walker James A., McCullough K. E., Rosenstock Henry M. Effect hot bands on the ionization threshold of some diatomic halogen molecules. «Int. J. Mass Spectrom. and Ion Phys.», 1971, 7, № 3, 209—219 (англ.)

(У) В области 850—1400 Å измерены квантовые выходы фотоионизации молекул F₂, Cl₂, Br₂, JCl, J₂ и JBг при различных т-рах источника ионов. Идентифицированы ионизац. пороги, соотв-щие основному и возбужденным колебательным состояниям. Определены адабатич. потенциалы ионизации: 15,69 (F₂), 11,48 (Cl₂), 10,52 (Br₂), 10,07 (JCl) и 9,79 эв (JBг). Для J₂ предложена оценка 9,37 эв.

М. Р. Алиев



+5

☒

X·1972·3

Fg

X1 905

1971

103199 D Electron affinities of the halogen molecules by dissociative electron attachment. DeCorpo, James J.; Franklin, Joe L. (Dep. Chem., Rice Univ., Houston, Tex.). *J. Chem. Phys.* 1971, 54(5), 1885-8 (Eng). The electron affinities of the halogen mols. have been detd. mass spectrometrically. This was accomplished by measuring both the appearance potentials and av. translational energy of the neg. halogen mol. ion resulting from dissociative electron attachment reactions. The values reported in this work agree favorably with those found in the recent literature. Also reported are the heats of formation of several free radicals used as auxiliary data. RCJQ

Je

(+4) I

(+3) II

X

C.A. 1971

44.12

ХI - 1493

1974

F
2

9 Д82. Электронная структура молекулы фтора.
 Fajans K., Johnson O. The electronic structure of
 the fluorine molecule. «Chem. Phys. Lett.», 1971, 9, № 2,
 95—98 (англ.)

Проведено исследование эксперим. данных для молекул галогенов и интергалидов. На основании сравнения межъядерных расстояний, силовых констант в основном состоянии и их изменений при возбуждении молекул показана аномальность этих характеристик для молекулы фтора. Это указывает, что электронная структура F_2 отлична от структур $X^+e_2X^+$ и $X^+e_2Y^+$, которые являются подходящими для молекул других галогенов и интергалидов. Приводится вероятная электронная структура молекулы фтора $2^21^2(F^9+)^{\bar{e}10}(F^9+)1^22^2$.

В. Я. Артюхов

Электр.
стр-ра

05.1971.92

F₂

X⁻ - 1493

1971

42654v Electronic structure of the fluorine molecule. Fajans, K.; Johnson, O. (Dep. Chem., Univ. Michigan, Ann Arbor, Mich.). *Chem. Phys. Lett.* 1971, 9(2), 95-8 (Eng). The electronic structure of F₂ is different from that of Cl₂, Br₂, and I₂, as suggested by the quanticule theory (F., 1963-5). The internuclear distance, the vibrational force const., and their changes on excitation for F₂ do not agree with the values expected for X⁺e₂X⁺, and for X⁺e₂Y⁺ which fit BrCl, ICl, and IBr.

M. N.

M. CIP-PA

C.A. 1971

45

6

XI-1493

1971

F₂

JJ 18 Б12. Электронное строение молекулы фтора.
 Fajans K., Johnson O. The electronic structure of the
 fluorine molecule. «Chem. Phys. Lett.», 1971, 9, № 2, 95—
 98 (англ.)

Обсуждены аномалии в св-вах F₂ по сравнению с другими Hal₂: энергии связи, относит. возрастание силовой постоянной и $1/r_e$ (по сравнению с J₂) и на этом основании высказано предположение о том, что тип связи в F₂ отличен от связи в других Hal₂. Если Cl₂, Br₂ и J₂ могут быть описаны ф-лой $X^+e_2^-X^+$, то для F₂ предлагается ф-ла $2^21^2(F^{9+})e_{10}^-(F^{9+})1^12^2$, где 1² и 2² означают электроны, принадлежащие только одному ядру, а e_{10} — десять обобществленных электронов. С этой же точки зрения рассматриваются молекулы интергалогенов.

М. Дяткина

Эд.
Строение

X. 1971. 18

O₂, S₂, Se₂, Te₂, S₆, S₈, F_2 , HCN, HF(I) 1971
" " 12

Guyon P.M., Beekowitz Y., 1971, 13, 1,

J. Chem. Phys., 1971, 54, N°4, 1814-26
XI 937 (answ.)

Interpretation of photoionization threshold behavior.

14ay rab

19

⑤

en 102144, N16, 81386h

XI 2648

1971

F
d.

24 Б132. Фотоэлектронные спектры галогенов и смешанных галогенидов JCl и JBr . Potts A. W., Price W. C. Photoelectron spectra of the halogens and mixed halides JCl and JBr . «Trans. Faraday Soc.», 1971, 67, № 5, 1242—1252 (англ.)

В области энергий 9—21 эв получены фотоэлектронные спектры высокого разрешения F_2 , Cl_2 , Br_2 , J_2 , JCl и JBr . Измерены вертикальные и адиабатич. ионизац. потенциалы, а также проведено отнесение колебательной структуры по всем ионизац. состояниям, образующимся при удалении электрона с каждой молек. орбитали. Полученные результаты сопоставлены с данными эмиссионной спектроскопии молек. ионов и молек. спектрами в вакуумной УФ-области, а также обсуждены на основе данных об электронном строении исследованных молекул.

О. Г. Гаркуша

+5K

+5



X 1971. 24

F₂

XI 2648

1971

gonion.

check

(12726c) Photoelectron spectra of the halogens and mixed halides iodine chloride and iodine bromide. Potts, A. W.; Price W. C. (Dep. Phys., Kings Coll., London, Engl.). *Trans. Faraday Soc.* 1971, 67(Pt. 5), 1242-52 (Eng). High-resoln. photoelectron spectra of F₂, Cl₂, Br₂, I₂, ICl, and IBr are reported and interpreted in terms of the electronic structures of these mols. Vertical and adiabatic ionization potentials as well as vibrational data are given for the ionized states arising from the removal of an electron from each MO. Where possible, these values are related to the emission spectra of the mol. ion and to the vacuum uv spectra of the neutral species.

(y)

+5

X

C.I. 1971.752

$O\bar{F}_2$, $O\bar{F}(O_i)$, O_2 , $\underline{F_2}(O_1)$ XI 3031 1972
Andrews L.,

J. Chem. Phys., 1972, 57, N1, 51-55
(cont.)

Argon matrix Raman spectra
of oxygen difluoride and the
oxygen fluoride free radical.

see notes
PQP 6.6 ax

BTCXIII, 1972, 235217 10

X1-3039

1972

F₂

Cl₂

(w_e)

40900q Laser Raman spectra of liquid fluorine and chlorine.
Barral, Jean C.; Hartmanshenn, Olivier (C.E.N.-Saclay
Commis. Energ. At., Gif-sur-Yvette, Fr.). *C. R. Acad. Sci.,*
Ser. B 1972, 274(16), 981-4 (Fr). In the laser-excited Raman
spectrum of liq. F at -180° under pressures of 2-3 atm., the
fundamental vibrational frequency (891.5 cm⁻¹) was similar to
that of the gas (891.8 cm⁻¹). The shape of the liq. vibrational
band was slightly asym. The half-width was 0.8 cm⁻¹. The
degree of depolarization was very small (0.05) and was similar to
that in the gas (0.058). The Raman frequencies of liq. Cl at
-34.6°, 1 atm, were 7-8 cm⁻¹ lower than corresponding fre-
quencies in the gas phase. The degrees of depolarization of
vibrations in liq. Cl₂ were very small.

C.A. 1972 77-6

Li_2 , LiH , F_2 , HF (E_i , pacr ∞) 11-87261 1972

Bendazzoli G. L., Bernardi F,
Cerchia A., Palmieri P. A.,

Theor. chim. acta, 1972, 24, N. 63-

M.O. calculations for some
first row diatomic molecules.

RHC 21/11/1973, 3521



F₂

X1 3217

1972

169515x Shock tube calorimeter for the dissociation energy of fluorine. Blauer, Jay; Solomon, Wayne (Air Force Rocket Propul. Lab., Edwards, Calif.). *J. Chem. Phys.* 1972, 57(9), 3587-9 (Eng). The shock tube was used as a calorimeter to det. the dissocn. energy D_0° of F₂. Mixts. of F₂, HF, and Ar were shock heated to 1400-3200°K and allowed to approach dissociative equil. The equil. temp. was detd. by monitoring the HF equil. radiant intensity at 2.5 μ . The resultant value of D_0° of 37.1 \pm 1.2 kcal/mole was compared with the recent results.

C.A. 1972, 77, N 26

1972

F₂

№ 32/5-

6 Б743. Ударная труба как калориметр для определения энергии диссоциации фтора. Blauer J. a., Sotomayor Waupé. Shock tube calorimeter for the dissociation energy of fluorine. «J. Chem. Phys.», 1972, 57, № 9, 3587—3589 (англ.)

В области т-р 1400—3200° К в ударной трубе определена энергия диссоциации F₂. Равновесные условия за фронтом ударной волны рассчитаны из первоначальных условий и измерений скорости ударной волны. Равновесные т-ры для смесей F₂+Ar определены по интенсивности излучения примеси HF при 2,5 мк. Найдено выражение т-рной зависимости этого излучения (R) в виде: $\lg R = (12,82 \pm 0,03) + (3,91 \pm 0,2) \lg T$. Вычислена стандартная теплота образования атомов фтора и энергия диссоциации при 0° К, равные, соотв., $19,3 \pm 0,6$ и $37,1 \pm 1,2$ ккал/моль. Отмечена возможность расширения т-рной области эксперимента. В. К. Камышова

(F₂)(ΔH_f)

X. 1973. N6.

+1

☒

1972

 F_2 Cl_2 Сече-
ни-
иониз.

! 4 Д268. Сечения ионизации F_2 и Cl_2 электронным ударом. Center R. E., Mandl A. Ionization cross sections of F_2 and Cl_2 by electron impact. «J. Chem. Phys.», 1972, 57, № 10, 4104—4106 (англ.)

С помощью квадрупольного масс-спектрометра измерены сечения ионизации F_2 и Cl_2 электронным ударом. Регистрировались отношения ионных токов для смесей Cl_2 —Аг и F_2 —Аг при энергиях электронов 15—100 эв. Максим. сечения σ_{\max} достигаются при 100 эв и составляют $1,5 \cdot 10^{-16}$ и $7,0 \cdot 10^{-16}$ cm^2 для F_2 и Cl_2 соответственно. Величина σ_{\max} для Cl_2 согласуется с эмпирической линейной зависимостью между σ_{\max} и корнем квадратным из поляризуемости, справедливой для атомов и молекул многих в-в (за исключением щелочных металлов). Оценка поляризуемости для F_2 дает $8 \cdot 10^{-25} cm^3$.

B. Ю. Орлов

(+)

φ. 1973. N 4

F₂

XI. 2967

1972

119198e Theoretical study of the fluorine molecule using the method of optimized valence configurations. Das, G.; Wahl, Arnold C. (Chem. Div., Argonne Natl. Lab., Argonne, Ill.). *J. Chem. Phys.* 1972, 56(7), 3532-40 (Eng). The method of optimized valence configurations (OVC) was used to study the potential curve for the ground state of the F₂ mol. All the important electron correlation-effects within and between various mol. shells are investigated via the multiconfiguration SCF

M. N.

U.S. Mex.
pcceret

C.A. 1972 P6 20

(MCSCF) process. Consistent with the philosophy of the OVC method, these effects fall into 2 distinct categories: (1) the mol. correlation, which vanishes when the mol. dissociates into the constituent atoms, and (2) the at. correlation, which passes asymptotically to that for the atoms. The very weak interdependence or "coupling" of the 2 correlation types results in considerable computational simplification by permitting MCSCF calculations to be performed on groups, consisting of a comparatively small no. of configurations, and the evaluation of their resp. contributions to the bonding interaction by a simple summation in the spirit of pair theory. Such calculations on F₂ yield a potential curve which is very similar to the one derived from expt. Calcd. values of the spectroscopic consts. D_e , ω_e , R_e are, resp., 1.67 eV, 942 cm⁻¹, 2.67 bohr. These are in good agreement with the corresponding exptl. values 1.68 eV, 932 cm⁻¹, 2.68 bohr. General rules are given for applying this procedure to other mol. systems.

XI-2267

1972

19 Б22. Теоретическое исследование молекулы F_2 методом оптимизированных валентных конфигураций.
Das G., Wahl Arnold C. Theoretical study of the F_2 molecule using the method of optimized valence configurations. «J. Chem. Phys.», 1972, 56, № 7, 3532—3540 (англ.)

Отмечено, что существующие до сих пор кванто-во-хим. расчеты молекулы F_2 приводят к неудовлетворительным результатам для энергии связи и потенциальной кривой. Так метод ССП МО при точности, близкой к хартри-фоковской, вообще приводит к отсутствию связи в молекуле F_2 по отношению к диссоциации на атомы. Наилучшие расчеты по методу конфигурац. взаимодействия дают энергию связи в 2 раза меньше экспериментальной. Эти результаты подчерки-

расчет
и.и.

X.1972.19

вают 2 основных недостатка хартри-фоковского приближения: неправильное описание образования молекулы и диссоциации и неучет увеличения энергии корреляции при образовании новой электронной пары. В связи с этим предприняты расчеты молекулы F_2 методом оптимизированных валентных конфигураций (ОВК, см. РЖХим, 1966, 16Б11), основанным на формализме многоконфигурац. ССП. Метод ОВК предусматривает отбор наиболее важных конфигураций для описания образования молекулы: 1) необходимых для правильного описания процесса диссоциации, 2) существующих в молекуле, но формально исчезающих в пределе разделенных атомов, 3) описывающих внутриатомные корреляции, если их вклад изменяется при образовании молекулы на некоторую заданную пороговую величину. Конфигурации первых двух типов могут быть отобраны чисто формально и получают потенциальную кривую с точностью до $\pm 0,3$ эв. Конфигурации 3-го типа могут быть отобраны только в процессе расчета и требуются для достижения большей точности (0,06 эв.). Использован базис АО слайтеровского типа вплоть до $4f$ со значениями магнитного квантового числа $|m|=0,1$, дающий энергию ССП молекулы при равновесном расстоянии в пределах 0,001 ат. ед. и двух разделенных атомов в пределах 0,0004 ат. ед. от соответствующих точных хартри-фоковских значений. Подробно проанализирована роль различных корреляц. эффектов. Рассчитанная потенциальная кривая очень близка к экспериментальной и дает следующие значения спектроскопич. констант: $D_e = -1,67$ эв (1,69), $\omega_e = 942 \text{ см}^{-1}$ (932), $R_e = 2,67$ ат. ед. (2,68), в скобках — опытные значения. Сформулированы общие правила применения метода ОВК к др. молек. системам.

А. Багатурьянц

HF_2 ($\mu\text{-n.}, \text{Do}$) K13074 1972

XI - 2969

Donardo G.D., Douglas J.E.

J. Chem Phys., 1972, 56, No,
5185-5186 (au.)

Electronic spectra of HF_2 and F_2 .

Bre Xuv, 1972, 215157 10



F_2

XI 3260

1972

156649u Shape of the dissociative ionization curve and energy of dissociation of the fluorine molecule. Dronin, A. A.; Gorokhov, L. N. (Inst. Vys. Temp., Moscow, USSR). *Teplofiz. Vys. Temp.* 1972, 10(4), 750-3 (Russ). The ionization curve for the reaction $F_2 + h\nu \rightarrow F + F^+ + e$ was calcd. At energies 0.20 eV higher than the threshold, the curve exhibits a linear section. At 80°K, F_2 exhibits a rotary excitation. The linear sections justified extrapolation in the détn. of the dissocn. energy of F_2 . When fragment ions dominate the mass spectra, linear extrapolation is not justified.

(δ_0)

C.A. 1972. 77, N24.

F₂

X I 3260

1972

2 Б101. Форма кривой диссоциативной ионизации и
энергия диссоциации молекулы F₂. Дронин А. А., Го-
рохов Л. Н. «Теплофиз. высоких температур», 1972,
10, № 4, 750—753

Проведен расчет кривой ионизации для процесса
 $F_2 + h\nu \rightarrow F + F^+ + e^-$. Показано, что кривая имеет линей-
ный участок на протяжении 0,2 эв избытка энергии над
пороговым значением. Таким образом, при линейной
экстраполяции должно получаться правильное значение
потенциала появления. В случае преобладания в масс-
спектре осколочных ионов метод линейной экстраполя-
ции неприменим.

Резюме

X. 1973. № 2.

ommited 3420

1972

E₂

XI-3772

T₂

151191v Pure rotation and vibration-rotation Raman spectra of fluorine and tritium. Edwards, H. G. M.; Long, D. A.; Love, R. (Sch. Chem., Univ. Bradford, Bradford, Engl.). *Advan. Raman Spectrosc.* 1972, 1, 504-14 (Eng). The pure rotational Raman spectra gave the consts. $B_0 = 20.041_0$, $D_0 = 0.0051_0$, $\nu_0 = 2464.08_3$, $B_1 = 19.463_2$, and $D_1 = 0.0050_0 \text{ cm}^{-1}$ for F_2 , and $B_0 = 0.8845_0$, $D_0 = 5.3_1 \times 10^6$, $\nu_0 = 892.02 \text{ cm}^{-1}$, and $r_0 = 1.4164_7 \text{ \AA}$ for F_2 .

M.N.

исслед. спектр.

исслед. спектр.

спектр

(+)

(X)

C. of. 1973, N 26, 79

1982

F₂

19 Б28. Расчеты молекул по методу Томаса—Ферми—Дирака. II. Одноэлектронные энергии для F₂. Goodisman Jеггу. Thomas—Fermi—Dirac calculations for molecules. II. One-electron energies for F₂. «Theor. chim. acta», 1972, 25, № 3, 205—214 (англ.; рез. нем.)

(однозеленый)

Вычислены энергии одноэлектронных уровней в молекуле F₂ при межъядерном расстоянии 2,68 ат. ед. по методу Томаса—Ферми—Дирака. Электростатич. потенциал, полученный в рамках метода Томаса—Ферми—Дирака, модифицирован с учетом обменного потенциала типа $\sim \rho^{1/3}$ так, чтобы получить правильную (кулоновскую) асимптотику на больших расстояниях от ядер. Для сравнения аналогичные расчеты выполнены для объединенного атома (Ag) и для разъединенных атомов (F). Орбитальные энергии качественно согласуются с расчета-

Х. 1982. 19

ми методом самосогласованного поля. После введения поправки (из сравнения одноэлектронных уровней атома F в приближении самосогласованного поля и в статистич. модели) одноэлектронные уровни F₂ в обоих методах совпадают с точностью порядка 1 эв. Т. К. Ребане

F₂

(J; D₀)

107317a Vacuum ultraviolet spectrum of molecular fluorine.
Gole, James L.; Margrave, John L. (Dep. Chem., Rice Univ., Houston, Tex.). *J. Mol. Spectrosc.* 1972, 43(1), 65-86 (Eng). The absorption spectrum of F₂ was obsd. in the vacuum uv region at <1500 Å at a dispersion of 3.75 Å/mm. Spectra were obsd. at pressures from 80 to 600 μ and at temps. both somewhat <20° and at approx. 100°. Previously obsd. spectra in the vacuum uv region have been reinterpreted and extended. The spectroscopic detn. of the F₂ dissociation energy is discussed. A previously identified progression of bands at 877 Å is used to fix a min. value for the dissociation energy of 33.05 kcal/mole for F₂. The implication of this result to other recent studies is discussed. Rydberg series converging to the first ionization potential of F₂ were established and further Rydberg series are discussed. The current data are compared with previous studies in the uv region and data from photo electron spectroscopy to reinterpret data on F₂⁺. Insight is provided on the binding energies of the "π" mol. orbitals. Some evidence suggests that the "π" mol. orbitals may be more important than previously anticipated.

1972

7-3231
X

C.A. 1972. 77. n 16.

X 3231

1972

F₂

6 Б136. Вакуумный ультрафиолетовый спектр молекулярного фтора. Gole James L., Marggraff John L. The vacuum ultraviolet spectrum of molecular fluorine. «J. Mol. Spectrosc.», 1972, 43, № 1, 65—86 (англ.)

Исследован вакуумный УФ-спектр поглощения молекулы F₂ ниже 1500 Å с дисперсией 3,75 Å/мм при давл. 80—~~600~~ мк.и т-рах 20° и 100°. Пересмотрены также лит. данные по спектрам F₂ в УФ- и видимой областях. Нижняя граница энергии диссоциации оценена в 33,05 ккал/моль. Идентифицирована ридбергова серия, сходящаяся к пределу ионизации; структура этой серии сопоставлена с данными по фотоэлектронному спектру. Для изменения частоты колебания при переходе от основного состояния к состояниям $^2\Pi_g$ и $^2\Pi_u$ получены значения 150 и -387 см^{-1} , соотв. Отмечено, что основной выход в образовании хим. связи в F₂ играют π_u -орбитали.

М. Р. Алиев

(и.и)

X. 1973. N6

Zi₂; F₂ (Kb: Mex-paerem) X 7703 1972

Hernandez S., Zudena E.U.,

J. Chem. Phys., 1972, 57, N₁₂, 5350-3
(cont.)

Zooge localization analysis of
diatomic molecules. Diatomic
lithium and molecular fluorine.

10.

(P)

(D)

(cau-operusiauf CA, 1973, 78, N₈, 481902)

F₂

Jonston Harold
Birks John.

1972

do

"Accounts Chem. Res"

perman.

1972, 5 NIO, 327-35

(c.c.r. H₂; III).

Li_2 , Be_2 , B_2 , C_2 , N_2 , F_2 (pacrō)
 IX 4062 $\text{Ni}.$ Ssen W. van.,
Theor. chim. acta, 1972,
27, N1, 9-23

10

Li H, Li₂; BH, AlH, HF, BF, CO, N₂, 1972
F₂; ClF; H₂O, NH₃, CH₄; CH₃F;
H₂O (st. h.) X 7811

Ozop

Dipp's comb. W.N., MTP (Med. Tech. Rebr.
Co.) Int. Rev. Sci.: Phys. Chem., Ser.
One, 1972, 1, 164-96

50

XI-3086

1972

F₂

Cl₂

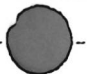
Br₂

I₂

(O₂
N₂)

- T 19139m Physical and spectroscopic properties of the halogens. Turner, James Johnson (Univ. Chem. Lab., Cambridge, Engl.). MTP (Med. Tech. Publ. Co.) Int. Rev. Sci.: Inorg. Chem., Ser. One 1972, 3, 253-91 (Eng). Edited by Gutmann, Viktor. Butterworths: London, Engl. A review with 160 refs. includes discussion of: bond dissocn. energies; spectroscopic consts. and potential energy curves; resonance fluorescence; resonance Raman effect; spectral properties of halogen atoms; photochem. studies; complexes; ESR, NMR, and Moessbauer spectra; and solid halogens (structures, thermo-chem. data, nuclear quadrupole resonance).

(cav. open.)!



+3 18

C.A.

1972 · 16 · 20

1972

F₂

и. в.

Отчет по научно-исслед. работе
ИГДАН СССР, 1972 г.

Определение хим. и физ. и
прикладных свойств волок-

F₂

Peslak John, Jr.

1972

"Diss. Abstr. Int. B",

1972, 32, (11), 6333.

Ab initio molecular orbital
study of hydrogen . . .



(see H; III)

40305.8906
TE, Ch, Ph

F₂

147.2
3
1851

K p.N 40305.8904K

Wahl A.C.

The calculation of energy quantities for
diatomic molecules.

"Theor. Chem." London e.a., 1972,

41-70

(англ.)

0058 ММК

031

038 042

ВИНИТИ

F₂

1973

(c.n.)

Anderson, Alfred B.

J. Schen. Day 30

1973, 50(3), 303-30

● (cu. lith; III)

1973

F₂

(A⁻)

115348x Fragmentation of negative ions formed in collisions of alkali atoms and halogen molecules. Baede, A. P. M.; Auerbach, D. J.; Los, J. (FOM-Inst. Atoom-Moleculphys., Amsterdam, Neth.). *Physica (Utrecht)* 1973, 64(1), 134-48 (Eng). Total cross sections were measured for the production of neg. halogen ions in collisions between alkali atoms and homonuclear halogen mols. at relative energies from threshold up to about 20 eV. By means of a mass spectrometer the cross sections for neg. parent-ion and fragment-ion production could be measured sep. These measurements confirm the previously measured adiabatic electron affinities of the homonuclear halogen mols. The fragment- and parent-ion cross sections are about equally large. The general behavior of the fragment-ion cross sections is characteristically dependent on the alkali collision partner: the K cross sections peak sharply at energies just above threshold; the Na cross sections, however, have a smooth max. at higher energies. This could be explained qual. by a simple model.

C. 07. 1973. 78 n/18 ⑧ +3 Cl₂, Br₂, I₂;

F₂ (газ, жг, крист.)

1973

18 Б211. Исследование спектроскопическими методами фтора в конденсированном и адсорбированном состоянии. Battagl Jean-Claude. Etude par les méthodes spectroscopiques du fluor à l'état condensé et adsorbé. Thèse doct. ing. Univ. Claude Bernard Lyon, 1973. 121 p., ill. (франц.).

*Коллдат.
Спектраф*

Исследованы особенности колебательных спектров и вращательных спектров фтора в газ., жидк., крист. (α - и β -фазы) и адсорбированном состояниях. Оценены времена периориентации молекул в жидк. состоянии, уточнена структура различных кристаллич. фаз, состояние адсорбированных молекул и характер их упаковки на поверхности.

А. Бобров

X. 1976 N 18

Li; F₂; LiF; F (s II, II, e)
paciëm 87691 1973

Balint - Riveti G.G.,
Mol. Phys., 1973, 25, N₂, 393-435
(atm.)

Potential energy surfaces
for simple chemical reac-
tions: LiF + F₂ → LiF + F.



Proc. Amer. 1973, 15582

10

F_2

XI 3662

1973

Энергия
диссоциации

6 Б101. Энергия диссоциации фтора. Berkowitz J.,
Wahl Arnold C. The dissociation energy of fluorine.
«Adv. Fluorine Chem. Vol. 7». London, 1973, 147—174
(англ.)

Обзор. Библ. 75

X.1974N6

30720.8766
TE, Ch, Ph, Me,
MGU

F_2

40892

отдел
N 785

Breshears W. Dale, Bird Paul F.

Density gradient measurements of F_2
dissociation rates in shock waves.

"J. Chem. Phys.", 1973, 58, N 11, 5176-5177

б/нр.)

0920 ПИК

907 90/09 13

ВИНИТИ

1973

F₂

X - 8382

7303m Electrostatic calculation of bond energy. Boeyens, J. C. A. (Natl. Inst. Metall., Rand Afrikaans Univ., Johannesburg, S. Afr.). *J. S. Afr. Chem. Inst.* 1973, 26(3), 94-105 (Eng). The described method, for caleg. the energies of covalent bonds by using bond lengths (d) and at. radii (r) as parameters, is based on the overlapping of spherical charge clouds as the model for covalent bonding, in which the amt. of overlap is detd. by the obsd. d value. The appropriate r values are tabulated, and are shown to be inversely proportional to the 1st ionization potentials for atoms having similar electronic configurations. For bonds with predominantly covalent character, satisfactory agreement with published exptl. values was obtained with the calcd. bond dissoen. energies (D) for many homonuclear (e.g., F₂, Cs₂, H₂, Si₂) and heteronuclear (e.g., AgH, BN, PO, ICl) dia. mols., and with the calcd. D values and bond energies of many common polyat. mols. (e.g., CH₄, H₂S; Cr(CO)₆, MeI). For all bonds with significant partial ionic character, agreement between calcd. and expt. was unsatisfactory.

*Do
paperem*

C.A. 1974. 80. n2



X-8382

C_{S_2} (F₂) H₂, Te, H₂S, PO, Si₂, CH₃T, BN,
AgH, Cr(CO)₆ (D.)

Boeyens J.C.A.

J. S. Africa Chem. Inst.,

1973, 26, N3, 94-105

10, II

CA, 1974, 80, N2, 7303m

F₂

отмечено 45-3272 1973

(3).

XI-3761

5 Д141. Улучшенный расчет потенциалов ионизации молекул с замкнутыми оболочками. Cederbaum L. S., Hohneicher G., Niessen W. v. Improved calculations of ionization potentials of closed-shell molecules. «Mol. Phys.», 1973, 26, № 6, 1405—1424 (англ.)

Развитый авторами метод нахождения полюсов одночастичной ф-ции Грина применен для расчета вертикальных потенциалов ионизации молекул F₂, H₂O, C₂H₂ и H₂CO. В качестве начального приближения используются одночастичные хартри-фоковские энергии, далее находятся поправки разложением собственно энергетич. части в ряд теории возмущений. Показано, что для малых молекул разложение собственно энергетич. части до второго

Ф. 1974 в 5

(+3)

порядка недостаточно, поэтому в расчете используются члены до четвертого порядка. При этом появляются новые полюса ф-ции Грина, соответствующие многократно ионизованным состояниям. Найденные вертикальные потенциалы ионизации для F_2 согласуются с эксперим. данными, тогда как по теореме Купманса получаются неверные значения.

А. И. Дементьев

10 Б16. Улучшенный расчет потенциалов ионизации молекул с закрытыми оболочками. Cederbaum L. S., Hohlnieicher G., Niessen W. v. Improved calculations of ionization potentials of closed-shell molecules. «Mol. Phys.», 1973, 26, № 6, 1405—1424 (англ.)

Развитый авторами ранее (см. Chem. Phys. Lett. 1973, 18, 503) метод функций Грина для вычисления потенциалов ионизации применен для расчета молекул F_2 , H_2O , C_2H_2 и H_2CO . В кач-ве начального приближения используются значения одноэлектронных энергий в приближении Хартри-Фока. Поправка получается по теории возмущений из разложения собственно-энергетич. части. Показано, что для малых молекул разложение собственно-энергетич. части до второго порядка недостаточно. Поэтому используются члены более высокого порядка (до четвертого). При этом появляются новые полюса функций Грина, соотв-щие многократно ионизированным состояниям. Эти потенциалы ионизации (элементарные возбуждения) определяются итерацией ур-ния Дайсона. Дальнейшее улучшение соглашения с экспериментом предлагается достичь расширением хартри-фоковского базиса включением дополнительных порядков теории возмущений и учетом неадиабатичнос-ти.

В. Р. Блок

40227.7523

Fh, Ch, TE

XI 3763

40892

1973

1832

Child M.S., Bornstein R.B. Diatomic
interhalogenes: systematics and implica-
tions of spectroscopic interatomic poten-
tials and curve crossings. "J. Chem. Phys.",
1973, NII, 5916-5925

1973, 59,

(англ.)

(ав. Brz; III)

- - - 58

039 040 3 046 0034 ПМК ВИНИТИ

Y_2 ; Br_2 ; Cl_2 ; F_2 ; YCl ; YBr ; BrCl ; ClF ; BrF ; YF (I, A) 1973
 $\bar{x} 3468$

(Ozop)
COCON Y. A.,

Mol. Spectrosc., 1973, 1, 177-228
(cont.)

Low-lying electronic states
of diatomic halogen mole-
cules.

10

10

\$

CA, 1973, 79, N22, 130784a

XI 3681 XI 3777

1973

NF

F₂

расчет

м.н.

4 Б25. Кривые потенциальной энергии и спектроскопические постоянные ряда двухатомных систем. Э1-1
lis D. J., Banyard K. E., Tait A. D., Dixon M.
Potential energy curves and spectroscopic constants for some diatomic systems. «J. Phys. B: Atom. and Mol. Phys.», 1973, 6, № 9, 1233—1236 (англ.)

Методом конфигурац. взаимодействия в миним. слейтеровском базисе рассчитаны энергии и волновые функции основного и ряда возбужденных состояний систем NF, NF⁻, F₂²⁺, F₂⁺, F₂ и F₂⁻. Для трех последних молекул учтены все конфигурации, для остальных — конфигурации, включающие возбуждения только валентных электронов. Межъядерное расстояние R менялось в интервале от 1,5 до 3,9 ат. ед., причем для всех молекул взято по 13 точек, кроме F_2^- , где расчет проведен в 10 точках. Методом Данхема по получен-

X1974N4

☒ +5

(+) Виноград

ным потенциальным кривым основных состояний вычислены спектроскопич. постоянные R_e , ω_e , $\omega_e x_e$, B_e и α_e . Основное состояние F_2^{2+} типа симметрии ${}^3\Sigma_g^-$ получено несвязанным, хотя в области $2,7 < R < 3,1$ ат. ед. потенциальная кривая имеет почти горизонтальный участок. Для состояний других типов симметрии (Σ и Δ) кривые также получены отталкивательными. Сравнение с опытными данными для F_2 , F_2^+ и NF показывает, что все рассчитанные ω_e завышены, $\omega_e x_e$ согласуются качественно, B_e совпадают с эксперим. данными в пределах 10%, а α_e занижены на 15—25%. Максим. отклонение в R_e составляет $\sim 0,15$ ат. ед. (для NF). Н. Ф. Степанов

F_2

ХБ681

ХI-3774

1973

2 Д140. Кривые потенциальной энергии и спектро-
скопические постоянные некоторых двухатомных моле-
кул.

Ellis D. J., Vapyard K. E., Tait A. D., Dixion M. Potential energy curves and spectroscopic constants for some diatomic systems. «J. Phys. B : Atom. and Mol. Phys.», 1973, 6, № 9, 1233—1236 (англ.)

В рамках метода, основанного на использовании минимального базисного набора АО молекул F_2 , F_2^+ и F_2^- было учтено взаимодействие всех возможных конфигураций, обладающих требуемыми свойствами симметрии и спином. Этим методом вычислены электронные термы основных состояний молекул. Определены некоторые спектроскопич. постоянные. Аналогичные вычисления, учитывающие лишь взаимодействие конфигураций, отвечающих наличию «замороженной сердцевины», образованной четырьмя $1\sigma(1s)$ МО, проделаны для молекул NF , NF^- и F_2^{++} . Результаты расчета сравниваются с эксперим. данными и теоретич. расчетами других авторов.

Ю. П. Денисов

$M: 14$

Σ

45

☒

4/1974

№ 2

F₂

XI-3681

1973

XI-3777

hot energy
K per mole

) 130812h Potential energy curves and spectroscopic constants for some diatomic systems. Ellis, D. J.; Banyard, K. E.; Tait, A. D.; Dixon, M. (Dep. Phys., Univ. Leicester, Leicester, Engl.). *J. Phys. B* 1973, 6(9), L233-L236 (Eng). By using a minimal basis set of at. orbitals, F₂, F₂⁺, and F₂⁻ were examd. by means of complete configuration interaction (CI) calcns. whereas, for NF, NF⁻ and F₂²⁺, a complete valence CI treatment was employed. Potential energy curves were detd. with the object of calcg. spectroscopic consts. and, where possible, such results were compared with previous calcns. and also with expt.

CA1973

79, 22

+5



40123.7233

Ch, Ph, TE

F₂

(u. n.) 49969

1973

16/11

диссей A-2588
Hooydonk G. van.
(авт. H₂; II)

On an ionic approximation to
homonuclear bonding.

"Z. Naturforsch.", 1973, 28a, N 11, 1836-1842

(англ.)

0030 РМК

023

ВИНИТИ

009 010

Зар 6520

XI-3404

1973

F₂.
22 Б13. Неэмпирические расчеты молекулы F₂. Kas-
seckert E. Ab Initio-Rechnungen zum F₂-Molekül.
«Z. Naturforsch.», 1973, 28a, № 5, 704—708 (нем.; рез.
англ.)

Основное и ряд низко лежащих возбужденных состоя-
ний молекулы F₂ рассчитаны неэмпирич. методом кон-
фигурац: взаимодействия (КВ) в базисе волновых
функций метода валентных схем с АО слейтеровского
типа и в базисе волновых функций ССП со сгруппиро-
ванными лепестковыми гауссовскими функциями. Метод
ССП КВ приводит к достаточно хорошему описанию
св-в основного состояния, однако, осталось невыяснен-
ным в какой мере достоверны результаты для возбуж-
денных состояний. Анализ потенциальных кривых
нек-рых высоко лежащих возбужденных состояний при-
вел к заключению, что экспериментально наблюдаемая
система полос в видимой оранжевой части спектра мо-
жет быть отнесена к двум переходам $^1\Sigma_g^- \rightarrow ^1\Pi_u$ и
 $^1\Sigma_u^+ \rightarrow ^1\Pi_g$. По резюме

XI-3404-1333

X. 1973 N 22

F₂

11 Д270. Неэмпирические расчеты молекулы F₂.
Kasseckert E. Ab Initio-Rechnungen zum F₂-Molekül.
«Z. Naturforsch.», 1973, 28a, № 5, 704—708 (нем.; рез.
англ.)

1973

Методом валентных связей и МО с учетом взаимодействия конфигураций рассчитаны термы основного и возбужденных состояний молекулы F₂. В методе ВС использовался мин. набор слэтеровских АО, в методе МО — функции Виттена. Для основного состояния с учетом восьми конфигураций, возникающих из мин. набора, энергия диссоциации оказывается равной 2,1 эв, что больше эксперим. величины 1,6 эв. Наилучшее значение теоретич. энергии диссоциации (1,56 эв) получается при учете 52 конфигураций симметрии ${}^1\Sigma_g^+$, построенных на принятом базисе МО. Расчет возбужденных состояний, в которые ионные конфигурации дают больший вклад, выполнен с меньшей точностью. В частности, термы ${}^1\Sigma_g^-$, ${}^1\Pi_u$ и ${}^1\Sigma_u^+$, ${}^1\Pi_g$, переход между которыми дает систему полос в оранжевой области спектра, расположены на ≈ 30 эв выше основного, что является заведомым завышением. Уточнение расчета возможно только при учете в использовании базисе АО M-оболочки.

Е. Е. Никитин

д.н. 704
XV-34/333

Х. 1973

N11

X5 -1333

F
2

XI-3%0%

1973

new
in publ.

.) 71682r Ab-initio calculations of the fluorine molecule.
Kasseckert, E. (Int. Theor. Phys., Justus-Liebig-Univ., Giessen,
Ger.). *Z. Naturforsch.*, Teil A 1973, 28(5), 704-8 (Ger). For
the ground state and the lower lying excited states of F₂, valence
bond-configuration interaction (CI) calcns. with Slater-type
orbitals and SCF-CI calcns. with contracted Gauss-Lobe func-
tions were carried out. The SCF-CI method yielded a fairly
good description of the ground state. From the potential curves
of some higher excited states, the exptl. obsd. orange band
systems were assigned to the transitions $^1\Sigma_g^- \rightarrow ^1\Pi_u$ and $^1\Sigma_u^+ \rightarrow$
 $^1\Pi_g$.

3-13-1333

C.A. 1973.73N12

40219.7572

F₂

TE, Ph, Ch

40892

1973

1802

Kalman Barry L. Self-consistent extended
Hückel theory. I. "J. Chem. Phys.", 1973, 59,
N9, 5184-5188

(англ.)

0047 ДМК

030 032 (110)

ВИНИТИ

40222.1940

Ph, TE, Ch

1973

F₂ 34469
зксп. chizу

N 1992

Kulkarni K.S., Sarma C.R., Murthy J.S.

Semi-empirical evaluation of single bond
energies of some polyatomic molecules.

"Indian J. Pure and Appl. Phys.", 1973,
11, N 6, 431-432 (англ.)

0050 ник

038 038

0660 н и винити

F₂

Omnimax 1580

1973

Published by George Canna Ltd.

Contemporary methods in colo-rectal,

gastro, hepato, Biliary, and urology.,

1973, G. Canna, 977-2303.

new
copy

F_2

Kushawaha V.S.

1973

akomatsu
nobegawa

"Indian J. Pure and
Appl. Phys"

1973, 11, N^o 1, 63-66.

(see. F; III)

Zig ; B_2 ; C_2 ; N_2 ; F_2 ; O_2 ; BN ; BO ; BF ; CN ; CO ; NO ; LiF ; BeO ; BeF (M.N., E, D₂)
 184402 Náray-Szabó G., paciem
 oenobato
 carceris

Int. J. Quant. Chem., 1973, 7, N3, 569-581
 (contd.)

Decoupled Hartree - Fock methods.
II. Calculation of the potential
curves of diatomic molecules.

Proc. Roy. Soc. 1974, 4524 10 errata
 2936.

Oct. meeting 1970

1973

F₂

(μ. h.)

X-41467
1

76100e Vibrational spectra of solid fluorine. Niemeyzki, T. M.; Getty, R. R.; Leroi, G. E. (Dep. Chem., Michigan State Univ., East Lansing, Mich.). *J. Chem. Phys.* 1973, 59(10), 5600-4 (Eng). Raman and far-ir spectra of cryst. F were obtained in both solid phases. As expected for the disordered higher temp. form, only the Raman-active stretching fundamental was obsd. for $\beta\text{-F}_2$. Near $\sim 20^\circ\text{K}$, $\alpha\text{-F}_2$ exhibits the following spectral features (in cm^{-1}): Raman $\nu(1\text{-0})$ 985; $\nu(2\text{-0})$ 1764; $\nu(\text{libration})$ 44, 55, 77, (93?); ir $\nu(\text{translation})$ 28, 42.5, 80. The predictions of a preliminary calen. of the optically active lattice frequencies for the low temp. phase are in poor agreement with the obsd. lattice frequencies, suggesting that an improved model will be required to help distinguish the correct $\alpha\text{-F}_2$ crystal structure. Solid F more closely resembles O than it does the other halogens. In particular, the intermol. forces are extremely weak, as exemplified by the small shifts of the internal frequencies from their gas phase values, the absence of observable factor group splitting of the fundamental and the overtone, and the relatively low values of the external (lattice) frequencies.

C.A. 1974.80 N14

F₂ (F₈)

1973

130996w Vibrational spectra of solid fluorine. Niemczyk, T. M.; Getty, R. R.; Leroi, G. E. (Dep. Chem., Michigan State Univ., East Lansing, Mich.). *U.S. Nat. Tech. Inform. Serv., AD Rep.* 1973, No. 763686, 22 pp. (Eng). Avail. NTIS. From *Govt. Rep. Announce. (U.S.)* 1973, 73(17), 60. Raman and far -ir spectra of cryst. F₂ were obtained in both solid phases. As expected for the disordered higher temp. form, only the Raman-active stretching fundamental was obsd. for β -F₂. The predictions of a preliminary calcn. of the optically active lattice frequencies for the low-temp. phase are in poor agreement with the obsd. lattice frequencies, suggesting that an improved model will be required to help distinguish the correct α -F₂ crystal structure. Solid F₂ more closely resembles O₂ than it does the other halogens. In particular, the intermol. forces are extremely weak, as exemplified by the small shifts of the internal frequencies from their gas phase values, the absence of observable factor group splitting of the fundamental, and the overtone, and the relatively low values of the external (lattice) frequencies.

U.K. II

Raman

Clustering

CA1973

79,22

3ax. 247

Cl₂; F₂; Br₂; I₂ (u.n., D₀, paciem) 1973
Sannigrahi A.B., Mohammad S.N.,
Int. J. Quant. Chem., 1973, 7, N6, 1183
- 1192 (ann.)

Selected valence electron split-shell molecular orbital calculations on the diatomic interhalogen molecules.

BtePus, 1974, 10D209 11

(P)

IX-4778

1973

BeO, F₂, O₂ (purer mol. wcr.)

Sinawaghi O.,

J. Molekul. Struktur, 1973, 10, n1,
81-91



10

F_2

1973

Sinanoglu Okbay, Faruk H., Endow

"J. Amer. Chem. Soc.", 1973, 95, N^o 17, 5433-5442.

акрил
бису

(an. BH; III)

1973

з №28. Расчет молекул F_2 , Cl_2 , Br_2 , J_2 в приближении ЧПДП с параметрами Деба и Коулсона. Spring Thomas H., Snook Ian K. INDO calculations on F_2 , Cl_2 , Br_2 and J_2 using the Deb-Coulson parameters. «J. Chem. Soc. Faraday Trans.», 1973, Part 2, 69, № 8, 1183—1186 (англ.)

Проведен расчет молекул галогенов методом ССП МО ЛКАО в приближении ЧПДП с использованием параметров Деба и Коулсона (см. РЖХим, 1971, 21Б30).

Найдено, что изменение полной энергии, орбитальных энергий, энергий переходов и межъядерных расстояний в ряду молекул галогенов находится в хорошем соответствии с эксперим. данными. Показано, что значения матричных элементов гамильтонiana, определяемые параметрами Деба и Коулсона, лучше согласуются со значениями соотв-щих величин, полученных из неэмпирич. расчетов, чем параметры, определенные на основе схемы Попла. Высказано мнение, что полученные ранее в рамках исследуемой схемы неудовлетворительные результаты при расчете молекул галогенов были вызваны ошибками расчета параметров гамильтонiana, что подтверждено сравнением рассчитанных значений одноцентровых интегралов с данными цитированной работы Деба и Коулсона.

В. И. Пупышев

X/ 3.599

(+) 3

☒

F_2

1 Д120. Расчеты F_2 , Cl_2 , Br_2 и I_2 методом ЧПДП с параметрами Деба — Коулсона. Spurling Thomas H., Snook Ian K. INDO calculations on F_2 , Cl_2 , Br_2 and I_2 using the Deb—Coulson parameters. «J. Chem. Soc. Faraday Trans.», 1973, Part 2, 69, № 8, 1183—1186 (англ.)

1973

силов.
посл.
 $M_m; E_i$

Методом ССП МО ЛКАО в валентном приближении ЧПДП с параметрами Деба — Коулсона (см. РЖХим, 1971, 21Б30) исследовано электронное строение F_2 , Cl_2 , Br_2 и I_2 . Приведены равновесные межъядерные расстояния, силовые постоянные, орбитальные энергии, энергии переходов. Обнаружено, что полученные результаты согласуются с опытными данными (в ряде случаев согласие хорошее) и во всех случаях правильно передают тенденции в ряду галогенов. Плохое согласие для некоторых из рассмотренных молекул, обнаруженное Дебом и Коулсоном, по мнению авторов, обусловлено ошибками в их программе. Подчеркнуто, что использованная параметризация приводит к существенно лучшим результатам, чем стандартная параметризация схемы ЧПДП.

В. Л. Лебедев

(+3)



X/ -3.5.99
комплект 1/204.

Ф 1974 N 1

announced 1204

1973

E₂

XI 55.99

M. N.

parerum

CH 1973

79, n24

139863h INDO [Intermediate neglect of differential overlap] calculations on fluorine, chlorine, bromine, and iodine using the Deb-Coulson parameters. Spurling, Thomas H.; Snook, Ian K. (Div. Appl. Chem., CSIRO, Melbourne, Aust.). *J. Chem. Soc., Faraday Trans. 2* 1973, 69(Pt. 8), 1183-6 (Eng). Intermediate neglect of differential overlap calcs. of mol. properties of F₂, Cl₂, Br₂, and I₂ using the parameters suggested by B. M. Deb and C. A. Coulson (1971) followed exptl. trends more closely than in the original publication.

(+3)

STRICKER 1469 1973
F₂ (gas) (u. n.) XI 8942

89176j Laser-excited Raman spectrum of gaseous fluorine.
Stricker, W.; Hochenbleicher, J. G. (DFVLR-Inst. Reaktions-
kinet., Stuttgart, Ger.). *Z. Naturforsch.*, Teil A 1973, 28(1),
27-30 (Ger). The pure rotational and the rotation-vibrational
Raman spectra of F(g) at pressure 2 atm were recorded photoelec.
The vibrational transitions 0 → 1, 1 ↔ 2, and 0 → 2 were obsd.
The anal. of the spectra yielded the fundamental vibration
quantum ΔG_{1,2} (893.5 ± 1.5) cm⁻¹, the rotational consts.
 B_0 , D_0 , and B_1 (0.8847 ± 0.0010), (0.49 ± 0.16) × 10⁻⁵, and
(0.872 ± 0.002) cm⁻¹, and the anharmonicity const. $\omega_a \chi_e$ (11.8 ±
1) cm⁻¹.

C. A. 1974. 80. N16

F₂

спектр g/2

X1

8 Б202. Возбужденный лазером спектр комбинационного рассеяния газообразного фтора. Stricker W., Hochenbleicher J. G. Das lasererregte Raman-Spektrum von gasförmigem Fluor. «Z. Naturforsch.», 1973, 28a, № 1, 27—30 (нем.; рез. англ.)

1973

Получен чисто вращательный и колебательно-вращательный спектр КР ($\lambda_{\text{возб}} 5145\text{\AA}$) газообразного F₂ при давлении ~ 2 атм. Наряду с колебательным переходом 0→1 наблюдали также «горячий» переход 1→2 и обертон 0→2; определено положение максимумов Q-ветвей. Рассчитаны вращательные постоянные (см^{-1}) для основного и колебательно-возбужденного состояний и константа ангармоничности: $B_0 = (0,8847 \pm 0,0010)$, $D_0 = (0,49 \pm 0,10) \cdot 10^{-5}$, $\Delta G_{1/2} = (893,5 \pm 1,5)$, $\omega_e = (917,1 \pm 3,5)$, $\omega_e x_e = (11,8 \pm 1)$, $B_1 = (0,872 \pm 0,002)$. Наблюдается небольшое расхождение, в частности для величины $\Delta G_{1/2}$ между результатами настоящей работы и лит. данными.

А. Бобров

Х. 1974 № 8

спектр g/2 / 1469

F₂

сентябрь 1969

1973

Мн.

XI-3.9/2

5 Д349. Спектры комбинационного рассеяния газообразного фтора при лазерном возбуждении. Strickert W., Hochenbleicher J. G. Das lasererregte Raman-Spektrum von gasförmigem Fluor. «Z. Naturforsch.», 1973, 28a, № 1, 27—30 (нем.; рез. англ.)

Изучены чисто вращательные и вращательно-колебательные спектры комб. рас. газообразного фтора при

давлении 2 атм. На основании полученных данных вычислены молекулярные постоянные. Библ. 5.

Ф. 1974 N 5

1973

F₂

15 Б1191. Диссоциация фтора электронным пучком.
 Wilson Jack, Chen Hao-Lin, Fyfe Walter,
 Taylor Raymond L., Little Roger, Lowell
 Robert. Electron beam dissociation of fluorine. «J.
 Appl. Phys.», 1973, 44, № 12, 5447—5454 (англ.)

диссociи.
аси8.

Изучали образование атомов F в газовых смесях F₂ с He, CO₂ и HCl различного состава при давл. 1 атм при облучении импульсами электронов с энергией 20—140 кэв длительностью 250 нсек при плотности тока 100—600 а/см². За конц-ней атомов F следили по интенсивности поглощения HF, образующегося в быстрой р-ции F+HCl→HF+Cl. В кач-ве источника света использован хим. лазер на HF. Найдено, что при каждом столкновении электрона с молекулой образуется 3 атома F, что соответствует расходу энергии ~12 эв на каждый образующийся атом F. Таким образом, электронный пучок может использоваться для инициирования хим. лазеров на HF. Обсуждаются возможные процессы, приводящие к диссоциации F₂.

В. Е. Скурат

Х. 1974

N 15

40522.7339
Ch, Ph, TE

XI-4092
 F_2 - нариц 0604 02 1973
оснобтсво социалист. № 4-5000

K p. N 40522.7299

Weinberger Peter, Knowalow Daniel D. (III)

A study of the ground states of N_2 , O_2 ,
and F_2 and their ESCA spectra by
the multiple scattering $\chi\lambda$ method.

"Int. J. Quant. Chem. Symp.", 1973, N 7, 353-367
(англ.)

088.095 107 0115 ЕКР ВИНИТИ

Pacquem H.-D., & (CO, F₂, O₂, NH₃) 1973

Whitten J. L.,

XI 3609

Accounts Chem. Res., 1973, 6, 17, 238-245
(au73)

Ab initio studies of molecules, and
concepts of molecular structure.

10

Puckrin, 1974, 2541

to

⑨

F₂

VSP - 1-X A-270 1974

23 Б23. Описание двухатомных молекул с использованием одноэлектронных конфигурационных энергий с двухчастичным взаимодействием. Anderson Alfred B., Hoffmann Roald. Description of diatomic molecules using one electron configuration energies with two-body interactions. «J. Chem. Phys.», 1974, 60, № 11, 4271—4273 (англ.)

расчет
поменз.
Кривых

Полная энергия двухатомной молекулы АВ представлена в виде $W(R) = W^{(1)}(R) + D^{(2)}(R)$, где $W(R)$ обозначает суммы электростатич. энергии взаимодействия ядра А с нейтр. атомом В и энергии перераспределения электронной плотности при образовании молекулы. Последняя идентифицируется со связывающей компонентной энергии и определяется в рамках расширенного метода Хюккеля как сумма одноэлектронных энер-

Сущ. LiF,irk

(+9) X

х. 1974. N23

гий. Для ряда молекул рассчитаны потенциальные кривые с использованием упомянутого приближения. Во всех случаях первая составляющая является отталкивающей, а вторая ответственна за притяжение. При расчете гомоядерных молекул F_2 и Cl_2 полученные потенциальные кривые лежат выше экспериментальных, но имеют близкую форму. В случае молекул LiF , $NaCl$, Be , SiO и $AlCl$ расчетные кривые лежат выше экспериментальных. Проведен также расчет потенциальных кривых молекул C_2 , ацетилена и этилена. Обсуждается возможность расширения метода расчета на более сложные системы.

А. Дементьев

1974
F₂ (ne)

9 Д442. Анализ контуров полос комбинационного рассеяния жидкого фтора. Vaggal Jean-Claude, Hartmannsenn Olivier, Rigny Paul. Raman bandshape analysis in liquid fluorine. «Chem. Phys. Lett.», 1974, 26, № 1, 79—81 (англ.)

Получены спектры комб. рас. жидкого фтора при т-рах 75—110° К в области основного тона F₂. Ширина поляризованной компоненты ~0,9 см⁻¹. Асимметрия, ширина и частота компоненты немногого увеличиваются с понижением т-ры, указывая на усиление специфич. взаимодействий. По температурным изменениям ширины деполяризованной компоненты определена зависимость времени ориентационной релаксации т-ры. Изменение характера этой зависимости при 85° К указывает на перестройку структуры жидкого фтора в этой точке. Определена энергия активации переориентации ~0,3 ккал/моль. Даны картина поворотного движения молекул F₂ в жидкости. Библ. 9. М. В. Тонков

спектр

1974. № 9

1974

F₂

0530P

(20)

137245e Dissociation energy of fluorine. Berkowitz, J.; Wahl, Arnold C. (Argonne Natl. Lab., Argonne, Ill.). *Advan. Fluorine Chem.* 1973, 7, 147-74 (Eng). A review with 75 refs. is given on exptl. and theor. detns. of the dissociation energy of the F₂ mol.

E. R. Kurginski

C.A.1974. 80. N24.

H_2 ; F_2 ; N_2 ; O_2 ; HF ; LiH ; OH^- ; Li^+ ; Na^+ ; Cl^- ; CO ; BN ; BF ; LiF ; CH_4 ; C_2H_6 ^(re.) _{parceq.} 8812

Caralp L, Cavalier J.C.,

J. Mol. Struct., 1974, 23, N° 153-160
(ans)

Determination de geometries
d'équilibre et des constantes de forces
par une methode de type CNDO.
TO

41018.6813

Ph, Ch, TC

X-8872
96615 02 1974
F₂
2593

Caralp-Louis, Cavalier Jean-Claude.

Détermination des géométries d'équilibre
et des constantes de forces par une
méthode de type CNDO. "J. Mol. Struct.",
1974, 23, N 1, 153-160

(англ.)

0215 ПИК

186 187

0207

ВИНИТИ

40510.8701

TE,Ch

40771

F₂

1974

02

2113

(See: Xe-F)
Carroll T.X., Shaw R.W., Jr, Thomas T.D.,
Kindle C., Bartlett N.

Electron distribution in the xenon fluo-
rides and xenon oxide tetrafluoride by
ESCA and evidence for "Orbital
Independence" in the xenon-fluorine
bonding.

"J. Amer. Chem. Soc.", 1974, 96, N 7,

1989-1996 (англ.)

0386 677

085 086

013 3

ВИНИТИ

F₂

1974

10 Д211. Распределение электронной плотности в
ClF, определенное по энергиям связи остовных элек-
тронов. Carroll T. X., Thomas T. D. Charge distri-
bution in ClF from core-electron binding energies. «J.
Chem. Phys.», 1974, 60, № 5, 2186—2187 (англ.)

С помощью рентгеноэлектронной спектроскопии изме-
рены энергии связи остовных электронов в F₂ (I), ClF
(II) и Cl₂ (III). Обнаружено, что в II остовные 1s-элек-
троны атома F связаны на $2,16 \pm 0,05$ эв менее прочно,
чем в I, а остовные 2s-электроны атомов Cl в III — на
 $0,57 \pm 0,15$ эв менее прочно, чем в II, что привело авто-
ров к выводу, что Cl в II заряжен положительно. По
эмпирич. соотношению между величинами сдвигов ука-
занных энергий связи, межатомными расстояниями и
зарядами величины зарядов оценены в 0,05—0,15. Хотя
найденная полярность противоположна по знаку полу-
ченной из дипольного момента, измеренного с помощью
эффекта Зеемана, отмечено, что это несогласие может
быть обусловлено тем фактором, что сдвиги энергий
связи наиболее чувствительны к распределению элек-
тронной плотности вблизи атомных центров, а дипольный
момент — к таковому на периферии молекулы.

В. Л. Лебедев

Энергия
связи

42

☒

Ф. 1974
N10

F_2

N_2

(γ)

ф. 1974

N10

XI 4076

1974

10 Д208. Простое объяснение невыполнения теоремы Купманса для F_2 и N_2 . Cederbaum L. S. A simple explanation of the breakdown of Koopmans' theorem for F_2 and N_2 . «Chem. Phys. Lett.», 1974, 25, № 4, 562—563 (англ.)

Отмечается, что наблюдаемый на опыте порядок роста ионизац. потенциалов валентных электронов ($1\pi_g$, $1\pi_u$, $3\sigma_g$) в F_2 не согласуется с теоремой Купманса ($1\pi_g$, $3\sigma_g$ $1\pi_u$); аналогично, эксперим. последовательность роста потенциалов ионизации ($3\sigma_g$, $1\pi_u$, $2\sigma_u$) в N_2 также противоречит предсказаниям теоремы Купманса ($1\pi_u$, $3\sigma_g$, $2\sigma_u$). Показано, что расчет поправки к «вертикальному» потенциальному ионизации, соответствующему теореме Купманса, выполненный во втором порядке теории возмущений по энергии, приводит к согласию с экспериментом для последовательностей потенциалов ионизации обеих молекул.

Т. К. Ребане

(+)

F_2

N_2

(y)

X7-460-76

1974

29864t Simple explanation of the breakdown of Koopmans' theorem for fluorine and nitrogen molecules. Cederbaum, L. S. (Phys. Dep., Tech. Univ. Muenchen, Garching/Munich, Ger.). *Chem. Phys. Lett.*, 1974, 25(4), 562-3 (Eng). A simple symmetry consideration explains why the Koopmans' theorem fails to explain the assignment of the ionization potentials of F_2 and N_2 (C., et al., 1973).

(+)

C.A.1974.81.N4

F₂

1974.

Chong S.P., et al.

(γ)

*us-4695

J. Chem. Phys., 1974, 61,
3567-70.

● (cet. HCl; III)

F₂

Douglas A. E.

1974

"Chem Spectroscopy and
Photochem Vacuum-Ultra-
violet" Dordrecht-Boston,
1974, 113-128 (auw)

коидам.
броядам.
енекмп.

(au BH; III)

March 3995 1974

F₂

(Ae)

Hasland P. W.
Franklin J. D.

J. Chem. Phys.
1974, 61 n⁵, 1621-35

1974.

F₂

Hirschfeld F. L.
et al.

pacem
maury.

Mol. Phys. 1974, 27

N 5, 131°9' - 43'

Indopacifische reeënhol vlieg-
haaien & 2xat. moek. 3. tall.

II nepuoga.



AH u A₂

(cav. Litt. III)

F₂

Howard Wilmont F., 1974
fr, Andrew Lester.

enckmp
8 Marp.

"J. Raman Spectrosc" 1974,
2, N5, 447-462 (aur)

(see F₂; III)

1974

 F_2 H_2 Cl_2

Kbagyn.

momentum

97107y Molecular polarizability estimates for vibrational spectral interpretation. Jao, T. C.; Beebe, N. H. F.; Person, W. B.; Sabin, J. R. (Dep. Chem., Univ. Florida, Gainesville, Fla.). *Chem. Phys. Lett.* 1974, 26(4), 474-8 (Eng). A scheme is outlined for obtaining ests. of mol. polarizabilities, quadrupole moments, and their derivs. from restricted Hartree-Fock calcns. Results are presented for H_2 , I_2 and Cl_2 , and are compared with expt. The results are lower limits to these quantities and are expected to be of use in the interpretation of Raman and of collision-induced ir absorption spectra.

(F2)

C.A. 1974. 81. N16

F₂

* 43-7643- 1974

XI 1974

✓ 36748g Excited states of the fluorine molecule. Kasseckert, E.; Wirsam, B. (Inst. Theor. Phys., Justus-Liebig-Univ. Giessen, Giessen, Ger.). *Z. Naturforsch.*, Teil A 1974, 29(10), 1425-30

(Ger). The lower-lying excited states of F₂ were calcd. by 3s and 3p at. orbitals. The calcns. lead to mol. levels changing for large nuclear distances into the correct states of the sep. atoms. From the potential curves of some higher excited stable states it was concluded that the expd. obsd. orange band system may belong to the 2 transitions $^1\Sigma_g^+ - ^1\Pi_u$ and $^1\Sigma_u^- - ^1\Pi_g$.

M. N.

scb. uex.
paetem

C.A. 1975, 22, N6

40508.6013

TE, Ph, Ch

40892 02.

1979

F₂ IX 4635

2148

k p.N 40508.6012

Lie George C., Clementi Enrico.

Study of the electronic structure of molecules. XXII. Correlation energy corrections as a functional of the Hartree-Fock type density and см. прод.

086 087 098

0100 яиц ВИНИТИ

40508.6013

40892

62

TE, Ph, Ch

прод.

its application to the homonuclear diatomic molecules of the second row atoms.

"J.Chem.Phys.", 1974, №60, N4, 1288-1296

(англ.)

0106 МКЗ 1

086 087-098

ВИНИТИ

F₂

ommieek 3005

1974

Mc Creery J.H., Hall G.G.

"J. Amer. Chem. Soc."
1974, 96, (26), 7875-78.

paekan megruee

C_2 ; N_2 ; F_2 ; CD ; BF (u. n.; pacrēm) 1974

Peel J. B., XI 4175

Austral. J. Chem., 1974, 27, N5, 923-931
(austr.)

Non-empirical valence electron molecular orbital calculations.

The NEVE method for first-row diatomic mo molecules.

Bic Xmu, 1975, 1516

10

(P)

11

LiH, BH, FH, Be₂, Li₂, 1974.
C₂, F₂, CO, CH₄, C₂H₂ X - 9249
(нб. нех. раствор). 10, 11, 14, 15-2

Тифеевозников В.Н., Тицбоб А.А.

ИС. сибирск. уч. журн., 1974,
15 (5), 958-60.

Тифеевозников АБИНДИК растворы
дихлорфосфора и фосфора моногидрида в
кислотах (свойства и применение)
в 1975 г. № 2. № 7803 ч. 10 (⊕) 15

F₂

1924

Dnp. gapnyc
как аномалии
в мозаичные

Roby Goldth R.
"Col. Phys.", 1924,
27, (2), 61-214

(см. L₂; III)

F₂

XIS-8000

XI-4586 1974

Cl₂

Br₂

I₂

(u.n.)

✓ 36741z Systematics of Feshbach resonances in the molecular halogens. Spence, David (Argonne Natl. Lab., Argonne, Ill.). *Phys. Rev. A* 1974, 10(4), 1045-52 (Eng). Using an electron transmission spectrometer the energetically lowest-lying Feshbach resonances in the mol. halogens F₂, Cl₂, Br₂, and I₂ are located. These resonances are assocd. with Rydberg states and have symmetry ($X^{\pm} \Pi_g$) ($ns\sigma$)² [${}^2\Pi_{1/2,3/2}$], where $n = 3, 4, 5$, and 6 for F_2, Cl_2, Br_2 , and I_2 , resp. The binding energy of the lowest pair of $ns\sigma$ electrons to the ground-state pos. ion core decreases monotonically as the size of the mols. increases from 4.45 ± 0.05 eV in F to 3.57 ± 0.05 eV in I . A simple qual. theor. argument, based on an at. model, satisfactorily describes the decrease in the binding energy.

⑦3

☒

C.A. 1975, 2d, N6

*43 - 8000

1974

F_2

Cl_2, Br_2
 J_2

Энергии
связи

Ф. 1975
N 5

5 Д525. Систематика фешбаховских резонансов в молекулярных галогенах. Spence David. Systematics of Feshbach resonances in the molecular halogens. «Phys. Rev. A: Gen. Phys.», 1974, 10, № 4, 1045—1052 (англ.)

Для обнаружения и изучения фешбаховских резонансов в области малых энергий в молекулярных галогенах использована техника скрещенных молекулярного и электронного пучков; взаимодействие регистрировалось по проходящей компоненте модулированного электронного пучка. Показано, что резонансы обусловлены ридберговскими состояниями, образующими состояния отрицательного молекулярного иона симметрии $(ns\sigma)^2[{}^2\Pi_{1/2,3/2}]$ с $n=3, 4, 5$ и 6 соответственно для F_2 , Cl_2 , Br_2 и J_2 . С увеличением размера молекул энергия связи нижней пары электронов $ns\sigma$ относительно основного состояния молекулярного иона уменьшается от $4,45 \pm 0,05$ эв (F_2) до $3,57 \pm 0,05$ эв (J_2). Для объяснения вариации энергии связи привлечены теоретич. результаты, полученные на упрощенной атомной модели.

Библ. 24.

В. А.

4386
4381
1
1

43

✓

1974

HF, HCl, HBr, HI, H₂, F₂, Cl₂, Br₂, X₂ 10⁷²
I₂, FCl, FBr, FI, ClBr, ClI, BrI (Z_e, Z₀, Y).

Straub P.A., McLean R.D.,

Theor. chim. acta, 1974, 32 (3),

227 - 42.

Electronic structure of linear halogen compounds. I. Diatomic halides, interhalogens, and halogen hydrides.

C.A. 1974. 80. N22.126219y. 10

(P)

T. 1

1974

FH

152

Accidieg C.S.K. et al

J. Phys. B: Atoms and
Mol. Phys., 1975, 8,
N18, 2987-94.

(b. 1975
inacces.
21. europei.)

(Call 184) III

XI-640
60109.1304

Ch. Ph. TC

Kb. uch. пачес
40892 f
recomm. w. 12
x 45-11170

1975

Ahlrichs R., Lischka H., Zurawski B.,
Kutzelnigg W. PNO-CI(pair-natural-orbital
configuration interaction)and CEPA-PNO
(coupled electron pair approximation with
pair natural orbitals)calculations of
molecular systems. IV. The molecules

N_2 , F_2 , C_2H_2 , C_2H_4 , and C_2H_6 .

"J. Chem. Phys.", 1975, 63, N11, 4685-4694

(англ.)

1975.

F_2

15 Б23. Вывод расширенного метода Хюккеля с поправками. Одноэлектронная теория молекулярных орбиталей для [расчета] энергетических уровней и структурных определений. Anderson Alfred B. Derivation of the extended Hückel method with corrections: one electron molecular orbital theory for energy level and structure determinations. «J. Chem. Phys.», 1975, 62, № 3, 1187—1188 (англ.)

Предложена модификация расширенного метода Хюккеля путем включения в матричные элементы членов, учитывающих несвязанные взаимодействия. Сообщается об успешном применении метода к расчету потенциальной кривой молекулы F_2 и геометрии формальдегида.

А. Багатурьянц

X. 1975 № 15

☒ (+) ①

H_2CO (геометрия)

F₂

Bader R.F.W.

1975

"J. Amer Chem Soc"

1975, 97, N^o 26, 7391-7399

(aure)

(au LiH; II)

F₂

Amherst 3725

1975

84: 81997q Change in the absorption spectrum of molecular fluorine in the 300-1000°K temperature range. Batovskii, O. M.; Gur'ev, V. I. (USSR). Zh. Prikl. Spektrosk. 1975, 23(6), 1092-4 (Russ). The relative variation of the absorption coeff. was detd. between 240 and 400 nm at 360, 500, and 690°K during the reaction of F₂ with O₂. At 326 nm, the absorption coeff. of F₂ is independent from the temp. G. Thirot

creams.
no cellul.

C.A. 1976-84110

rares γ (H₂O, H₂CO, N₂, HF, CO,
F₂) XI-4559

Biskupič S., Valko L., Kvasnicka V.,
Theor. chim. acta, 1975, 38, N^o 2, 149 -
157 (four,

application of one-particle Green
functions technique for calculations of
critical ionization potentials of closed-
shell molecules described by CNDO/2
semiempirical ha-(m)ltonian. ^{11,13,146}

50411.3750
Ph, Ch, MGU

30063

F₂

9975
3164

Cederbaum L.S.

One-body Green's function for atoms and molecules: theory and application.

"J. Phys. B: Atom. and Mol. Phys.",
1975; 8, N 2, 290-303 (англ.)

0341 ПИК

ВИНИТИ

312 . 316 0333

50324.9091

96201

1975

Ph, Ch, TC

F₂

45-8333

Clark David T., Muller Jiri.

A non-empirical LCAO MO SCF investigations of electronic relaxations accompanying core ionizations in the series X₂ and BX (X=F, Cl and Br). "Chem. Phys. Lett.", 1975, 30, N 3, 394-397

(англ.) 0324 ник

307 307 0316

ВИНИТИ

F₂

*4 - 9503

1975

Coccon J. A.

Douglas.

Chem. Phys. Lett.,
1975, 33 n1, 136-140.

1975

F₂

8 Б22. Метод псевдопотенциалов и эффективных потенциалов в теории самосогласованного поля и его приложения для соединений тяжелых элементов. Ewig Carl S., Van Wazer John R. On pseudopotential and effective—potential SCF theory and its application to compounds of heavy elements. «J. Chem. Phys.», 1975, 63, № 9, 4035, 4041 (англ.)

*расчет
J. L. Стройкин*

Исследована возможность использования атомного псевдопотенциала типа Филипса—Клеймана (Phys. Rev., 1959, 116, 287) для расчета электронного строения атомов и молекул методом МО ЛКАО ССП в валентном приближении. Проведен расчет длин связи, колебательных частот и вертикальных поправок к потенциалам двухатомных молекул галогенов и интергалогенов F₂, FCl, FB₂, FJ, Cl₂, ClBr, ClJ, Br₂, BrJ, J₂ в миним. базисе группированных гауссовых АО с использованием атомного эффективного потенциала, включающего в себя проектор на оставные функции и модельный потенциал электростатич. взаимодействия оставных и валентных электронов. Параметры модельного потенциала выбраны так, чтобы воспроизвести энергии валентных

(4)

X/1976

N8

АО, полученные неэмпирич. методом МО ЛКАО ССП в миним. базисе слейтеровских АО. Для системы Bg_2 расчет с использованием псевдопотенциала проведен также и в двухэкспонентном базисе. Полученные результаты сопоставлены с результатами расчетов неэмпирич. методом МО ЛКАО ССП в миним. и двухэкспонентном базисах. Отмечено, что приближение «замороженного» остова дает удовлетворительное описание электронного строения рассмотренных соединений.

О. Гриценко

50807.3805

Ch, Ph, TC

40771

1975

F₂ (реактив)
E'pacet

3236

Keil_Frerich, Kutzelnigg Werner.

The chemical bond in phosphoranes. Comparative ab initio study of PH₃F₂ and the hypothetical molecules NH₃F₂ and PH₅.

"J. Amer. Chem. Soc.", 1975, 97, N 13,
3623-3632

(англ.)

0428 отк

395 397

4 ? 0

ВИНИТИ

F-F

OST 4824

1975

Kerr J. A., et al.

(Do) Handbook Chem. Phys.,
55th Ed., 1974-75

F₂

1975

Кіоск з джигом та піснями

Міський підприємство звукозапису

Орендується від міської ради
загальнодержавної
задовільності.

(адр. H₂, III)

HF

1975

Kutzelnigg W.

(verlog X-9)

(Koproduktivis.)
2 M. Ec

Localiz. and Delocaliz.
Baculum Chela Vol. I.
D.-B. 1975, 143-53

(see BM3) III

F_2

Do, Y., KB.

Mex. passer

Leroy G., et al

1975

Bull. Soc. Chim. Belg.,
1975, 84(11), 1105-18

See Mat; \equiv

F_2

Макеев Т.Н.

1975

"Докл. АН СССР"

1975, 222, №1, 151-154

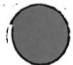
специфич
новоизд

f mn

(ак Dr F_2 ; III)

X-9160
1975
Li₂, F₂, HF, HF₂⁻, C₂ и пр.
(вб. неэ. реаг.)

Ниukkanen A.B., Перевозников В.И.,
Грибоедова Н.А.
М. Ирикис. Свердловск., 1975, 22, 1082-1085



10

1975

F₂

F₂⁺

F₂⁻

160349s Energy deposition mechanisms for electrons colliding with fluorine and fluorine mixtures. Peek, J. M. (Sandia Labs, Albuquerque, N. Mex.). Report 1974, SAND-74-0274, 39 pp. (Eng). Avail. Dep. NTIS. From *Nucl. Sci. Abstr.* 1975, 31(2), Abstr. No. 4491. The potentially important mechanisms and the available data for energy deposition by electrons colliding with targets consisting of F₂ and F₂ mixts. are reviewed. The electronic structure of the F₂⁺, F₂, and F₂⁻ systems is discussed. Available electron scattering data and some new inferences based on photon scattering information are presented.

(3d. emphyomysa)

C. H. 1975, 82 N 24



F_2

стмиск А 2948 1975

Pagur A.A.

(M.n., Do,
J, em. nočí)

B. ed., *Xanthus maculata*"

1975, běr 2 3-61,

M, 'Amočkygarn.'

F₂

Sambe H; et al. 1975

J. Chem. Phys.,

M. n; Liss. no. 5.

Zhur. org. khim. 1975, 62 N3,

1122 - 26

(see CO; III)

61115.1944

Ch., Ph., TC

F IX-5452

F₂ 34469

1975

XIV-15287

Sannigrahi A.₂B₂, Mohammad S. Noor.

Contracted basis set extended Hückel calculations on the first-row homonuclea diatomics.

"Indian J. Pure and Appl. Phys.", 1975,
13, N 12, 811-815 (акт.) 0746 пэк

(act. L₂; 11)

713 713

73.8

ВИНИТИ

ommuch 3838

1975

F₂

Schlegel H.B.; et al.

(xx) Can J. Chem., 1975,
53, N23, 3599-601

(cu. H₂; $\bar{1}\bar{1}\bar{1}$)

299 300

50312.2406

Ch, Ph, TC, Ex-C

41197

F₂(проверил
связь)

1975

ХУ 8276

Smardzewski Richard R., Fox W.B.

An infrared study of the photolysis of trifluoromethyl hypofluorite and hypochlorite in argon matrices at 8°K.

"J. Phys. Chem.", 1975, 79, N 3, 219-222

(англ.)

0315 пик

9.5.1977

ВИНИТИ

F_2

1975

Lerner M.,

J. Chem. Phys.,

1975, 62, 17, 2788 - 2799.

(CH_2H_2 ; $\bar{\text{m}}$)

paper un., 3, room. emp) (H_2^+ , Li_2 , N_2 ,
 F_2 , H_2O) $\beta\bar{X}-83$ 1976

Antoci S., Barino L.

J.Chem. Phys., 1976, 65, v1, 257-260 (err.)

An asymptotically exact form of
the interacting spheres model of mo-
lecules; computation of the total energy
and the ESCA spectra of H_2^+ , Li_2 , N_2 , F_2
and H_2O .

Aug., 1976, 12D111

10

(g)

1976

F2

Arce F.- et al.

An. quim. Real. Soc.

esp. fis. y quim. 1976
F2, NG, 505-8.

(Cell. Liz; III)

(paerem)
(cel. uoen)

1976

F₂ 1 Д350. Исследование температурной зависимости сплошного УФ-спектра поглощения молекулярного фтора. Батовский О. М., Гурьев В. И. «Оптика и спектроскопия», 1976, 41, № 2, 326—329

Исследована температурная зависимость $T=300-1000^{\circ}\text{K}$ коэф. поглощения молекулярного фтора в диапазоне длин волн 240—400 нм. С целью предотвращения химич. взаимодействия горячего фтора со стенками и окнами измерит. кюветы использована методика импульсного разогрева фтора в сильно экзотермичной фотокимич. реакции F_2 и H_2 в присутствии O_2 . Коэф. поглощения измерялся с использованием в импульсной лампе. Выполнены теоретич. расчеты температурной зависимости коэф. поглощения фтора. Сравнение результатов расчета с экспериментом показывает некоторые различия, отнесенные авторами за счет неучтенного в расчетах вращательного движения молекул. Полученные данные могут быть использованы при спектроскопич. измерениях т-ры фтора, нагретого в результате химич. реакций, или при фотолизе. Библ. 9. В. С. Иванов

У. ф. синтез

9. 1974. № 1

1976

F₂

Y. op.

Materials.

85: 169104c Study of the temperature dependence of the continuous uv absorption spectrum of molecular fluorine. Batovskii, O. M.; Gur'ev, V. I. (USSR). *Opt. Spektrosk.* 1976, 41(2), 326-9 (Russ). The temp. dependence of the absorption spectrum (240-400 nm) of mol. F at 300-1000°K was studied exptl. and theor. A pulsed lamp with an emission duration of $\sim 0.8 \times 10^{-3}$ sec was the source. The spectrum of mol. F was calcd. for the $1\text{H}_u \rightarrow 1\sigma_g^+$ transition. The rapid pulsed heating of F, as compared with a static heating of the gas in a measuring cell, excluded the interaction of heated F with the cell walls during the measurement. To F, O was added in an amt. lower by a factor of 2 than the F amt. and the mixt. was dild. with a 1:10 He:H mixt. (1.7-6.4%, relative to F). The temp. dependence of abs. changes of the spectral cross section of mol. F absorption $\Delta\sigma_\lambda$ is discussed. The calcd. and exptl. data agreed well near the absorption max. of F.

V. L. Sarova

C.A. 1976 85 122

1976

1 Б149. Исследование температурной зависимости сплошного УФ-спектра поглощения молекулярного фтора. Батовский О. М., Гурьев В. И. «Оптика и спектроскопия», 1976, 41, № 2, 326—329

Проведено эксперим. и теор. исследование т-рной зависимости спектра поглощения молек. фтора при т-рах 300—1000° К в диапазоне 240—400 нм. В кач-ве зондирующего источника использовалась импульсная лампа. Нагрев фтора осуществляли в импульсном режиме с помощью экзотермич. р-ции его с водородом. Приводятся значения исходных молек. параметров, использованных при расчете спектрального сечения поглощения. Результаты расчета согласуются с эксперим. данными вблизи максимума поглощения (250—350 нм).

В. М. Ковба

У. ф. анир
Х. 1977/1

F₂

№ 4 - 14253 6. 6. 1976

1 Д351. Электронный спектр F₂. Colbourne E. A.,
 Dagenais M., Douglas A. E., Raymonda J. W.
 The electronic spectrum of F₂. «Can. J. Phys.», 1976, 54,
 № 13, 1343—1359 (англ.; рез. франц.)

Спектрограммы поглощения и испускания молекулярного фтора получены фотографически при разрешении, достаточном для вращательного анализа большинства полос (обратная дисперсия 0,24 и 0,18 Å/мм). Для большого числа колебательных уровней трех ионных состояний фтора, наблюдающихся в спектре поглощения (780—1020 Å), определены вращательные постоянные. Проанализированы возмущения вращательной структуры, обусловленные взаимодействием этих состояний, и определены энергии взаимодействия. Выполнен анализ колебательной и вращательной структуры нескольких

*Эксперимент
спектр*

φ. 1977 № 1

ридберговских переходов, однако серии Ридберга не идентифицированы. Обсуждены трудности отнесения наблюдавшихся состояний. В спектре испускания в области 1100 Å обнаружена система полос перехода ${}^1\Sigma_u^+ - X{}^1\Sigma_g^+$. Анализ полос этой системы позволил определить значения термов и вращательные постоянные всех колебательных уровней основного электронного состояния молекулы F₂ до $v=22$, включительно. Для энергии диссоциации основного состояния F₂ получено значение $D_0(F_2) = 12920 \pm 50$ см⁻¹. Библ. 24. В. С. Иванов

F₂

~~File No. 10000~~ 7634 | 1976

85: 114028a The electronic spectrum of molecular fluorine.
Colbourn, E. A.; Dagenais, M.; Douglas, A. E.; Raymond, J. W. (Herzberg Inst. Astrophys., Natl. Res. Coun. Canada, Ottawa, Ont.). *Can. J. Phys.* 1976, 54(13), 1343-59 (Eng.).
The absorption spectrum of F₂ in the 780-1020 Å range was photographed at sufficient resoln. to allow a rotational anal. of many bands. A large no. of vibrational levels of 3 ionic states were obsd. and their rotational consts. detd. Many perturbations in the rotational structure caused by the interaction between the 3 states were investigated and the interaction energies detd. The rotational and vibrational structures of a few Rydberg states were also analyzed in detail, but no Rydberg series were identified. The difficulties in assigning the obsd. states are discussed. The A' Σ_u^+ -X' Σ_g^+ emission band system was obsd. at 1100 Å. An anal. of the bands of this system has allowed detg. the term values and rotational consts. of all the vibrational levels of the ground state with $v \leq 22$. The dissoci. energy, $D_0(F_2)$, is >12,830 and is estd. to be $12,920 \pm 50$ cm⁻¹.

(line 180)

File - 14252
B-481

C. A. 1976, 85 v16

КБ-16508

1976

F₂
2Д320. Электронные состояния молекулы фтора с широкой внешней орбиталью. Demoulin D., Jungen M. Expanded electronic states of the fluorine molecule. «Chem. Phys.», 1976, 16, № 3, 311—318 (англ.)

(ii, n; E)
Потенц. кривые возбужденных состояний молекулы F₂ с широкой внешней орбиталью рассчитаны с помощью модифицированного метода замороженного остова. Ионный остов описывался двухтермиантной воли: ф-цией, а возбужденные состояния — смесью конфигураций с различными остовами. Исследованы валентные состояния молекулы. Потенц. кривые рассчитаны для однократно и дважды возбужденных состояний V симметрии ${}^1\Sigma_u^+$. Предсказаны инзколежащие двухконфигурационные состояния, являющиеся результатом одновременного возбуждения валентной и ридберговской орбиталей. Библ. 31.

9. 1977. № 2

F₂

#13 - 16508

1976

*nomenus
Kjelboe*

85: 168987f Expanded electronic states of the fluorine molecule. Demoulin, D.; Jungen, M. (Phys.-Chem. Inst., Univ. Basel, Basel, Switz.). *Chem. Phys.* 1976, 16(3), 311-18 (Eng). Potential curves of electronically excited states of F₂ with an expanded outer orbital were calcd. using a modified frozen core technique; the ionic core was described with a 2 determinant wave function and for the excited states a mixing of configurations with different cores was employed. An investigation of the valence shell states of F₂ is presented and potential curves for a singly excited as well as a doubly excited V-state of $^1\Sigma^+$ symmetry was calcd. Further, a low lying 2-configuration state resulting from simultaneous excitation to a valence and a Rydberg orbital is predicted.

C.A.1976 85N22

F_2

1976

Douady J; et al.

reaccept. Bull. Soc. chim. Belg.
enfert. 1976, 85 (12), 1009-1012



(eucr. CH₄; III)

F₂

1976

Durand Ph., et al.

(reduced).
(cut. well.)

Localiz. and. Dilocality.
Quart. Chem. Vol. 2.
D-B. 1976, 91-124.

(all. H₂O; III)

1976

4 Б21. Диффузные электронные состояния молекулы фтора. Demoulin D., Quengen M. Expanded electronic states of the fluorine molecule. «Chem. Phys.», 1976, 16, № 3, 311—318 (англ.)

В приближении двухконфигурац. метода ССП Даса и Уола для основного состояния молекулы F_2 получены волновая функция, энергия диссоциации (0,73 эв) и равновесное межъядерное расстояние (2,85 ат. ед.). Базис включал сгруппированные гауссовые функции ($5s3p1d$). На основе теоремы Купменса построены две потенциальные кривые иона F_2^+ , отвечающие состояниям 2P_g и 2P_u . Проведен также расчет энергий ридберговых состояний F_2 в приближении конфигурац. взаимодействия. При этом одноэлектронный базис состоял из МО основного состояния F_2 и гауссовых функций с малыми экспонентами (от 0,1 до 0,0006),

Х. 1997. № 4.

71

необходимых при описании различных ридберговых состояний. Аналогичным методом рассчитан ряд валентных состояний молекулы F_2 , характеризующихся диффузным характером волновой функции. Использованные при расчете конфигурации соответствовали модели замороженного остова с произвольным распределением 10 электронов среди орбиталей $3\sigma_g$, $1\pi_u$, $1\pi_g$ и $3\sigma_u$. Приведены потенциальные кривые двух валентных состояний симметрии $^1\Sigma_u^+$. Предсказано существование низколежащего двухконфигурац. состояния молекулы F_2 , образующегося при одновременном возбуждении электрона на валентную и ридбергову орбитали.

А. Дементьев

pacier Ze, Oo (Li₂, C₂, N₂, F₂, CH₄, C₂H₂,
C₂H₄, C₂H₆, CO, H₂O, CH₂). BX-555-¹⁹⁷⁶

Deissler F, Kutzelnigg W,

Theor. chem. acta, 1976, 43, VI, 1-27 (with)

Analyses of the chemical bond. I. The binding energy of the MO-LCAO scheme with an approximate correction for left-right correlation and its physical fragmenta-

tion.

10

(P)

15

F₂

B9-5127-X1

1976

12 Д322. Чисто вращательный спектр комбинационного рассеяния фтора. Edwards H. G. M., Good E. A. M., Long D. A. Pure rotational Raman spectrum of fluorine. «J. Chem. Soc. Faraday Trans.», 1976, Part 2, 72, № 5, 984—987 (англ.)

Получен вращательный спектр комб. рас. ($J=0 \div 25$) газообразного фтора (I) при возбуждении лазерной линией 488,0 нм мощностью 1,5 вт и давл. паров I, равном 550 мм рт. ст. Определены вращательные константы I $B_0 = 0,88331 \pm 0,00004 \text{ см}^{-1}$, $10^6 \times D_0 = 3,48 \pm 0,06 \text{ см}^{-1}$, а также значение равновесной длины связи $r_0 = 1,41744 \pm 0,00006 \text{ \AA}$. Вычислены константы $B_e = 0,889 \pm 0,001 \text{ см}^{-1}$ и $r_e = 1,4131 \pm 0,0008 \text{ \AA}$. Отмечено хорошее совпадение экспериментальных и вычисленных через B_0 и ω_0 значений D_0 в I.

И. В. А.



99/1976 N 12

F₂

BP-5127-XI

1976

85: 53963c Pure rotational Raman spectrum of fluorine.
Edwards, H. G. M.; Good, E. A. M.; Long, D. A. (Sch. Chem.,
Univ. Bradford, Bradford, Engl.). *J. Chem. Soc., Faraday Trans.* 2 1976, 72(5), 984-7 (Eng). The pure rotational Raman
spectrum of $^{19}\text{F}_2$ was recorded photog. with a reciprocal
dispersion of $1.4 \text{ cm}^{-1}\text{mm}^{-1}$ and analyzed to give a more precise
rotational const., centrifugal distortion const., and bond length
than previously obtained. $B_0 = 0.88331 \text{ Cm}^{-1}$, $D_0 = 3.48 \text{ cm}^{-1}$,
and $r_0 = 1.41744 \text{ \AA}$. The value of D_0 agrees with that calcd. from
 B_0 and the fundamental vibrational waveno.

m, n

P.A. 1976. 85. N8

52

В9-5127-ХI

1976

-). 23 Б154. Чисто вращательный спектр комбинационного рассеяния фтора. Edwards H. G. M., Good E. A. M., Long D. A. Pure rotational Raman spectrum of fluorine. «J. Chem. Soc. Faraday Trans.», 1976, Part 2, 72, № 5, 984—987 (англ.)

Получен чисто вращательный спектр КР ($\lambda = 4880\text{Å}$) газ. F_2^{19} (давл. ~ 550 мм). Спектр регистрировался фотографически на решеточном спектрографе высокого разрешения (дисперсия $\sim 1,4 \text{ см}^{-2}/\text{мм}$) точность определения частот составляла $\sim 0,004 \text{ см}^{-1}$. В спектре наблюдались линии со значениями J от 1 до 25 (S -ветвь). Это дало возможность с высокой точностью рассчитать значения вращательных постоянных: $B_o = 0,88331 \pm \pm 0,00004 \text{ см}^{-1}$, $10^5 D_o = 3,48 \pm 0,06 \text{ см}^{-1}$, $r_o = 1,41744 \pm \pm 0,00006 \text{ \AA}$, $B_e = 0,889 \pm 0,001 \text{ см}^{-1}$ и $r_e = 1,4131 \pm \pm 0,0008 \text{ \AA}$.

А. Бобров

Х. 1976. № 23

F₂

1976

Gopinathar et. S.

Kb. aux.
paecem

"J. Chem Phys" 1976, 65(1)
196-200 (eng)

(aux N₂; $\frac{m}{m}$)

F_2

1976

Guyon P.M. et al.

J. Chem. Phys., 1976,
65, 1650.

Threshold photoelectron
spectra ..

(Rev. Lett., 40, 276, 1976)

1976

F_2

Ar_2

Электр.
строение

5Б23. Эффект выбора базисных функций в молекулярных расчетах с использованием псевдопотенциала. Нагкег А. Н. The effect of choice of basis set in molecular pseudopotential calculations. «Mol. Phys.», 1976, № 2, 583—586 (англ.)

Методом МО ЛКАО ССП в валентном приближении с использованием атомного псевдопотенциала (АП) [J. Chem. Phys., 1975, 62, 1509] представленного в виде взвешенного проектора на остовные состояния, проведен расчет электронного строения систем F_2 (для ряда значений R_{F-F}) и Ar_2 ($R_{Ar-Ar} = 5$ ат. ед.). Кулоновский и обменный потенциалы остова аппроксимированы локальным модельным потенциалом простого аналитич. вида. Веса проекторов и параметры модельного потенциала подобраны так, чтобы воспроизвести результаты атомного расчета методом МО ЛКАО ССП с учетом

Х. 1977 № 5



(+)

всех электронов. Рассчитанные (в базисе сгруппированных гауссовых АО) энергии MO и энергии связи F₂ удовлетворительно согласуются с результатами полного расчета (энергии связи занижены по абр. величине на 3%). Энергия связи Ag₂, рассчитанная в базисе 6s5p с соответствующим АП отличается на 5% от энергии, полученной с учетом всех электронов. Расчет электронного строения Ag₂ проведен также в двух др. базисах, сгруппированных гауссовых АО двухэкспонентного типа с АП, параметры к-рых подобраны для базисных наборов 12s8p и 6s5p, и с учетом всех электронов. Отмечено неудовлетворительное воспроизведение результатов полного расчета, что указывает на сильную зависимость параметров АП от выбранного базиса. О. Гриценко

ХС-14422

1976

1 Д116. Ридберговские, ионные и валентные взаимодействия в возбужденных состояниях F_2 . Нау Р. Jeffrey, Cartwright David C. Rydberg, ionic, and valence interactions in the excited states of F_2 . «Chem. Phys. Lett.», 1976, 41, № 1, 80—83 (англ.).

Методом конфигурац. взаимодействия проведены расчеты возбужденных состояний молекулы F_2 . Одноэлектронные ф-ции получены в многоконфигурац. приближении метода ССП. Использовался базисный набор гауссовых ф-ций ($9s5p1d$), сжатых до [$3s2p1d$]. В расчетах ридберговских состояний добавлялись диффузные ф-ции $3s$ ($\zeta=0,036$) и $3p$ ($\zeta=0,032$). Межатомные расстояния варьировались в пределах 0,9—4,0 Å. Проанализированы потенц. кривые валентных и ионных (F^+F^-) возбужденных состояний, а также состояний ридберговского типа ($3s$ и $3p$). Найдены многочисленные пересечения указанных кривых для диабатич. состояний. Рассчитаны моменты разрешенных в дипольном приближении переходов из основного состояния в низшие ридберговские.

О. Сизова

расчеты
возбужд.
состоян.

Ф. 1977 № 1

F₂

48-14422

1976

1 Б31. Ридберговские, ионные и валентные взаимодействия в возбужденных состояниях F₂. Нау P. Jeffrey, Cartwright David C. Rydberg, ionic, and valence interactions in the excited states of F₂. «Chem. Phys. Lett.», 1976, 41, № 1, 80—83 (англ.)

Методом конфигурац. взаимодействия при межъядерных расстояниях 0,9—4 Å рассчитаны термы основного и ряда возбужденных состояний молекулы F₂. Рассмотрены синглетные состояния, коррелирующие со след. состояниями разъединенных атомов: F(²P) + F(2p⁴3s, ²P); F(²P) + F(2p⁴3s, ²D); F⁺(¹D) + F⁻(¹S); F⁺(¹S) + F⁻(¹S). Кривые потенциальной энергии возбужденных состояний характеризуются след. общими чертами: а) диабатич. термы ридберговских состояний являются плоскими с широким и неглубоким минимумом вблизи 2 Å; б) ионные диабатич. термы при больших расстоя-

Ei Do

X. 1977 N1

ниях отвечают притяжению (закон $1/R$); они обладают глубоким минимумом также при $2A$; в) взаимодействие между ридберговскими и ионными термами приводит к ряду псевдопересечений. Особенно сильное взаимодействие имеет место между нижними $^1\Sigma_u^+$ -состояниями. Рассчитаны также дипольные моменты, зависимость к-рых от расстояния имеет немонотонный характер, вследствие изменения характера связи в точке пересечения диабатич. термов. Проведено сравнение с имеющимися в лит-ре теор. и эксперим. данными о возбужденных состояниях F_2 . Рассчитанная энергия диссоциации основного состояния оказалась на 0,25 эв выше экспериментальной.

А. Зембеков

F₂ Feb. 2000. faceted. log'd. 1976
coem.

185: 99480w Rydberg, ionic, and valence interactions in the excited states of molecular fluorine. Hay, P. Jeffrey; Cartwright, David C. (Los Alamos Sci. Lab., Univ. California, Los Alamos, N. Mex.). *Chem. Phys. Lett.* 1976, 41(1), 80-3 (Eng). The excited states of F₂ were investigated as functions of

K4 : jy422
the internuclear distance in a series of CI calcns. Numerous avoided curve-crossings between valence, Rydberg (3s and 3p), and ionic (F⁺F⁻) electronic states were found. Transition moments from the ground state to the lowest dipole-allowed-Rydberg states are presented.

1976

M.n., reacn. eq., Do, ex.s.n. (para H₂, N₂, O₂, CO,
F₂, LiH, HF, LiF, CO, NO, CH₄, H₂O, H₂CO)
NH₃)

Heijser W., Kessel A.-T. van,
Baerends E.J., B.I-216

Chem. Phys., 1976, 16, n° 4, 371-379 (auzu)

Self-consistent molecular Hartree-Fock-Slater calculations. IV. One-electron densities, spectroscopic constants and proton affinities of some small molecules.
Praxm., 1974, 5522

F₂

ClF

BrF

IF

ICb, 2007:
factot

KS-12815

1976

84: 140902e Nonempirical valence-electron calculations on the diatomic halogens and interhalogens. Hyde, Robin G.; Peel, J. Barrie (Dep. Phys. Chem., La Trobe Univ., Bundoora, Aust.). *J. Chem. Soc., Faraday Trans. 2* 1976, 72(3), 571-8 (Eng). The nonempirical valence-electron method for MO calcds. on heavy-atom mols. was extended to include third-row atoms in a min. STO basis calcd., using the approach of M. Horn and J. N. Murrell (1974). Calcd. eigenvalues, z.p. energies, orbital populations, and quadrupole moments of the halogens and interhalogens and dipole moments of the interhalogens agreed with those of published ab initio calcds. The Koopmans' defect was significant only for F-contg. mols. and the resulting orbital sequence agreed with the exptl. photoelectron spectroscopic data in all cases. Spin-orbit splittings also correlated with the obsd. values.

(+9) NJ

C.A. 1976 84 N20

F_2

18 Б26. Неэмпирические расчеты двухатомных молекул галогенов и интергалогенов в валентном приближении. Hyde Robert G., Peel J. Vaggie. Non-empirical valence-electron calculations on the diatomic halogens and interhalogens. «J. Chem. Soc. Faraday Trans.», 1976, Part 2, 72, № 3, 571—578 (англ.)

1976

у* -

12815

м. н.,
кв. меж.
расчет

Предложенный ранее авторами (см. РЖХим, 1975, 1Б16) неэмпирич. метод с учетом только валентных электронов (НЭВЭ) в рамках схемы МО ЛКАО ССП для молекул, содержащих многоэлектронные атомы, распространен на системы, включающие атомы 5-го периода, с использованием миним. наборов ФСТ. В рамках этого метода из атомных данных определяются атомные эффективные заряды для валентных электронов. Все молек. интегралы вычисляются точно, за исключением двухэлектронных гибридных и обменных интегралов, к-рые рассчитываются по приближенной ф-ле Рюденберга с весовыми множителями. Полученные результаты для двухатомных молекул галогенов F_2 , Cl_2 , Br_2 , I_2 и интергалогенов ClF , BrF , $BrCl$, JF , JCl и JBr находятся в удовлетворительном соответствии с данны-

18

79

Х. 1976, 18

ми имеющихся неэмпирич. расчетов МО ЛКАО ССП с учетом всех электронов с аналогичными базисными наборами АО. Расчеты корреляционных поправок Δ_i к потенциалам ионизации (ПИ), найденным по теореме Купменса, показали, что Δ_i наиболее велики для соединений фтора и что с учетом поправок Δ_i найденные в расчете и опытные последовательности ПИ совпадают, хотя абр. значения значительно отличаются, особенно для соединений, состоящих из атомов верхних периодов. Рассчитанные энергии спин-орбитально-го расщепления также удовлетворительно коррелируют с опытными значениями.

Н. М. Клименко

70211.7205
Ch, Ph, TC, MGU

40892

1976

XG-16667

F₂

Kahn Luis R., Baybutt Paul,
Truhlar Donald G.

Ab initio effective core potentials:
reduction of all-electron molecular
structure calculations to calculations
involving only valence electrons.

"J. Chem. Phys.", 1976, 65, N 10, 3826-3853
(англ.)

8811-748

ВИНИТИ

761-770903

1976

T
L
Fif
CO
N₂
расчет
E, расчет.
ф. 1977
N3

зд121. ЛКАО-подход к методу ССП Х α . Koller J., Zaiger M., Azman A. LCAO approach to SCF-X α method. «Z. Naturforsch.», 1976, 31a, № 8, 1022—1033 (англ.)

Предложен новый вариант метода ССП Х α для расчета электронной структуры низкосимметричных молекул, не использующий разбиение пространства на области и не вводящий ячеичное приближение. Пробная волновая-функция представляется в виде линейной комбинации слэйттеровских атомных ф-ций *s*- и *p*-типа, каждая из которых в свою очередь разлагается на три гауссовых орбитали. Обменный потенциал выбран аддитивным по отношению ко вкладам отдельных ф-ций. Выполнены вычисления полных энергий, равновесных расстояний и сил Гельмана — Фейнмана для F₂, FH, CO и N₂. Результаты находятся в неплохом согласии как с экспериментом так и с ССП ЛКАО расчетом. «Ошибочные» силы Гельмана — Фейнмана в равновесной конфигурации в данном варианте ближе к истинному нулевому значению, чем результаты ССП ЛКАО.

И. И. Гегузин

(73)

1946

F₂

Pamuk H. Onder

Chim. acta tare. 1946.

4, N3, 227-6 (Kurs)

napus
kappa
separius

coll. BH-IV

H_2 , LiF , N_2 , B_2 , HF , BH , C_2 , NH , F_2 · 1976
· (см. носн; расчёт) $\underline{BX}-106$

Перевозчиков В.И., Грибов Л.А.,

Онн. Стеклопрок., 1976, 41(2), 332-4.

Независимый расчёт силовых постолицких
звукопомеховых методик Карти-Фока-
Роотана с дифференциальным методом.

С.А. 1976, 85, N22, 1689734

10, пг. 10-сен 

70120.8803
B,Ch,Ph,TC

40604

1976

F₂

* 45-16289

K p. N 70120.8799

Popkie Herbert E., Kaufman Joyce

J.

Molecular calculations with the MODPOT,
VRDDO, and MODPOT/VRDDO procedures. I.
HF, F₂, HCl, Cl₂, formamide, pyrrole, pyri-

dine, and nitrobenzene.

(cii. HF, III)

"Int. J. Quantum Chem. Symp.", 1976, N 10,
47-57 (АНГЛ.)

750 760

0795 ПМК

ВИНИТИ

61129.3347

Ch, Ph, TC, MGU

30526GR

1976

F₂

X 5-15593

K p. N 61129.3346

Powles J.G., Rickayzen G.

Slow-neutron scattering by molecules. II.
Vibrating homonuclear diatomic molecules.
"Mol. Phys.", 1976, 32, N 2, 323-342

(англ.)

0756 ник

848

709 722

ВИНИТИ

F_2

F_2^-

Чт, 20,
помещ.,
Кривой

Х. 1974
N4

4 Б22. Стабильность иона F_2^- ; модель диссоциативного прилипания. Rescigno T. N., Bender C. F. The stability of the F_2^- ion: a model for dissociative attachment. «J. Phys. B: Atom and Mol. Phys.», 1976, 9, № 11, L329—L332 (англ.)

1976

Чт-

15275

В гауссовом базисе с учетом конфигурац. взаимодействия рассчитаны потенциальные кривые молекулы F_2 и иона F_2^- в основных состояниях. Заполненные орбитали рассчитывались методом ССП, орбиталь $3\sigma_u$ — многоконфигурац. методом ССП, а не заполненные МО были взяты из расчета (РЖХим, 1973, ЗБб). Исследованы 20 различных значений межъядерного расстояния R в диапазоне $R=2-20$ ат. ед. Для энергии диссоциации и равновесного межъядерного расстояния получены значения $D=1,63$ эв, $R_e=2,72$ ат. ед. для F_2 и $D=1,22$ эв и $R_e=3,70$ ат. ед. для F_2^- соотв. Показано, что потенциальные кривые F_2 и F_2^- пересекаются при $R \approx 2,6-2,9$ ат. ед. Сделан вывод о нестабильности F_2^- при R , близких к R_e для F_2 . Рассчитан франк-кондоносский фактор перехода из состояния с нулевым квантовым числом F_2 в колебательный континuum F_2^- . Показано, что резонансное возбуждение в

71

8

несвязывающую часть потенциальной кривой F_2^- при
расстоянии тепловых электронов молекулами F_2 долж-
но приводить с большой вероятностью к диссоциатив-
ному прилипанию электронов к F_2 . Е. Николаев

СР,
и ос
моду

61119.8797
Ph, TC, MGU

30063

F₂

1976

3-15275

Rescigno T.N., Bender C.F., McCurdy
C.W., McKoy V.

Cross sections for the elastic scattering
of low-energy electrons by molecular flu-
orine: an approximate theoretical tre-
atment using discrete basis functions.

"J. Phys. B: Atom. and Mol. Phys.", 1976,
9, N 12, 2141-2146
(англ.)

0750 пык

711 727 422

ВИНИТИ

F₂ | cēsep

1976

Roseusstock H.ell.

Tut. T. Mass. Spectra.
and Joel Plays.

1976, 20, N2-3
139-90.

(A.P.J)

(all H₂) 111

60405.1924

TC, MGU, Ch, Ph

F₂ (3)
30526

1976

X5-12259

Salahub D.R., Messmer R.P., Johnson
K.H. Ionization potentials and bond lengths for CO, N₂, and F₂ using the SCF-X α -SW method: A study of the effect of overlapping spheres. *(см. CO, IV)*

"Mol. Phys.", 1976, 31, N 2, 529-534
(англ.)

0593 зеx

569. 572

ВИНИТИ

1976

F₂

1 Д206. Упругое рассеяние электронов на F₂. Schneider Baggy I., Hay P. Jeffrey. Elastic scattering of electrons from F₂. «J. Phys. B: Atom. and Mol. Phys.», 1976, 9, № 6, L165—L167 (англ.)

В статическом приближении с обменом рассчитаны полные сечения упругого рассеяния электронов на молекуле F₂. Использован R-матричный метод Берке, обобщенный недавно авторами для случая несферич. потенциалов (РЖФиз, 1975, 8Д254, 12Д147). При конструировании кулоновского и обменного потенциалов электрона в поле F₂ было использовано 2 набора орбиталей, полученных в результате самосогласованных расчетов для молекул F₂ и F₂⁻ соответственно. Результаты показывают, что при использовании орбиталей остова F₂ в сечении имеется резонанс симметрии p_σ при энергии 1,8 эв, а при использовании орбиталей остова F₂⁻ резонанса нет. Отсюда сделан вывод, что измерение сечения упругого рассеяния e+F₂ позволит, в частности, установить, существует ли связанный ион F₂⁻.

В. Г. Левин

Упругое
рассеяние

Ф. 1974. № 1

F₂

Slanina Z.

1976

"Collect Czech Chem Commun's"

1976, 41, N₇, 1864-1874 (ann)

(and NF₂; III)

1976

F₂

10 Д84.) Теорема Купменса и учет релаксации MO в *ab initio* расчетах полигалогенидов. Смоляр А. Е., Болдырев А. И., Чаркин О. П., Клименко Н. М., Авдеев В. И. «Ж. структур. химии», 1976, 17, № 2, 214—219

*расчет
электр.
синглет*

В рамках метода Хартри—Фока—Рутана рассчитаны электронные структуры молекул F₂, Cl₂⁻, ClF, ClF₂⁻, ClF₃ в их основных и ионизированных состояниях, когда электроны удаляются с различных молекулярных уровней. Показано, что в расчетах фото- и рентгеноэлектронных спектров соединений непереходных элементов, где наблюдаются случаи нарушения теоремы Купменса, основной причиной несоответствий между экспериментально найденными и рассчитанными последовательностями уровней является не релаксация MO (как у комплексных соединений *d*-элементов), а различия в энергиях корреляции электронов на разных уровнях.

Резюме

Ф. 1976

N 10

1976

F₂

Cl₂

ClF

ClF₂

ClF₃

85: 68570w Koopmans theorem and calculation of MO relaxation in ab initio calculations of polyhalides. Smolyar, A. E.; Boldyrev, A. I.; Charkin, O. P.; Klimenko, N. M.; Avdeev, V. I. (Inst. Nov. Khim. Probl., Moscow, USSR). *Zh. Strukt. Khim.* 1976, 17(2), 214-19 (Russ). Electronic structure and ionization potentials of F₂, Cl₂, ClF, ClF₂⁻, and ClF₃ in their ground and ionized states were calcd. by the Hartree-Fock-Roothaan method. The main cause for the obsd. deviation from the Koopmans' theorem is not MO relaxation (as is the case of transition-metal complexes) but a difference in correlation energy of electrons on different levels.

(J, kb. uet. faere)

④ 4

C.A. 1976 85 n 10

F_2

1974

Arce F., et al.

Rev. Roum. Chim.

Cod. N005

1974, 22 (3), 335-43

(eet. H_2 ; III)

1977

3 Б32. Метод расчета параметров связи в методе ППДП—МО. 2. Предварительные приложения. Bhattacharyya S. P., Chowdhury M. A method for calculating CNDO-MO bonding parameters. 2. Preliminary applications. «J. Phys. Chem.», 1977, 81, № 16, 1602—1604 (англ.)

Методом ССП МО ЛКАО в валентном приближении ППДП, с использованием теор. ф-лы для оценки параметров β в резонансных интегралах из сообщ. 1 (см. пред. реф.) и приближение ППДП/2 для оценки всех остальных метрических элементов рассчитаны потенциалы ионизации (ПИ) и константы ядерного квадрупольного взаимодействия (ЯКВ) двухатомных молекул галогенов и интергалогенов (F_2 , ~~Cl₂~~, Br_2 , J_2 , JCl , JBg , $BrCl$, BrF , CIF) и гидридов (NH_3 , ~~PH₃~~, AsH_3 , NH_4^+ , PH_4^+ , CH_4 , SiH_4 , GeH_4). Для констант ЯКВ согласие с экспериментом очень хорошее, для ПИ в некоторых случаях бывают расхождения, превышающие

+15

cl₂ eesb)

23 1978, K3

1 эв (в скобках приведены эксперим. величины): константы ЯКВ (Мгц) Cl_2 — 105,95 (—109,74), Br_2 751,28 (769,75), J_2 — 2285,5 (—2292,71), ПИ (эв) F_2 15,87 (15,63), 16,32 (17,35), 18,26 (18,46), Cl_2 11,08 (11,50), 13,93 (14,11), 14,05 (15,94), Br_2 10,22 (10,71), 12,52 (12,52), 12,74 (14,44), J_2 9,38 (9,65), 11,39 (11,28), 11,65 (12,79).

К. Я. Бурштейн

F₂

1977

*uccasif.
npu
J.L. yigafe*

87: 46341m Dissociation of fluorine by electron impact. Chen, Hao-Lin; Center, R. E.; Trainor, W.; Fyfe, W. I. (Avco Everett Res. Lab., Inc., Everett, Mass.). *J. Appl. Phys.* 1977, 48(6), 2297-305 (Eng). By using a previously developed F-atom diagnostic technique, the efficiency of F₂ dissociation by an electron beam or an electron-sustained discharge was systematically studied. By monitoring the transient concn. of ions generated during the electron-beam-sustained discharge, F⁻ + F₂⁺ ion-ion recombination and F₂ dissociation rate consts. at various E/P conditions were detd. The dissociative attachment rate const. of F₂ at an av. electron energy of 1 eV was about $(2.3 \pm 0.3) \times 10^{-9}$ cm³/mol. s⁻¹ and increased with decreasing electron energy. The F⁻ + F₂⁺ → 3F recombination rate const. at an E/P of 18 kV/cm/atm was about $(1.5 \pm 0.2) \times 10^{-8}$ cm³/mol. s⁻¹ and also increases with decreasing E/P values. The sustained-discharge enhancement of F-atom prodn. from these expts. in F₂ is small, ~1.7.

C.A. 1977. 87 n 6

70421.3756
Ch, Ph, TC

49587

1977

F₂

X 5-18055

Driesler Frank, Kutzelnigg Werner. Analysis of the chemical bond.

II. Examination of some-empirical methods. "Theor. chim. acta", 1977, 43, N 4, 307-328 (англ.)

0858 ПМК

ВИНИТИ

824 829 849

1977

F₂
(γ)
φ, 1979
n 11

11 Д163. Обобщение теоремы Купманса. IV. Использование коррелированных волновых функций для вычисления потенциалов ионизации молекулы фтора. Ellenbogen James C., Day Orville W., Smith Darwin W., Morrison Robert C. Extension of Koopmans' theorem. IV. Ionization potentials from correlated wavefunctions for molecular fluorine. «J. Chem. Phys.», 1977, 66, № 11, 4795—4801 (англ.)

Методом МК ССП проведены расчеты потенциалов ионизации (ПИ) молекулы фтора. При этом для вычисления ПИ использован аналог теоремы Купманса (ТК), расширенной на случай описания системы многоконфигурационной волны ф-цией (МКВФ). Расчет ПИ молекулы фтора представлял интерес по той причине, что предсказанный согласно обычной ТК порядок следования ПИ электронов с орбиталей $3\sigma_g$ и $1\pi_u$ не совпадал с экспериментальным, что приписывалось не учету электронной корреляции в рамках одноконфигурационного приближения. Использование МКВФ и расширенной ТК позволило авторам учесть влияние корреляционных эффектов на величину ПИ и получить значения ПИ, близкие к экспериментальным. Ч. З РЖФиз, 1976, 6Д20.

А. Обухов

ФСУ 749

F₂

1974

20 Б17. Обобщение теоремы Купманса. IV. Потенциалы ионизации молекулы фтора, полученные с помощью коррелированных волновых функций. Ellenbogen James C., Day Orville W., Smith Dargwin W., Morrison Robert C. Extension of Koopman's theorem. IV. Ionization potentials from correlated wavefunctions for molecular fluorine. «J. Chem. Phys.», 1977, 66, № 11, 4795—4801 (англ.)

(у) Рассмотрен вопрос о расчете потенциалов ионизации (ПИ) в рамках многоконфигурац. подхода Даса — Вола. Отмечено, что техника натуральных орбиталей перехода (НОП) позволяет построить вариац. метод определения волновой функции иона как свертки точной или приближенной волновой функции молекулы с НОП (см. пред. сообщ., Int. J. Quant. Chem. Symp., 1975, 9, 229). Определение ПИ в рамках этого подхода сводится к реше-

Х. 15.7.7
№ 26

нию вековой задачи для обобщенного хартри-фоковского
нелокального потенциала с весом, равным матрице плот-
ности 1-го порядка для молекулы. Метод применен для
анализа причин неудач применения теоремы Кулманса
в ее стандартном варианте для определения ПИ моле-
кулы фтора в равновесной конфигурации основного
состояния. Исследована зависимость результата расчета
валентных и остовых ПИ от числа конфигураций в
волновой функции молекулы. Указано, что метод позво-
ляет получить удовлетворительное согласие с эксперим.

данными. Анализируются возможные источники ошибок
метода.

В. И. Пупышев

(ИВИ
ВГ)

F₂

[Lounm 5315]

1977

Fontal B, et al.

Spectrochim. Acta, 1977,
33A, 507-15.

(no. 3113 year
Ranunculus - ciliatus)

F_2

ommduu 9476

1974

Gunnarsson O., et al.

paper
method.
of cocaine.

J. Chem. Phys., 1977,
67 N9, 3970-3979.

(cell. B_2 ; H_2)

1977

F₂

Gunnarsson O., et al.

Int. J. Quantum Chem.,
1977, Quantum chem. Symp.,
NII, 7I-74.

(eu. B₂; II)

F_2

1974

Gunnarsson O., et al.

(u.n.)
 χ_e)

Phys. Rev B: Solid
State, 1974, 15, (6),
3024 - 38



(uu. H_2 ; \overline{III})

\mathcal{I}_2

ommunic 5757

1974

($\bar{\delta}\bar{e}, \gamma$)

Lowe J.P.

J. Amer. Chem. Soc.
1977, 99, (17), 5557-70.

1977

F₂

Von Nieszen W et al.

KB. uex.
pacem.

J Chem. Phys. 1977, 67(9),
4124-31.

cell. №-III

F_2

Ф4-17498

1977

13 Б30. Метод уравнений движения для F_2 : энергии переходов, силы осцилляторов и борновские сечения. Rescigno T. N., Bender C. F., Mc Koу B. V. The equations-of-motion method for F_2 : transition energies, oscillator strengths and Born cross sections. «Chem. Phys. Lett.», 1977, 45, № 2, 307—310 (англ.)

См. 12087
Методом ур-ний движения рассчитаны энергии переходов, силы осцилляторов и дифференциальные борновские сечения для молекулы F_2 при эксперим. равновесном расстоянии 2,68 ат. ед. основного состояния. Волновая функция основного состояния найдена либо в приближении Хартри—Фока, либо в приближении конфигурац. взаимодействия (КВ) с учетом однократно возбужденных конфигураций. Базис включал сгрупп-

т. 1977. 11/3

тированные гауссовые функции [3s 2p], а также дополнительные диффузные орбитали *s*- и *p*-типа и поляризационные функции *d*-типа. Оператор возбуждения составлен как линейная комбинация простых операторов «1 частица—1 дырка». Введение КВ приводит к завышенным (на несколько электрон-вольт) значениям энергий переходов по сравнению с лучшими расчетными результатами, имеющимися для синглетных переходов. Для достаточно точного расчета моментов перехода и для устранения в ряде случаев триплетной нестабильности введение КВ оказывается необходимым. Для ряда переходов приведены графики изменения обобщенной силы осциллятора как функции переноса импульса.

М. Е. Ерлыкина

F₂

7 Д161. Метод уравнений движения для F₂: энергии переходов, силы осцилляторов и борновские сечения.
Rescigno T. N., Bender C. F., Mc Koy B. V. The equations-of-motion method for F₂: transition energies, oscillator strengths and Born cross sections. «Chem. Phys. Lett.», 1977, 45, № 2, 307—310 (англ.)

1977

Методом ур-ний движения проведен расчет энергий переходов, сил осцилляторов и диффер. борновских сечений для молекулы F₂ при эксперим. равновесном расстоянии $R_e = 2,68$ ат. ед. основного состояния. Оператор возбуждения записан как линейная комбинация простых частиочно-дырочных компонент, тогда как воли. ф-ция основного состояния определена либо в приближении Хартри — Фока, либо в приближении конфигурац. взаимодействия с учетом однократно возбужденных конфигураций. Найдено, что при введении конфигурац. взаимодействия расчетные значения энергий переходов увеличиваются и для переходов в синглетные состояния становятся на несколько электрон-вольт выше лучших теоретич. значений, определенных для молекулы F₂ прямым методом конфигурац. взаимодействия, что объясняется отсутствием учета операторов возбуждений типа «2 частицы — 2 дырки». Для различных переходов приведены графики зависимости обобщенной силы осциллятора от величины переноса импульса. Н. Ф. Степанов

аналогичный метод
уровни
взаимодействия

1977

Ф. 1977. № 7

F₂

Omniscient 6051

1977

Kb ucr.

Roskamp et al.
et al.

faeet

Int. J. React. Chem.

1977, 12, 404-19.

К-45-18035

1977

F₂

Cl₂

Br₂

J₂

и и; г

(+3)

⊗

Х. 1977. N16

16 Б20. Неэмпирические псевдопотенциалы для молекулярных расчетов. II. Расширение базисной системы и корреляционные эффекты для молекул X₂ (X=F, Cl, Br, J). Teichteil Ch., Malrieu J. P., Barthelat J. C. Non-empirical pseudopotentials for molecular calculation. II. Basis set extension and correlation effects on the X₂ molecules (X=F, Cl, Br, J). «Mol. Phys.», 1977, 33, № 1, 181—197 (англ.)

На примере расчетов св-в молекул F₂, Cl₂, Br₂ и J₂ методом неэмпирич. атомных псевдопотенциалов (Сообщ. I, см. пред. реф.) исследовано влияние базиса на получаемые результаты и возможности учета корреляц. эффектов в приближении псевдопотенциалов. Расчеты проведены в миним. базисе орбиталей слейтеровского типа, двухэкспонентном базисе слейтеровских орбиталей и двухэкспонентном базисе с включением поляризац. ф-ций. Показано, что расширение базисной системы сильно влияет на одноэлектронные энергии, напр., уровни 5σ_g и 2π_u молекулы Cl₂ меняются местами при пере-

ходе от миним. к двухэкспонентному базису. Корреляц. поправки рассчитаны методом конфигурац. взаимодействия. При этом получаемые в приближении атомных псевдопотенциалов коэф. перед функциями конфигураций в волновых ф-циях весьма близки к соотв-щим коэф., вычисл. методом конфигурац. взаимодействия при учете всех электронов. Корреляц. энергия приближения псевдопотенциалов превышает точную на $\sim 10\%$; потенциалы ионизации и энергия диссоциации молекулы J_2 лучше согласуется с экспериментом, чем значения, полученные в расчетах с учетом всех электронов. Найдено, что энергии диссоциации рассмотренных молекул увеличиваются в ряду F_2, J_2, Br_2, Cl_2 , что согласуется с экспедим. данными.

А. Дементьев

FCS-18035

1977

F_2

Cl_2

Br_2

I_2

(nb, ex.
pacter)

C. A. 1977

87 w4.

87: 29389r Nonempirical pseudopotentials for molecular calculations. II. Basis set extension and correlation effects on the fluorine, chlorine, bromine, and iodine molecules. Teichteil, Ch.; Malrieu, J. P.; Barthelat, J. C. (Lab. Phys. Quant., Univ. Paul Sabatier, Toulouse, Fr.). *Mol. Phys.* 1977, 33(1), 181-97 (Eng). The ability of the at. pseudopotential of B. et al. (1977) to reproduce all-electron basis-set extension and correlated effects in mols. is tested on Cl_2 and F_2 by comparing pseudopotential and all-electron calcns. at the CI and SCF levels using 3 basis sets. The pseudopotential-derived monoelectronic energy levels, bond lengths, and force consts. have a perfect basis-set dependence. The coeffs. of the excited determinants in the ground-state wave function resulting from limited CIs agree well. The pseudopotential calen. reproduces correlation effects on bond lengths and force consts. but overests. the total correlation energy by 10%. Basis-set effects on the total energy are smaller in the pseudopotential than in the all-electron calcns. Pseudopotential extended double- $\xi + d$ basis set calcns. including CI were performed on Br_2 and I_2 , the mean agreement with expt. for I_2 being better than that for all-electron calcns. The calcd. dissociation energies of the halogens are in the order $Cl_2 > Br_2 > I_2 > F_2$.

(+3)



F_2

Cl_2

74-18035

1977

9 Д155. Неэмпирические псевдопотенциалы для молекулярных расчетов. II. Расширения базисных наборов и корреляционные эффекты для молекул X_2 ($X=F, Cl, Br, J$). Teichteil Ch., Malrieu J. P., Barthelat J. C. Non-empirical pseudopotentials for molecular calculation. II. Basis set extension and correlation effects on the X_2 molecules ($X=F, Cl, Br, J$). «Mol. Phys.», 1977, 33, № 1, 181—197 (англ.)

Ограничением методом Хартри — Фока и методом конфигурац. взаимодействия проведены расчеты молекул F_2 и Cl_2 в основных состояниях как при учете всех электронов, так и в приближении псевдопотенциала (ПП) с параметрами ПП, приведенными в ч. I (см. реф. 2Д154). Для каждой молекулы использовано 3 типа базисов: минимальный, оптимизированный по молекулярным расчетам, минимальный и атомный двух-

(+)

Ф 1977 № 9

экспонентный базисы для F_2 и минимальный атомный, двухэкспонентный атомный для 3s- и 3p-орбиталей, а также расширенный 3d-орбиталями атомный базис для Cl_2 . Сравнение результатов приближения ПП и расчетов с учетом всех электронов проведено по орбитальным энергиям валентной оболочки, по изменениям в полной энергии при переходе от одного базиса к другому, а также по равновесным расстояниям и силовым постоянным. При расчетах методом конфигурац. взаимодействия сопоставлялись также коэф. перед соответствующими наиболее важными конфигурациями. Приведена сводка результатов расчетов в том же приближении ПП молекул Br_2 и J_2 . Отмечено хорошее согласие полученных данных с данными прямых расчетов, не использующих приближения ПП.

Н. Степанов

F_2

Lemnaea 8415 | 1978

Asundi R.R., et al.

63sp.

Spes. noct.
Crantz Baccharis
fazziniensis

Indian J. Pure
and Appl. Phys.
1978, 16, 135-141

1978

F₂

Гусев Т. А., 48.

г. Зеленогорск, 13 Всес. Чукав. собр. по землем.
стяжки "Коллекц. соедин., 1978" лл.,
1978, 113

лл. О₂ - II

✓) 7 Б8. Исследование электронной структуры молекул
самосогласованным дискретным вариационным X_α -методом в базисе численных хартри-фоковских функций. I.
Общее описание процедуры. Гуцев Г. Л., Левин А. А. «Ж. структур. химии», 1978, 19, № 6,
976—981

Предложен вариант дискретного вариационного (ДВ) метода, допускающий применение произвольных базисных ф-ций, заданных в табличной форме. Выбор «репрезентативных» точек, взвешенные суммы по к-рым заменяют в методе ДВ. молек. интегралы, осуществляется не стохастически, как в оригинальном варианте метода (Phys. Rev., 1970, B2, 2887; Chem. Phys., 1973, 2, 41, 52), а регулярным способом, что позволяет устранить «перекос», возникающий при вычислении матричных элементов, электронной плотности и др. св-в. В многоцентровом массиве точек сохраняются только те точки одноцентровых массивов, к-рые ближе к «своему» атому (с учетом реальных атомных радиусов). Самосогласованный вариант предложенной процедуры апробирован путем вычисления в рамках концепции переходного состояния первых потенциалов ионизации молекул F_2 , O_2 , HF , H_2O и CH_4 . Е. Розенберг

(7)

14

2.10.1978 N 7

BX-1314

1978

HF, F₂, HCl, LiCl, Cl₂
(KJ. week. protein)

May Pg Wadt W.R., Kahr d.R.,

J. Chem. Phys. 1978, 68(7), 2059-66.

Ab initio effective core potential,
for molecular calculations.

CA. 1978, 23, N26, 198109a

HO.



1978

F₂

Hollman, Peter A.

J. Am. Chem. Soc. 1978,
100(10), 2974-84

paenfeger.
zapaga



cis. HF - III

F_2 Yuvia M., Iudena & V. 1978.

Int. J. Quant. Chem., 1978,
14, n1, 1-11.

расшиф.
зарезов.



(авт. h_2) III

BX-1369

1978

Li₂, Be₂, Ba, Cl₂, Na, O₂, F₂,
P₂, Cl₂ (2e, K.S. sect. pacien)

Mehandru S.P., Ray N.K.,

Indian J. Chem., Sect. A 1978, 16A(3)
247-9.

Use of a Fausti C an-based model no-
tential within FS60 formulation
C.A. 1978, 89, N₄, 311462

TO ⓐ

1978

Perevozchikov V.Y. et al

F₂

Opt. Speriment. 1978

Chem. noct.

45(2), 407-2¹



(Cu²⁺; $\underline{\text{m}}$)

BX-1821

1978

LiH, FH, BH, H₂, NH,
F₂, CH^t (см. пост.)

Перевозчиков В.И., Чубов Л.А.,
дл. прикл. спектроск. 1978, 29(5),
927-8.

Использование алг^р оксии. потенц.
Кривой ф-ии Морзе в расчёте си. зои
С.А. 1979, 90, N8, 63697m

Ю



F_2 Omnicell 6498 1978
 Ramakrishna et.
 et al.
G. N. (acrylic)
grecogelat. Chem. Phys. Lett.
1978, 54 (4), 534-60.

1978

 F_2

ЗД294. Вакуумные УФ-спектры испускания искрового разряда в смесях фтора и некоторых многоатомных фторидов с инертными газами. Scheeps R., Ryan F. M. Vacuum ultraviolet spark emission spectra of fluorine and some polyatomic fluorides in noble gases. «Chem. Phys. Lett.», 1978, 58, № 3, 417—420 (англ.)

Вакуумные УФ-спектры испускания искрового разряда в смесях (F_2 , SF_6 , SO_2F_2 , NF_3 , CH_3F , N_2F_4 и BF_3)/ $/He/Ar$ исследованы с точки зрения определения опти-

мальных условий образования эксимеров ArF . Обнаруженное в ходе экспериментов излучение $\lambda=158$ нм в смесях F_2/He , F_2/Ne и в чистом F_2 приписано переходу $F_2(^3P_g - ^3P_u)$.

Б. С. Иванов

 $^3P_g - ^3P_u$
переход

9.1979, N3

19.7.8

F₂
Ni

7 Б1503. Возбуждаемые в искровом разряде спектры испускания в вакуумной ультрафиолетовой области фтора и некоторых многоатомных фторидов в смесях с благородными газами. Scheps R., Ryan F. M. Vacuum ultraviolet spark emission spectra of fluorine and some polyatomic fluorides in noble gases. «Chem. Phys. Lett.», 1978, 58, № 3, 417—420 (англ.)

В области 120—200 нм при разрешении 0,01—0,15 нм исследованы спектры испускания, возбуждаемые искровым разрядом в ряде фторсодержащих газов (F_2 , SF_6 , SO_2F_2 , NF_3 , CH_3F , N_2F_4 , BF_3) в смесях с 700 мм He и 2—20 мм Ar. Кроме того, исследовали излучение при 158 нм в смесях F_2+He , F_2+Ne и в чистом F_2 . Интенсивность этого излучения измеряли в зависимости от плотностей F_2 и благородных газов с целью выяснения механизма заселения соотв-щего возбужденного уровня F_2 . Искровой разряд (длительность импульса 150 нсек, сила тока 200 а) происходил в зазоре 1 мм между Ni-электродами с частотой 20 Гц. Для большинства тройных смесей наблюдали эксимерное излучение ArF , к-рое было наиболее интенсивным в смесях, со-

22.10.78, N.Y.

держания. Это же обнаруживается в смесях фреонами либо об интенсивность, по крайней мере, в 100 раз выше, чем для смесей с F_2 . Зависимость интенсивности эксимерной флуоресценции ArF от типа донора фтора коррелирует с известными из литературы данными по аналогичным зависимостям, полученным для эксимерных лазеров на KrF и XeF . Это показывает, что методика возбуждения спектров испускания ArF в искровом разряде может использоваться для отбора фторсодержащих молекул, перспективных с точки зрения их использования в эксимерных лазерах. В чистом F_2 и его смесях с He и Ne (но не с Ar) наблюдали полосу испускания 158 нм, края предположительно приписана переходу $F_2(^3\Pi_g \rightarrow ^3\Pi_u)$. Подобный переход $^3\Pi_{2u} \rightarrow ^3\Pi_{2g}$ при 301,5 нм предположительно был обнаружен ранее для молекулы J_2 .

В. Е. Скурат

ают
чаче

F₂

оттиск 6695

1978

1Д121. Потенциальные кривые и электронные фото-
переходы молекулы F₂. Шляпников Г. В., Шмата-
тов И. П. «Оптика и спектроскопия», 1978, 45, № 3,
487—492

Исследованы потенц. кривые различных электронных
состояний молекулы F₂. Показано, что возбужденные
термы $^3P_{0+u}$, $^3P_{1u}$ и $^1P_{1u}$ имеют «ямы» с глубиной
 $\sim 200^\circ\text{K}$. Обсуждается возможность эксперим. подтвер-
ждения полученных результатов.

Резюме

*ромед.
хрибое*

ф. 1979, № 1

F₂

1978

18 Б16. Теория молекулярных орбиталей для комптоновского профиля молекулы F₂. Snyder L. C., Weber T. A. Molecular orbital theory of the Compton profile of F₂. «J. Chem. Phys.», 1978, 68, № 6, 2974—2979 (англ.)

Для молекулы F₂ с использованием волновых функций метода Хартри—Фока рассчитаны зависящие от направления и сферически усредненные комптоновские профили (КП). С целью облегчения физ. интерпретации теор. КП представлены в виде суммы вкладов от а) валентных и остовых электронов, б) σ- и π-электронов, в) атомных и дифракц. частей. Отмечена большая анизотропия КП молекулы F₂, достигающая 10% от величины всего профиля. Вклад в анизотропию КП вносят как атомные, так и дифракц. части, причем эти вклады одного порядка. Показано, что дифракц. эффект в сферически усредненном КП составляет ~1/6 от величины КП в направлении, параллельном оси молекулы, что несколько выше уровня шума в современных экспериментах по комптоновскому рас-

*теория
молекул
орбиталей*

2, 1978, N 18

сиянию. Дифракц. эффект использован для определения длины связи F—F. Найденное т. обр. значение превышает эксперим. величину на ~5%.

В. Б. Павлов-Веревкин

РУССКАЯ
ЛІГА

F₂

3 Б16 Деп. Аномальное поведение потенциальны-
х кривых молекулы $F_2(X^1\Sigma_g^+)$ в методе МО. Абба-
сов Р. М. Б. «Материалы конф. молод. ученых, по-
свящ. 60-летию ВЛКСМ. Москва, 1978 г. Ч. 2». МГУ.
М., 1979, 329. (Рукопись деп. в ВИНИТИ 5 ноября
1979 г., № 3783—79 Деп.)

1979

Показано, что аномальный характер потенциальной
кривой состояния $X^1\Sigma_g^+$ молекулы F_2 в рамках мето-
да ССП МО ЛКАО тесно связан с триплетной неустой-
чивостью решений ур-ний Хартри—Фока и ограниче-
ниями на вид волновых функций метода ССП.

Автореферат

12071880.
Красильщиков

2.1980.№3

F₂

Lemnaceae 918D1 1979

Brescansin L. et.
et al.

paeter
monoceros.
republik,
Yido; Yé

J. Chem. Phys., 1979,
71 (12), 4923-30

see 142, III

F₂

7986

21 Б31. Теоретические исследования валентных электронных состояний и спектра поглощения ${}^1\Pi_u \leftarrow {}^1\Sigma_g^+$ молекулы F₂. Cartwright David C., Hay P. Jeffrey. Theoretical studies of the valence electronic states and the ${}^1\Pi_u \leftarrow {}^1\Sigma_g^+$ absorption spectrum of the F₂ molecule. «J. Chem. Phys.», 1979, 70, № 7, 3191—3203 (англ.)

Методами обобщенных валентных схем (ОВС) и конфигурац. взаимодействия (КВ) рассчитаны потенциальные кривые 12 синглетных и триплетных состояний молекулы F₂, коррелирующие с диссоциацией пределом F(²P) + R(²P). Использован базисный набор (9s5p1d)/[3s2p1d], который в случае П-состояний был дополнен диффузными s- и p-орбиталями. Рассмотрены два способа построения молек. волновых ф-ций на основе орбиталей, полученных в двухконфигурац. приближении метода ОВС. В 1-м случае учитывалось полное КВ в пространстве орбиталей ОВС с размещением 14 электронов по 8 внешним МО ($1\sigma_g$ - и $1\sigma_u$ -орбитали F₂ сохранялись дважды занятymi). Во 2-м случае до-

гот. Ильин
Красильщ.

Х-19.49, N21

полнительно учитывались конфигурации, содержащие 1 электрон вне подпространства валентных орбиталей (метод поляризац. КВ). Для всех состояний энергии 2-го подхода оказались ниже, поэтому предпочтение отдано результатам метода поляризац. КВ. Из рассмотренных состояний связанными оказываются только два. Для основного состояния $X'\Sigma_g^+$ получены след. спектроскопич. постоянные: $R_e=1,427$ Å (эксперим. величина 1,412), $D_e=1,85$ эв (1,66), $\omega_e=946$ см⁻¹ (924), $\omega_{ex}=-10,6$ см⁻¹ (-22,2). Завышение энергии связи на 0,2 эв объясняется недостаточным учетом корреляц. эффектов в рамках метода поляризац. КВ. Другое (слабо) связанное состояние $^3\Pi_u$ характеризуется след. постоянными: $R_e=1,881$ Å, $D_e=0,15$ эв. Отмечено, что именно валентное состояние $^3\Pi_u$ является низшим состоянием для F₂-лазера с излучением при 156—158 нм. Приведены результаты вычислений квадрупольного момента и градиента электрич. поля на ядрах в зависимости от межъядерного расстояния. Подробно обсуждены особенности спектра поглощения F₂, связанного с оптически разрешенным переходом $^1X\Sigma_g \rightarrow ^1\Pi_u$. Вычислена зависимость момента перехода от межъядерного расстояния, результаты сопоставлены с эксперим. данными и сделано заключение, что при фотопоглощении в области 2800 Å состояние $^3\Pi_u$ не участвует, как это допускалось ранее.

А. В. Немухин

1979

F₂

(M, N)

91: 11446e Theoretical studies of the valence electronic states and the $^1\Pi_u \leftarrow X^1\Sigma_g^+$ absorption spectrum of the fluorine molecule. Cartwright, David C.; Hay, P. Jeffrey (Los Alamos Sci. Lab., Univ. California, Los Alamos, NM 87545 USA). *J. Chem. Phys.* 1979, 70(7), 3191-203 (Eng). The 12 electronic states of F₂ dissociating into ground state F(2P) atoms were investigated with ab initio polarization configuration interaction wave functions. Using a [3s2p1d] contracted Gaussian basis, the theor. spectroscopic consts. (with exptl. values in parentheses) for the $^1\Sigma_g^+$ ground state are: $R_e = 1.427 \text{ \AA}$ (1.412 Å), $D_e = 1.85 \text{ eV}$ (1.66 eV), $\omega_e = 946 \text{ cm}^{-1}$ (924 cm⁻¹), and $\omega_e X_e = -10.6 \text{ cm}^{-1}$ (-22.2 cm⁻¹). The $^3\Pi_u$ state is very weakly bound ($R_e = 1.881 \text{ \AA}$, $D_e = 0.15 \text{ eV}$), while the remaining 9 electronic states are strictly repulsive (aside from van der Waals min.). Mol. properties are reported for the $^1\Sigma_g^+$ state and a detailed anal. of the $^1\Pi_u \leftarrow ^1\Sigma_g^+$ absorption is carried out. The $^3\Pi_u$ state appears to be the lower state in the 157 nm laser emission obsd. recently, which would correspond to the $^3\Pi_g \leftarrow ^1\Pi_u$ electronic transition.

C.A. 1979, 91N2

F₂

спектр поглощений кристаллов

1949

10 Д180. Теоретическое изучение валентных электронных состояний и спектра поглощения ${}^1\Pi_u \leftarrow {}^1\Sigma_g^+$ молекулы F₂. Cartwright David C., Hay Jeffrey P. Theoretical studies of the valence electronic states and the ${}^1\Pi_u \leftarrow {}^1\Sigma_g^+$ absorption spectrum of the F₂ molecule. «J. Chem. Phys.», 1979, 70, № 7, 3191—3203 (англ.)

Рассчитаны основное и 11 возбужденных состояний молекулы F₂, получающихся при взаимодействии двух атомов F в состояниях 2P . Расчеты проводились двумя методами: 1) обобщенным методом валентных связей, на который накладывалось КВ, в котором учитывались все возбуждения в валентной области, и 2) методом КВ, в котором к возбуждениям, рассматриваемым в (1), добавлялись конфигурации, содержащие по одному электрону вне валентной оболочки. Использовался базис гауссовых ф-ций ($9s5p1d$), сжатый до [3s2p1d]. Для правильного описания ридберговских состояний во втором случае добавлено по одной диффузной 3s- и 3p ф-ции на каждом центре. Рассчитанные потенц. кривые основного состояния ${}^1\Sigma_g^+$ и вычислен-

Ф.1949/110

ные на их основе спектроскопич. постоянные сопоставлены с данными эксперимента и результатами других авторов. Лучшее согласие отмечается в случае расчетов КВ. Проанализирован характер потенц. кривых возбужденных состояний и найдено, что состояние ${}^1\Pi_u$ является слабо связанным ($R_e = 1,881 \text{ \AA}$, $D_e \approx 0,15 \text{ эв}$), остальные возбужденные состояния отталкивателльные. Рассчитаны положения колебательных уровней основного состояния, квадрупольный момент и градиент электрич. поля на ядрах. Детально проанализировано поглощение, обусловленное электронным переходом ${}^1\Pi_u \leftarrow {}^1\Sigma_g^+$.

В. И. Барановский

F₂

Lommel 8327 1979

KB-peex.
plaeyer
E.

Castro E.A.

Int. J. Quant. Chem.,
1979, I5, 355-358.

F₂

Cl₂

LiCl

номенк.
Кристалл.

(F.2) В

Ф. 1980 N.5

отмеч ск 9153

от: 37914

1979

Д135. Улучшенные неэмпирические оставные потенциалы для молекулярных расчетов. Improved ab initio effective core potentials for molecular calculations. Christiansen Philip A., Lee Yoon S., Pitzer Kenneth S. «J. Chem. Phys.», 1979, 71, № 11, 4445—4450 (англ.)

Исследованы методы расчета молекулярных свойств при использовании эффективных потенциалов для оставных электронов. Показано, что хорошее согласие модельных расчетов с неэмпирическими учитывающими все электроны может быть достигнуто только, если атомные псевдоорбитали приводят к распределению зарядов в области валентных электронов, согласующимся с полным расчетом. Предложена простая процедура построения

ния псевдоорбиталей, основанная на расчетах атомов в хартри-фоковском приближении. Развитый подход проиллюстрирован на примере расчета потенц. кривых для основных состояний молекул F_2 , Cl_2 , $LiCl$. Полученные результаты находятся в хорошем согласии с результатами неэмпирич. расчетов, учитывающих все электроны. В отличие от ранее использованных методов, использующих псевдопотенциалы, хорошее согласие с полным неэмпирич. расчетом достигнуто и в области малых межъядерных расстояний, соответствующей отталкивательной части потенц. кривой.

Е. А. Жилинская

мат

Омск 9153, 01.37914 1979

F₂
Cl₂
dil
№. нех.
расчет
42
X 1980 № 13

13 Б9. Улучшенные неэмпирические эффективные оставные потенциалы для молекулярных расчетов. Christiansen Phillip A., Lee Yoon S., Pitzer Kenneth S. Improved ab initio effective core potentials for molecular calculations. «J. Chem. Phys.», 1979, 71, № 11, 4445—4450 (англ.)

Обсуждено использование атомных псевдопотенциалов (АП) типа Филлипса-Клеймана в молек. расчетах. Отмечено, что полученные в ряде расчетов двухатомных молекул заниженные значения межъядерных расстояний и завышенные энергии диссоциации обусловлены частичным «коллапсом» в оставной области псевдоорбиталей (ПО), построенных по станд. схеме (в виде линейной комбинации подходящих по симметрии оставных орбиталей и соотв-щих валентной орбитали). Предложена альтернативная схема построения ПО: в валентной области ПО в точности совпадают с валентными орбиталами: в оставной области ПО выбраны (с помощью по-

линомиального представления) так, чтобы первые три пр-ные были непрерывными в «переходной» области и ПО $\chi(v)/p^l \rightarrow 0$ при $r \rightarrow 0$. Параметры АП выбраны так, чтобы ПО соответствовали хартри-фоковские значения орбитальных энергий. Неэмпирич. МО ЛКАО ССП методом с использованием АП проведен расчет потенциальных кривых для основного состояния F_2 , Cl_2 , $LiCl$. ПО аппроксимированы 4 гауссовыми ф-циями (с добавлением в молек. базис поляризац. ф-ций). Отмечено хорошее согласие с результатами неэмпирич. МО ЛКАО ССП расчета с учетом всех электронов. Проведено также сопоставление с расчетами, в к-рых использованы другие АП. Предложенный АП особенно хорошо (по сравнению с другими АП) передает форму потенциальных кривых при малых межъядерных расстояниях.

О. Гриценко

F_2

Lowman 85-14

1979

de Frees D.J.; et al.

paper

published

in *Science*

J. Amer. Chem. Soc.

1979; 101(15)4085-89



(cell. H_2 ; --)

F₂ 1347-81 - 6249 1979
Dunlap B.J. et al

ll.n.

KB. recd.

paores

Y_c, R₀

J. Chem. Phys., 1979, 71, n12,
4993-9.

See H₂; III

J-X
f₂

1979

Engelbre F.

Chapt

Kleinman

Chem. Phys. Lett., 1979,
65(3), 564-568

(see. Ref. I, II)

1979

F₂

Fantucci P.

(u.n)

Mol. Phys., 1979
37 (3) 839-41



(eu. CH₄; "—")

1979

4 Б30. Исследование электронной структуры моле-

кул самосогласованных дискретным вариационным X_{α} -методом в базисе численных хартри-фоковских функций. III. Расчет потенциалов ионизации малых молекул. Гуцев Г. Л., Левин А. А. «Ж. структур. химии», 1979, 20, № 5, 771—780

Дискретным вариац. методом в базисе численных хартри-фоковских функций с аппроксимацией электронной плотности суммой сферически симм. «атомных» распределений рассчитаны потенциалы ионизации (ПИ) молекул F_2 , O_2 , N_2 , CO , NF , H_2O , NH_3 , CH_4 и CF_4 . Рассчитанные значения ПИ сопоставлены с эксперим. данными, а также с расчетами, проведенными др. методами. Отклонение вычисленных ПИ от эксперим. значений в основном не превосходит 1 эВ. Исследована зависимость вычисленных ПИ от характера базиса. Сообщ. II см. «Ж. структур. химии», 1978, 19, 982.

Резюме

(3)
Др. структур.
БР
11-6332

(48)

2.1980.№4

БР-Х1-6332

1949

F.2
(+)
(-)

2 Д122. Исследование электронной структуры молекул самосогласованным дискретным вариационным Х-методом в базисе численных хартри-фоковских функций.
III. Расчет потенциалов ионизации малых молекул.
Гуцев Г. Л., Левин А. А. «Ж. структур. химии»,
1979, 20, № 5, 771—780

Дискретным вариац. методом в базисе численных хартри-фоковских ф-ций с аппроксимацией электронной плотности суммой сферически-симметричных «атомных» распределений рассчитаны потенциалы ионизации (ПИ) молекул F_2 , O_2 , N_2 , CO , HF , H_2O , NH_3 , CH_4 и CF_4 .
Ч. II см. Гуцев Г. Л., Левин А. А. «Ж. структур. химии». 1978. 19. 982.

18

оп. 1980.12

B9-X1-633d 1949

F₂

769s Study of the electron structure of molecules by a self-consistent discrete variational X(alpha) method as the basis of numerical Hartree-Fock functions. III. Calculation of ionization potentials of small molecules. Gutsev, G. I.; Levin, A. A. (Inst. Khim. Fiz., Chernogolovka, USSR). *Zh. Strukt. Khim.* 1979, 20(5), 771-80 (Russ.). The calen. method of G. and L. (1978) is used. Results are reported for F₂, O₂, N₂, CO, HF, H₂O, NH₃, CH₄, and CF₄.

(y)

Xb. recd.
pacres.

+8

☒

○

C.A.1980.22.NZ

F₂

1979

Hohla K. et al.

checkup
greyopesus.

Opt. and laser Teeklon.,
1979, 11, n 6, 305-310 (auer.)



(auer. Clf'; III)

F₂

Lommel 8459 1979

Kitaura K., et al.

M.N.

Chem. Phys. Lett

1979, 65(2), 206-211

F₂

ommucu 84801 1949

Komarovskiy Daniel D.
et al.

peacock
notemus
spalax

Chem. Phys. Lett. 1949, 65,
N3, 494-99.

coll. B₂-III

F₂

*расчет
(γ)*

⑦

9/19/99 NIZ

12 Д113. Приближение ППДП для расчета вертикальных потенциалов ионизации методом функции Грина. The CNDO approximation in the Green's function method for VIP calculation. Liegener Christoph-Maria, Scherz Udo. «Theor. Chim. acta», 1979, 52, № 2, 103—111 (англ.)

Разработана методика расчета вертикальных потенциалов ионизации (ВИП) молекул методом ф-ции Грина с использованием приближения ППДП. Особое внимание обращено на то, чтобы вносимые приближения не изменяли аналитич. поведения собственной энергетич. части M , которая предполагается почти диагональной. При переходе к приближению ППДП перенормировка не производилась (во входящих в M диаграммах все двойные линии просто заменялись простыми). Электрон-электронное отталкивание описывалось с помощью единого усредненного параметра γ . Описана итерационная процедура расчета ВИП. В качестве примеров рассчитаны ВИП F_2 , HF, C_2F_4 , CH_2F_2 , BF_3 , CH_3F и CF_4 . Введение многочастичных поправок заметно уменьшает рассчитанные в приближении ППДП ВИП по абсолютной величине, причем согласие с экспериментом заметно улучшается.

О. В. Сизова

F₂

1949

91: 129328w The CNDQ approximation in the Green's function method for VIP calculation. Liegener, Christoph Maria; Scherz, Udo (Inst. Theor. Phys., Tech. Univ. Berlin, 1000 Berlin, 12 Fed. Rep. Ger.). *Theor. Chim. Acta* 1973, 52(2), 103-11 (Eng). By introducing a CNDQ adapted approx. into an appropriate irreducible interaction part, a simple formula for calcn. of vertical ionization potentials is derived. The method is applied to the mols. F₂, HF, C₂F₄, CH₂F₂, BF₃, CHF₃, CF₄.

(y)

+6



P.A. 1949 9/116

F₂

(y)

— 23 Б79. Приближение ППДП в методе функций Грина для расчета ВПИ. Liegener Christoph Maria, Scherz Udo. The CNDO approximation in the Green's function method for VIP calculation. «Theor. Chim. acta», 1979, 52, № 2, 103—111 (англ.)

С использованием валентного приближения ППДП в методе функций Грина, разработан простой способ расчета поправок к теореме Купменса для вертикальных потенциалов ионизации (ВПИ). Показано, что в приближении ППДП ряд теории возмущений для поправки к ВПИ может быть просуммирован с помощью функций Грина, в результате чего получена ф-ла очень простого вида, к-рая пригодна для практич. расчетов.

Предложенный метод применен к расчету ВПИ молекул F_2 , HF , C_2F_4 , CH_2F_2 , BF_3 , CH_3F и CF_4 . Получено хорошее согласие с экспериментом (эв, в скобках приведены эксперим. величины): В F_31e'' 16,05 (16,68), $3e'$ 16,55 (17,13), $1a_2'$ 15,98 (15,95), $2e'$ 19,89 (20,14), $2a_1'$ 20,94 (21,4), $2a_2''$ 21,34 (19,06), $\text{CF}_4 4t_2$ 16,99 (17,40), $1t_1$ 17,32 (16,20), $1e$ 18,21 (18,50), $3t_2$ 23,38 (22,12), $4a_1$ 25,58 (25,12). Показано, что учет поправок при расчете ВПИ улучшает согласие с экспериментом.

К. Я. Бурштейн

(+6)

Х-1979/123

F₂

Lomnica 9746 / 1979

Mehandru S.P.
et al.

habrobees,
maceefal,
Ye

Proc. Indian Nat.
Sci. Acad., 1979,
A45 (5), 367 - 74.

F₂

*помечал,
красил,
М.Н.*

1979

15 Б19. Методы ЛКАО в X_{α} -формализме: сравнение результатов для молекулы F_2 . Mintmire J. W. LCAO methods in the X_{α} formalism: comparison of results for the F_2 molecule. Proceedings of the International Symposium on Atomic, Molecular, and Solid-State Theory, Collision Phenomena, Quantum Statistics, and computational Methods, Flagler Beach, Fla, March 11—17, 1979. «Int. J. Quantum Chem.», Quantum Chem Symp. № 13, 162—168 (англ.)

Методом ЛКАО- X_{α} с использованием базиса гауссовых функций (ЛКАО- X_{α} -ГФ) рассчитана потенциальная кривая и спектроскопич. постоянные молекулы F_2 . Электронная плотность молекулы аппроксимирована разл. по одноцентровым гауссовым ф-циям, центрированным на ядрах и на средине длины связи. Коэф. разл. определены из условия минимума разности электростатич. энергий отталкивания, рассчитанных с исполь-

Х 1980 № 15

зованием точной и аппроксимированной электронной плотности. Вычисл. значения равновесного расстояния, энергии диссоциации и частоты колебаний составили 2,75 ат. ед., 3,3 эВ и 1100 см^{-1} соотв. Полученные результаты сопоставлены с данными расчетов молекулы F_2 методом ЛКАО- X_α в базисе слейтеровских ф-ций с использованием дискретного вариац. метода для расчета матричных элементов гамильтониана (ЛКАО- X_α -СТО) и метода линейной комбинации «маффин — тин» орбиталей (ЛКМТО). Показано, что результаты расчетов методом ЛКАО- X_α -СТО близки к результатам расчетов методом ЛКАО- X_α -ГФ, причем оба метода близки к пределу, достижимому при решении X -ур-ний. Отмечено, что в силу использования базиса СТО и эффективности численной процедуры расчеты молекул методом ЛКАО- X_α -СТО более предпочтительны.

И. А. Тополь

F₂

7 Д129. Методы ЛКАО в формализме $X\alpha$: сравнение результатов для молекулы F_2 . LCAO methods in the $X\alpha$ formalism. A comparison of results for the F_2 molecule. Mintmire J. W. — Proceedings of the International Symposium on Atomic, Molecular, and Solid-State Theory, Collision Phenomena, Quantum Statistics, and Computational Methods, Flagler Beach, Fla, March 11—17, 1979. — «Int. J. Quantum Chem.», Quantum Chem. Symp. № 13, 163—168 (англ.)

1979

*M. n; 20
j.
i.*

Методом ЛКАО $X\alpha$ в базисе орбиталей гауссовского типа $11s7p$ исследовано электронное строение F_2 . Полученные результаты сопоставлены с данными расчетов методом ЛКАО Хартри — Фока — Слэтера в базисе орбиталей слэтеровского типа и в приближении линейной комбинации ячеичных орбиталей. Приведены равновесные межъядерные расстояния (2,75, 2,67; 2,91, эксперим. значение 2,68 ат. ед.), энергии диссоциации (3,3, 2,9; 0,3 и 1,7 эв) и колебательные частоты (1100, 1070, 840 и 892 см^{-1}). Кратко обсуждены возможные причины отличия результатов, полученных в ячеичном приближении, от остальных. Сделан вывод, что метод ЛКАО $X\alpha$ позволяет получить результаты, близкие к предельно возможным для приближения $X\alpha$.

В. Л. Лебедев

Ф. 1980. № 7

F_2

1979

$(\gamma_e, \delta_e^-$
packets)

92: 116905c LCAO methods in the $X\alpha$ formalism: a comparison of results for the fluorine molecule. Mintmire, J. W. (Quantum Theory Project, Univ. Florida, Gainesville, FL 32611 USA). *Int. J. Quantum Chem., Quantum Chem. Symp.* 1979, 13, 163-8 (Eng). For F_2 , the bond length ($r_e = 2.75$ at. unit), dissocn. energy ($D_e = 3.3$ eV), and mol. vibration const. ($\omega_e = 116$ cm^{-1}) were calcd. by using the LCAO- $X\alpha$ -GTO method of B. I. Dunlap, et al., (1977). Comparisons are made with the existing exptl. data and with published calcns. done by using other methods with the $X\alpha$ local-d. exchange potential for F_2 . The LCAO- $X\alpha$ -GTO method gave results close to the $X\alpha$ limit.

C.A. 1980. 92 n14

1979

F₂

13 Б124. Спектры энергетических потерь электронов молекулярного фтора. Nishimura Hirouki, Cartwright David C., Trajmar Sandor. Electron energy-loss spectra in molecular fluorine. «J. Chem. Phys.», 1979, 71, № 12, 5039—5041. (англ.)

Измерены спектры энергетич. потерь электронов молек. фтора в молек. пучке в области энергии 0—17,0 эв при начальных энергиях электронов 30, 50 и 90 эв и углах рассеяния 5—140°. Отнесение полос в области энергетич. потерь выше 11,5 эв к электронным состояниям проводилось в соответствии с имеющимися квантовомех. расчетами и данными оптич. спектроскопии. Наблюдено 11 отталкивательных валентных возбужденных электронных состояний, положения к-рых хорошо коррелируют с теор. предсказаниями. Полосы в области 11,8 и 12,8 эв наблюдаются впервые и отнесены к прямому возбуждению электронных состояний f^3P_g и $F^1\Pi_g$ молекулы F_2 . Резкие пики 14,9 и 15,25 эв предварительно отнесены к ридберговским или ионным состояниям $^1\Pi_u$ либо $^1\Sigma_u^+$.

С. Б. Осин

*БР-М/6.БУЗ**спектр в молек. пучке**Х 1980 № 13*

F₂

02222200812 8901

1979

Ohwada K.

Spectrochim. Acta,
1979, 35, 1353-57.

AM. Noct.

F₂

Lammarc 9276

1979

Urban et., Kello &

paesi
Kubox
nores.
2000 m
M.N.

Mol. Phys., 1979,
38 (5), 1621-33.

Core BH-III

F₂

1980

Aoyama T., et al.

rb.uex.
recrit
cl. II.

J. Chem. Phys., 1980, 73, N3
1329-33.



cult. H₂ - 11

F₂

1980

Hedderhede R.H.,
et al.

paevū Ei, 179 th ACS Nat. Meet.

Houston, Tex., 1980. Abstr.

Pap. Washington, D.C.,
S. A., 76.



(cav. LiH; II).

F_2

(ommited 10481)

1980

Aufderheide K.H., et al.

ICR. accx.
facer

J. Chem. Phys., 1980, 73 (4),
1789-1804

F_2

C_2HF

C_2F_2

1980

12 Д334. HeII-фотоэлектронная спектроскопия фтора и фторпроизводных ацетилена и диацетилена. Fluorine and the fluoroderivatives of acetylene and diacetylene studied by 30.4 nm He(II) photoelectron spectroscopy. Bieri Gerhard, Schmelzer Andreas,

(?)

+2



Ф. 1980 № 12

Asbrink Leif, Jonsson Mats. «Chem. Phys.», 1980, 49, № 2, 213—224 (англ.)

Исследованы HeII-фотоэлектронные спектры фтора (F_2) (I), C_2HF (II), C_2F_2 (III), C_4HF (IV), C_4F_2 (V). Вертикальные потенциалы ионизации I—V равны (в эВ): I — 15,87; 18,8; 21,1; II — 11,50; 18,0; 21,2; 24,3; III — 11,60; 17,7; 18,5; 20,6; 21,7; 25; IV — 10,25; 12,76; 17,7; 19,5; 21,2; 23,5; V — 10,35; 12,9; 17,9; 18,1; 19,3; 20,7; 21,6; 24. Фотоэлектронные спектры интерпретированы при помощи ряда как неэмпирических, так и полуэмпирич. расчетов энергий MO I—V, анализа колебательной структуры фотоэлектронных полос. Библ. 44.

Ю. В. Чижов

F₂

Cl₂

check
polymer

(+)

⊗

93: 228262t Studies of molecular halogen lasers: fluorescence spectroscopy, reaction kinetics and laser experiments. Diegelmann, M. (Max-Planck-Ges., D-8046 Garching, Fed. Rep. Ger.). *Max-Planck-Ges. Förd. Wiss., Projektgruppe Laserforsch.*, 1980, PLF 33, 124 pp. (Ger). Exptl. and theor. investigations were carried out on $D^1 \rightarrow A^1$ transitions from an ionically bound upper level to a covalent lower state in diat. homonuclear and heteronuclear halogen mols. Fluorescence spectra were recorded for the $D^1(^3\pi_{g}) \rightarrow A^1(^3\pi_{u})$ transitions in F₂ and Cl₂ as well as for the analogous transitions in all heteronuclear halogen mols. The kinetic processes relevant to the upper level population of halogen laser mols. were investigated. An exchange reaction of an electronically excited halogen atom with a ground state halogen donor mol. was identified as the key step in the kinetic scheme encompassing the most important processes in electron beam excited rare gas-halogen mixts. ClF, BrF, and IF showed lasing at 284, 354, and 491 nm, resp., both with electron beam pumping (except BrF) as well as for transversely excited atm. discharge excitation.

○

E.A. 1/130? GJ, NAY

F_2

1980

Douady J. et al

mark. Int. J. Quantum Chem.,
vol. 1980, 17, No. 211-233.



see Chy; III

F₂

1980

92: 266222g Accuracy of calculating potential curves and spectroscopic constants in the SCF-X_a-SW method. Geguzin, I. I.; Topol, I. A. (Nauchno-Issled. Inst. Fiz., Rostov-on-Don, USSR). *Zh. Strukt. Khim.*, 1980, 21(1), 155-6 : (Rus.). The difference between the potential curve for F₂ calcd. by the X_a-PB method with that calcd. by P. Weinberger and D. D. Konorvalon (1973) is related to the inaccuracy of the detn. of the energy and radial functions of the 1s and 2s F orbitals during change in the interat. distances and also to the inaccuracy of the establishing of the valence electron energies as to root of the secular equation of the X_a-D3 method. The spectroscopic const. were calcd. for the potential curve of F₂ according to the SCF-S_aSW method and compared with the values calcd. according to the method of P. W. and D. D. K. (1973). The results are explained by the inadequacy of the muffin-tin approxn. for 2-at. mols.

*Rb, eccx,
factes*

CA 1980 Id N24

1980

F_2

6 Д117. О точности вычисления потенциальных кри-
вых и спектроскопических постоянных в методе ССП.
 X_{α} рассеянных волн. Гегузин И. И., Тополь И. А.
«Ж. структур. химии», 1980, 21, № 1, 155—156

С помощью программы метода X_{α} — РВ для ЭВМ
БЭСМ-6, составленной авторами, рассчитана потен-
циальная кривая F_2 при тех же параметрах, что и в
работе (Weinberg P., Kopowalow P. R. «Int. J. Quant.
Chem.», 1973, 7, 353).

потенциал
Юрий Красильников

9 1980 № 6

F₂

1980

15 Б22. О точности вычисления потенциальных кривых и спектроскопических постоянных в методе ССП-Х_α рассеянных волн. Гегузин И. И., Тополь И. А. «Ж. структур. химии», 1980, 21, № 1, 155—156

Обсуждаются причины неточностей в расчетах потенциальных кривых методом Х_α-РВ в рамках «мафитин-тин» приближения. В кач-ве примера рассмотрены расчеты молекулы F₂. Отмечены две наиболее важные причины. Первая — неточность определения энергий и радиальных ф-ций 1s- и 2s-АО F при изменении R. Вторая — неточность отыскания энергий валентных электронов, как корней векового ур-ния. Последний эффект особенно важен на больших расстояниях, поскольку он приводит к увеличению электронной плотности вблизи поверхности атомных сфер, что сказывается на величине полной энергии. Отмечено, что разработанная авторами программа позволяет устранить эти трудности.

По резюме

*помеха
Куйков*

X 1980 N 15

F-F

1980

Hinde Alan L, et al.

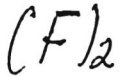
J. Comput. Chem., 1980,
1(2), 118-28.

ref. max.
paes.



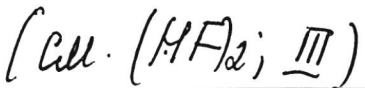
cell. Li-NH₂- \bar{N}

1980



KB. Mex pacrem.
nomens. Helleman

Hobza P., et al.,
Bollett. Czech. Chem.
Commun., 1980, 45, N5,
1323-1330



F_2

1981

Zoeresson Bo, et al.

J. Chem. Phys., 1981,
74(8), 4566 - 4578.

KB. met.

pacem

nosem

оружием

(cell. LiH; iii)

F₂

1980

Sug K, et al.

R.B. Mex.
prac. i; 3.
elazn

Theor. chim. acta, 1980,
57, N2, 131-44.

cell FH-17

F₂

1980

Katsuki Shin'ichi
et al.

(9)

Int. J. Quantum. Chem.,
1980, 18, N1, 259



cell. N₂-6

F_2

[Ottawa 11245]

1980.

Klimo V., et al.

rb. Mex.
palearct,
guccos.
spiegel.

Mol. Phys., 1980, 41(3)
477-81.



(an M) III

F₂

1980

Collmar H.

M. Payne
et al.
Theor. chim. acta, 1980,
58, 14, 19-30

cat. H₂-II

F_2

1980

4 Д9. Теорема о «центре тяжести» для полюсов одночастичной функции Грина. A «center of gravity» theorem for the poles of the one-particle Green's function. Liegener Christoph-Maria. «Chem. Phys. Lett.», 1980, 75, № 1, 169—172 (англ.)

Для полюсов ω_k, μ одночастичной ф-ции Грина $G_{ij}(\omega)$ мисгоэлектронной системы и ее вычетов a_{ij} , k в этих полюсах доказано соотношение

$$\sum_{k,\mu} a_{ijk}, \quad \mu\omega_k, \quad \mu = \varepsilon_i \delta_{ij} + M_{ij}^{(c)},$$

где ε_i — невозмущенные орбитальные энергии, $M_{ij}^{(c)}$ — постоянная (не зависящая от ω) часть неприводимого собственно-энергетич. оператора. Приведено обобщение указанного соотношения на случай высших степеней ω_k, μ . В качестве иллюстрации проанализированы полюса и вычеты в них для $G_{ij}(\omega)$ молекулы F_2 , рассчитанные в приближении CNDO.

С. В. Христенко

кб. мех.
рассчт

Ф. 1981 N 4

1980

Paxiari A.H., et al.,

Int. J. Quantum Chem.,
1980, 18(3), 661-73.

F₂

28. Mex.
pacien

(all F₂; III)

F₂

Lommel 9652) 1980

factes

moenys

M.N.

Pelissier M., et al.

Theor. chim. acta,
1980, 55, 43-54.

Cell HF; III

F_2

1980.

Sakai Yoshiko, et al.

Int. J. Quantum Chem.,

pacem
рельефу.
геометрии. Symp. N.Y., 107-112.



(ee. NaF; III)

F₂

1980

10 Д101. Компактные сгруппированные базисные наборы гауссового типа для атомов от Li до Ne.
Compact contracted gaussian-type basis sets from Li to Ne. Tatewaki Hiroshi, Huzinaga Sigeru.
—Proceedings of the International Symposium on Atomic, Molecular, and Solid-State Theory, Collision Phenomena, Quantum Statistics, and Computational Methods, Flagler Beach, Fla, March 10—20, 1980.— «Int. J. Quantum Chem.», 1980, Quantum Chem. Symp. № 14, 93—106 (англ.)

И.Н.

(+ij)

см. на сбörнe

В рамках описанной ранее процедуры (см. Tatewaki H., Huzinaga S. «J. Chem. Phys.», 1979, 71, 4339) построены 4 миним. базисных набора сгруппированных гауссовых ф-ций ($\Gamma\Phi$). В первом каждая из АО $1s$, $2s$ и $2p$ представлена группой из 3 примитивных $\Gamma\Phi$; он обозначен как (3,3) для атомов от Li до Be и как (3,3/3) для атомов от B до Ne. Кроме этого построены базисы (3,3/4), (4,4/3) и (4,3/4). Эти базисы приводят к энергиям валентных АО атомов, близким к рассчитанным в двухэкспонентном базисе. С этими и рядом

φ. N10. 1981

+9

других аналогичных базисов неэмпирич. методом ССП МО ЛКАО исследовано электронное строение F_2 , H_2 , Li_2 , C_2 , N_2 , BF , CO , C_2H_2 , ~~C_2H_4~~ и C_3H_6 . Рассчитанные орбитальные энергии согласуются с данными расчетов в расширенных базисах. Длины связей СС согласуются с эксперим. данными лучше, чем полученных в большем по величине базисе ОСТ-ЗГФ. Рассчитаны и сопоставлены с имеющимися эксперим. данными спектроскопич. постоянные и теплоты атомизации ряда из перечисленных молекул.

В. Л. Лебедев

ком.
ильин

F₂

В9-ХГ-6244

1980

18 Б52. Расчеты электронной структуры малых молекул методом ССП- X_{α} рассеянных волн. I. Основное электронное состояние молекулы F_2 . Тополь И. А., Дементьев А. И. «Ж. структ. химии», 1980, 21, № 2, 3—7

Методом ССП- X_{α} рассеянных волн в модели перекрывающихся атомных сфер рассчитан ряд характеристик молекулы F_2 и исследована их зависимость от степени перекрывания сфер и расширения системы учитываемых базисных функций. Рассчитанные спектроскопич. постоянные основного электронного состояния и потенциалы ионизации F_2 хорошо согласуются с экспериментом. Обсуждены возможности эмпирич. выбора параметров модели перекрывающихся атомных сфер.

Резюме

х 1980 № 18

F₂

89-Х-6244 1980

8 Д131. Расчеты электронной структуры малых молекул методом ССП-Х α рассеянных волн. I. Основное электронное состояние молекулы F₂. Тополь И. А., Дементьев А. И. «Ж. структ. химии», 1980, 21, № 2, 3—7

Методом ССП-Х α рассеянных волн в модели перекрывающихся атомных сфер рассчитан ряд характеристик молекулы F₂ и исследована их зависимость от степени перекрывания сфер и расширения системы учитываемых базисных ф-ций. Рассчитанные спектроскопич. постоянные основного электронного состояния и потенциалы ионизации F₂ хорошо согласуются с экспериментом.

Резюме

Ф 1980 № 8

F_2

89-XI-6845 1980

8Д132. Расчеты электронной структуры малых молекул методом ССП-Х α рассеянных волн. II. Возбужденные электронные состояния молекулы F₂. Тополь И. А., Дементьев А. И. «Ж. структ. химии», 1980, 21, № 2, 8—12

Методом ССП-Х α рассеянных волн в приближении перекрывающихся сфер проведены расчеты потенц. криевых и спектроскопич. постоянных возбужденных состояний ${}^1,{}^3\Sigma_u^+$, а также энергий ряда вертикальных возбуждений в молекуле фтора. Полученные результаты сопоставлены с экспериментом и с данными неэмпирич. расчетов. Проанализированы возможности метода ССП-Х α рассеянных волн для описания возбужденных состояний молекул. Ч. 1 см. реф. 8Д131. Резюме

Электрон.
структур.

Ф 1980 № 8

F_2

BP - XI - 6245

1980

93: S0638x Calculations of the electron structure of small molecules by the self consistent field $\chi(\alpha)$ scattered wave method. II. Excited electron states of a fluorine molecule. Topol, I. A.; Dement'ev, A. I. (Vses. Nauchno-Issled Inst. Metrol. Sluzhby "Gosstandarta", Moscow, USSR). *Zh. Strukt. Khim.* 1980, 21(2), 8-12 (Russ). The potential curve and spectroscopic consts. of the ${}^1, {}^3\Sigma_u^+$ excited states as well as the energies of excitation of F_2 were calcd. by the SCF $X\alpha$ scattered-wave method within the overlapping at. spheres approxn. The results are compared with the exptl. and nonempirical calcd. data. The applicability of the $X\alpha$ scattered-wave method in description of excited states of mols. is analyzed.

Rb. meet.
paeter

Berg

CA 1980 93 n8

F₂

В9-Х1-6245

1980

18 Б53. Расчеты электронной структуры малых молекул методом ССП-Х_α рассеянных волн. II. Возбужденные электронные состояния молекулы F₂. Тополь И. А., Дементьев А. И. «Ж. структ. химии», 1980, 21, № 2, 8—12

Методом ССП-Х_α рассеянных волн в приближении перекрывающихся сфер проведены расчеты потенциальных кривых и спектроскопич. постоянных возбужденных состояний ${}^1,{}^3\Sigma_u^+$, а также энергий ряда вертикальных возбуждений в молекуле фтора. Полученные результаты сопоставлены с экспериментом и с данными неэмпирич. расчетов. Проанализированы возможности метода ССП-Х_α рассеянных волн для описания возбужденных состояний молекул. Сообщ. I см. пред. реферат.

Резюме

Х 1980 № 18

F₂

Omnueck 11881

1981

195: 86724k The ground state potential curve for diatomic fluorine. Blomberg, Margareta R. A.; Siegbahn, Per E. M. (Inst. Theor. Phys., Univ. Stockholm, S-113 46 Stockholm, Swed.). *Chem. Phys. Lett.* 1981, 81(1), 4-13 (Eng).

The ground-state potential curve for F₂ was obtained using large-scale MC SCF and CI methods. MC SCF curves were obtained with the (complete active space) CAS SCF method using a variety of sets of active orbitals. The main conclusion from the CAS SCF calcns. is that the 2π_u orbital is important. CI curves were obtained using the contracted CI method. The largest calcns. contained 312,000 configurations of proper spin and space (D_{2h}) symmetry. The main conclusions from the CI calcns. are that the configurations $3\sigma_g^1 1\pi_g \rightarrow 3\sigma_u 2\pi_u$ should be included as ref. states and that f functions are important, otherwise errors in D_e of 0.3 eV and in r_e of 0.02 Å are found. The remaining errors at the CI level are 0.08 eV for D_e , 0.005 Å for r_e and less than 10 cm⁻¹ for the lowest vibrational levels.

Kl. leek.
patrem ill.n.,
Dc

C.A. 1981, 95, N10.

Омск 11881

1981

F_2
(и.л.)

22 Б38. Потенциальная кривая для основного состояния молекулы F_2 . Blomberg Margareta R. A., Siegbahn Per E. M. The ground-state potential curve for F_2 . «Chem. Phys. Lett.», 1981, 81, № 1, 4—13 (англ.)

Многоконфигурац. ионным методом ССП (МКССП) и методом конфигурац. взаимодействия (КВ) рассчитана потенциальная кривая основного состояния молекулы F_2 . Волновая ф-ция метода МКССП строилась с учетом всех возможных распределений электронов по активным орбиталям. Рассмотрено применение различных наборов активных орбиталей. Найдено, что для получения точных результатов в число активных орбиталей необходимо включить $2\pi_u$ -орбиталь. В наиболее точном расчете методом КВ учитывались 312156 приведенных по спину и имеющих правильную пространственную симметрию конфигураций, к-рые далее эффективно заменялись 3266 сгруппированными конфигурациями. Найдено, что для получения точных результа-

ж. 1981 № 22, 1945

тов в состав исходных конфигураций необходимо включить конфигурации $3\sigma_g^1 1\pi_g \rightarrow 3\sigma_u^1 2\pi_u$, а также использовать базис, содержащий f -функции. Приведены таблицы полных значений энергии при различных межъядерных расстояниях R , значения R_e , D_e , ω_e , $\omega_c x_e$, $\omega_c y_e$, B_e и энергий восьми нижних колебательных уровней, полученные различными вариантами методов МКССП и КВ. По мнению авторов ошибки в лучших рассчитанных значениях составляют: 0,08 для D_e ; 0,005 Å для R_e и меньше 10 см⁻¹ для низших колебательных уровней.

В. Б. Павлов-Веревкин

F_2

[Deutsche ex 12815]

1981

сбор., Bohm M. L.,
издание. Gleiter R.
расчеты. Theor. chiss. acta,
исследование. 1981, 59(2), 153-179.
издание;
г.

F_2

Ommech 18169

1981

Kb. Mex.
pacrem

Bruecena A., et al.,
Int. J. Quantum Chem.,
1981, 20, N6, 1285 - 1300

F₂

Lemmucci 10992 | 1981.

Ferreira R., et al.

Dicarlo -

onfuscan. Theor. chim. acta,
1981, 58, 131-36

F_2

1981

Hasanein S. A., et al.

Adv. Mol. Relaxation

y Interact. Processes 1981,
20(4), 215 - 231.



(copol. H_2 ; $\bar{M}_w = 111$)

F_2

Commecia 12183 | 1981.

(F_2)

Hasaninezhad, et al.

Kb. deex.
paper,
nerves.
Khubee

Advanc. Mol. Relax.
and Interact. Processes
1981, 20, 215-31.

1981

F₂

(Do)



12 Д235. Неэмпирическое изучение диссоциативного прилипания низкоэнергетических электронов к F_2 . Ab initio study of dissociative attachment of low-energy electrons to F_2 . Hazi A. U., Ogel A. E., Rescig - по Т. Н. «Phys. Rev. Lett.», 1981, 46, № 14, 918—922 (англ.)

Сообщаются результаты расчетов сечений диссоциативного применения низкоэнергетич. электронов (0—1 эВ) к четырем наиболее низколежащим уровням $F_2(e^- + F_2 \rightarrow F + F^-)$. Указывается, что это 1-е теоретич. рассмотрение диссоциативного прилипания, которое трактует как электронное, так и ядерное движение неэмпирически и которое не использует никаких эксперим. сечений в качестве отправной точки. Для описания динамики ядер используется резонансная теория рассеяния, сформулированная в рамках приближения Борна—Оппенгеймера, или адиабатич. ядерное приближение. Для упрощения рассмотрения делаются только два до-

Ф1981, 18, N12.

полнительных предположения. Полученные сечения при-
соединения сравниваются с имеющимися эксперим. дан-
ными. Найдены энергии диссоциации $F_2(^1\Sigma_g^+)$ и
 $F_2^-(^2\Sigma_u^+)$, которые равны 1,77 и 1,19 эВ соответст-
венно, и удовлетворительно совпадают с эксперим. зна-
чениями 1,68 и 1,29 эВ. Библ. 20. А. П. Калинин.



$(F_2 \dots F_2)$ January 12, 13) 1981

Hinchliffe A.

Heermans
Baerdregt,
Nederopzij -
Ceedens.
(Received)

Advan. Mol. Relax.
and Interact. Processes
1981, 20, 63-69.

F_2

Lennard-Jones | 1981.

Jönsson Bo, et al.

romers,

Kjelboe

Packer

Min; Vi; Do

J. Chem. Phys., 1981,
74 (8), 4568 - 75

1981

F₂

22 Б40. Исследование потенциальных кривых методами типа НХФ. Потенциальная кривая молекулы F_2 . Klímo Vilim, Tiňo Jozef. Study of potential curves by UHF type methods. Potential curve of F_2 molecule. «Collect. Czech. Chem. Commun.», 1981, 46, № 6, 1365—1369 (англ.)

Получены и сопоставлены между собой результаты расчетов в различных приближениях потенциальной кривой основного состояния молекулы F_2 . При вычислениях использован базисный набор гауссовых орбиталей ($7s3p$), дополненный 6 орбиталями, центрированными на связи. Рассмотрены след. приближения: ограниченный метод Хартри—Фока (ОХФ), неограниченный метод ХФ (НХФ), спин-спроектированный метод НХФ (ПНХФ) и теория возмущений Мёллера—Плессета во 2-м порядке, построенная на орбиталях ОХФ и НХФ. Отмечено, что результаты приближений ОХФ и НХФ неверны даже качественно вследствие триплетной неустойчивости ур-ний Хартри—Фока вблизи положения равновесия молекулы. Наилучшая потенциальная кривая (с точки зрения качеств. поведения) получается в формализме ПНХФ.

А. В. Немухин

*РСВ. чех.
расст,
го отчес.
уровни*

*X. 1981
W22, 19A5*

F₂

1981

*romerly.
Koubal*

96: 110437n Study of potential curves by UHF type methods. Potential curve of fluorine molecule. Klímo, Viliam; Tino, Jozef (Polymer Inst., Slovak Acad. Sci., 809 34 Bratislava, Czech.). *Collect. Czech. Chem. Commun.* 1981, 46(6), 1365-9 (Eng). The potential curve of the F₂ mol. was described by using the RHF, UHF, restricted and unrestricted Moller-Plesset, and projected UHF methods and compared with the exptl. one. Thus, the peculiarities of the various methods were revealed. The results suggest the direction of a further development of UHF type methods which would ensure a correct description of the given curve.

C. A. 1982, 96, N/4.

F_2

1981

Koch S., et al.

acetogly
pacruis
lwo-ecgy.

Theor. chem. acta, 1981,
SG, N 4, 387 - 411.

(cer. Be_2 ; II^{I})

F₂

1981

12 Д237. Константы скорости прилипания электрона к молекулам галогенов (F_2 , Cl_2 , Br_2 , I_2) для средних энергий от 10^{-2} до 10^2 эВ. Attachment rate coefficients of halogen molecules (F_2 , Cl_2 , Br_2 , I_2) for mean electron energies 10^{-2} to 10^2 eV. Кигера М. В., Бабич Д. С., Белич Д. С. «Chem. Phys.», 1981, 59, № 1—2, 125—136 (англ.)

Численные расчеты констант скорости прилипания электронов со средней энергией 10^{-2} — 10^2 эВ к молекулам галогенов выполнены для различных ф-ций распределения электронов по энергиям с использованием эксперим. значений сечения прилипания. В случае F_2 основной вклад в константу скорости вносит прилипание медленных электронов. Для молекулы Cl_2 срав-



(73)

Ф. 1981, 18, 112.

нимый вклад в константу дают электроны с энергиями в окрестности 0; 2,80 и 4,84 эВ. Константа скорости для Bg_2 медленно меняется в интервале энергий от 0,1 до 8 эВ. Прилипание электронов к J_2 наиболее эффективно при энергиях 1—4 эВ. Результаты расчетов удовлетворительно согласуются с эксперим. данными.

Е. Андреев

F₂

Омск 13723

1981

8 Д127. Вариационный метод ячеек в прикладных задачах квантовой механики: расчеты основных и возбужденных состояний молекул F₂ и Ne₂. The variational cellular method for quantum mechanical applications. Calculations of the ground and excited states of F₂ and Ne₂ molecules. Leite José R., Fazzio Adalberto, Lima Marco A. P., Dias A. M., Rosato Abel, Segre E. «Int. J. Quantum. Chem.», 1981, Quantum. Chem. Symp. № 15, 401—408 (англ.)

и-1.

Методом ячеек (вариант приближения X α) рассчитаны потенц. кривые и спектроскопич. постоянные для основных и ряда возбужденных состояний молекул F₂ и Ne₂. Результаты расчетов находятся в согласии с данными, полученными достаточно строгими квантовохимич. методами и экспериментом. Использованный метод с этой точки зрения заметно превосходит другие варианты метода X α .

В. И. Барановский

(H) *N₂*, 1982, 18, n/8.

F₂

Or. 13223

1981

15 Б31. Вариационный метод ячеек для квантовомеханических применений; расчеты основного и возбужденных состояний молекул F₂ и Ne₂. Leite José R., Fazzio Adalberto, ~~Lima~~ Marcos A. P., Dias A. M., Rosato Abel, Segre E. The variational cellular method for quantum mechanical applications: calculations of the ground and excited states of F₂ and Ne₂ molecules. «Int. J. Quantum. Chem.», 1981, Quantum. Chem. Symp. № 15, 401—408 (англ.)

расчет № 11

В рамках вариац. X_α-метода ячеек (ВМЯ) рассчитаны потенциальные кривые основного (¹Σ_g⁺) и первых возбужденных (¹Π_u, ¹Π_g) состояний молекулы F₂, а также основного (¹Σ_g⁺) и первого возбужденного (¹Σ_u⁺) состояний молекулы Ne₂. Метод основан на использовании вариац. принципа в рамках оригинального метода ячеек Вигнера—Зейтца. Вычисленные значения спектроскопич. постоянных (в скобках — экспе-

(1)

X. 1982, 19, N 15.

рим. значений) для основного состояния F_2 составили:
 $R_e=2,68$ (2,68) ат. ед., $D_e=2,8$ (1,6) эВ, $\omega_e=906$
(916,64) см $^{-1}$. Потенциальная кривая основного состоя-
ния Ne_2 в расчете ВМЯ является полностью отталкива-
тельной и не имеет вандерваальсового минимума. На
потенциальной кривой возбужденного состояния $^1\Sigma_u^+$
в Ne_2 имеется минимум при значении $R=2,47$ Å. Вер-
тикальная энергия возбуждения $T_e(^1\Sigma_g^+—^1\Sigma_u^+)$ при
 $R=2,47$ Å найдена равной 15,09 (16,58) эВ.

И. А. Тополь

F₂

[and 13723]

1981

mesopm-
pacrem

' 96: 110290j The variational cellular method for quantum mechanical applications: calculations of the ground and excited states of fluorine and neon molecules. Leite, Jose R.; Fazzio, Adalberto; Lima, Marco A.; Dias, A. M.; Rosato, Abel; Segre, E. (Inst. Fis., Univ. Sao Paulo, 20516 Sao Paulo, Brazil). *Int. J. Quantum Chem., Quantum Chem. Symp.* 1981, 15, 401-S (Eng). The variational cellular method (VCM) (L. M. Brescansin, et al., 1979; J. R. L., et al., 1979) was used to investigate the ground and excited electronic structures of the F₂ and Ne₂ mols. This work reports the first attempt to apply the VCM to the study of mol. excited states. The VCM gave potential-energy curves for these mols. with a good degree of phys. realism.

(1)

C. A. 1982, 96, N/4.

F_2

Ommec 13723]

1981

Leite J.R., et al.,

Lab. de ex.
pracrem

Int. J. Quantum Chem.,
1981, Quantum. Chem.
Symp. N15, 1981, 401-408

F_2

Omnuck 13085

1981

Lievin J., Breulet J.,
et al.

Doj

Theor. chim. acta, 1981,
60, N4, 339-353.

F_2

Омск 12/92

1981

ЗД70. Теоретическое исследование молекулы F_2 с использованием вариационного метода ячеек. Theoretical study of the F_2 molecule using the variational cellular method. Lima Marco A. P., Leite Jose R., Fazzio Adalberto. «J. Phys. B: Atom. and Mol. Phys.», 1981, 14, № 16, L533—L535 (англ.)

Методом ячеек выполнены расчеты потенц. кривых (ПК) состояний ${}^1\Sigma_g^+$, ${}^1\Pi_g$ и ${}^3\Pi_u$ молекулы F_2 . ПК основного состояния (${}^1\Sigma_g^+$) характеризуется следующими параметрами (в скобках — эксперим. значения): $R_e = 1; 41 \text{ \AA} (1,41193); D_e = 2,90 \text{ эВ} (1,66), \omega_e = 906 \text{ см}^{-1} (916,64)$. ПК для состояний ${}^1\Pi_{u,g}$ носят отталкивательный характер.

В. И. Б.

ср. 1982, 18, № 3.

F_2

meopem
pacrem

Omnick 12192

1981

195: 226064x Theoretical study of the fluorine molecule using the variational cellular method. Lima, Marco A. P.; Leite, Jose R.; Fazzio, Adalberto (Inst. Atividades Espaciais, Cent. Tec. Aerosp., 12200 Sao Jose, Brazil). *J. Phys. B* 1981, 14(16), L533-L535 (Eng). Variational cellular method (VCM) calcns. for F_2 were carried out at several internuclear distances. The ground- and excited-state potential curves are presented. The overall agreement between the VCM results and ab initio calcns. is fairly good.

C. A. 1981, 98, N^o 26.

F_2

Lommel 11378

1981.

Liška M., et al.

mn.

J. Mol. Struct., 1981,
F₂, 174 - 181.

F_2 Malli G. L. 1981

Relativistic Eff. Atom,
Mol., and Solids. Proc.

Kb. meet. NATO Adv. Study Inst.,
Pacem Vancouver, 10-21 Aug.,
Montreal 1981. New York; London,
1983, 183-211.

(Cer. H_2 ; $\overline{111}$)

1981

F₂

Aej

7 Б985. Энергетические потери и угловые распределения при столкновениях атомов щелочных металлов с молекулами фтора с образованием продуктов M^+ и F_2^- . Praxedes A. J. F., Moutinho A. M. C., Lachmann K. Energy loss and angular distributions in collisions of alkali atoms with fluorine molecules yielding $M^+ + F_2^-$. «VIII Int. Symp. Mol. Beams, Cannes, June 1—5, 1981». S. I., 1981, 236—238 (англ.)

В интервале энергий 20—120 эВ исследованы энергетич. потери и угловые распределения ионов, возникающих при столкновении атомов щел. металлов M ($M=Li, K, Cs$) с молекулами F_2 . Обсуждаются механизмы столкновения и оценено вертикальное электронное средство молекул F_2 .

— Е. Е. Никитин

X. 1982, 19, № 7.

F_2

Lommel 12099] 1981.

Stevie F.A., et al.

nonferit.
cerual
nonugatus
Dif. ygap

J. Chem. Phys., 1981,
74 (9), 5106 - 5110.

F_2

1982

9 Б45. Электронное строение молекулы F_2O_2 . Теоретические предсказания и сопоставление со строением молекул F_2 и F_2O . The structure of F_2O_2 . Theoretical predictions and comparisons with F_2 and F_2O . Ahrichs R., Taylor P. R. «Chem. Phys.», 1982, 72, № 3, 287—292 (англ.)

Неэмпирическим методом МО ЛКАО ССП с учетом и без учета конфигурац. взаимодействия (КВ) выполнены расчеты электронного и геометрич. строения молекул F_2 , F_2O и F_2O_2 . Все скоррелированные волновые функции получены в рамках приближения скоррелированных электронных пар, где учтены все одно- и двукратновозбужденные конфигурации со всех (СЭП-1) или высоколежащих (СЭП-2) валентных МО. Расчеты выполнены с использованием различных контрактированных наборов орбиталей Хузинаги—Даннинга от [4,2,1] до [6,4,2,1], т. е. с учетом не только d --, но и f -орбиталей. Первые две системы рассчитаны также с учетом всех одно- и двукратновозбужденных конфигу-

(+2)

Х. 1983, 19, № 9

раций (кроме 1s). Показано, что для воспроизведения геометрич. параметров в F_2 и F_2O достаточно использовать базис [5,3;2,1] или [5,3,2]. Расчеты молекулы F_2O_2 хотя и привели к достаточно хорошему совпадению с эксперим. величинами всех геометрич. параметров, однако не дают простую интерпретацию необычной геометрии этой системы, в частности укороченной связи O—O. Отмечено, что более точные результаты как для геометрии, так и для энергетич. характеристик могут быть получены при более точном учете корреляций энергии, напр., при использовании дэвидсоновских правок, учитывающих более высокие возбуждения. Отмечена более быстрая сходимость процедуры СЭП-1 по сравнению с СЭП-2.

С. Долин

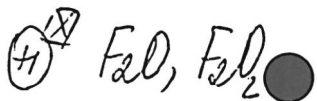
ДО-
М Ф

F₂

1982

98: 40957x The structure of dioxygen difluoride (F_2O_2): theoretical predictions and comparisons with molecular fluorine and fluorine oxide (F_2O). Ahlrichs, Reinhart; Taylor, Peter R. (Univ. Karlsruhe, D-7500 Karlsruhe, 1 Fed. Rep. Ger.). *Chem. Phys.* 1982, 72(3), 287-92 (Eng). High-quality correlated wavefunctions were generated for the mols. F_2 , F_2O and F_2O_2 and used to predict equil. structures. F_2 and F_2O serve as stds. for the F_2O_2 calcn., which predicts a geometry much closer to expt. than previous theor. studies. The very complicated correlation effects in these systems are discussed, but no simple explanation for the curious structure of F_2O_2 can be deduced.

бонноб.
98-III,
смржкыя



C. A. 1983, 98, N 6.

F_2

Lommel 14299

1982

Arcocar, Robertson E. A.,

et al.,
Xu et al.
1986

J. Phys. Chem., 1982, 86,
116, 894-899.

F_2

1982

Baerends E.J., Post D.

pacem

Quantum Theory Chem.

w.n.,

React. Vol. 3. Dordrecht

Do.

e.Q, 1982, 15-33.

(see. CeI_2 ; $\overset{\bullet}{-}^{III}$)

F_2

Omnuck 14270

1982

Banerjee A, Mukherjee D,
et al.,

I.P.,

Ae, не-
извест-
ный.

J. Chem. Phys., 1982,
76, N.Y., 1995-2002

F_2

Ommenck 14999)

1982

Becke A.D.,

Kb. Mex.
pacrem,
de, we, re,

J. Chem. Phys., 1982,
76, N12, 6037-6045.

M

F₂

1982

ЗД138. Энергии связи кластеров элементов в статистическом приближении. I. Гомоатомные кластеры непереходных элементов. Борисов Ю. А., Раевский Н. И. «Ж. структур. химии», 1982, 23, № 5, 10—15

Метод функционала плотности в простейшем статистич. приближении применен к расчету энергий связи гомоатомных молекул. Рассчитаны энергии связи двухатомных гомоатомных молекул I—V периодов таблицы Менделеева, кластеры углерода, серы и малые кластеры фосфора и мышьяка. Наблюдается качеств. согласие рассчитанных энергий связи с эксперим. значениями.

Резюме

№

(15) 47

оп. 1983, 18, № 3

ст. 47

Rb_2 , N_2 , P_2 , As_2 , γ_2

F₂

Onnuck 18560)

1982

Carsay P., Hubac J., et al

ZOMER,
K. MEX.
ZACEM

Theor. chim. acta, 1982,
60, N 5, 445 - 450.

F_2

1982

Chong Delario P.,
Langhoff Stephen R.

$\gamma;$

Chem. Phys., 1982, 67,
 N_2 , 153- 159.



(ccw. N_2 ; II)

F₂

Омск 13442

1982

*спектр
флуоресц.*

18 Б1208. Двухатомные интергалоидные молекулы для лазеров. Флуоресцентная спектроскопия и кинетика реакций. Diegelm a n n M., Hohla K., Rebentrost F., Kompa K. L. Diatomic interhalogen laser molecules. Fluorescence spectroscopy and reaction kinetics. «J. Chem. Phys.», 1982, 76, № 3, 1233—1247 (англ.)

Исследованы спектры флуоресценции (Фл) двухатомных галогеновых молекул в переходе $D'(^3P_{2g}) \rightarrow A'(^3P_{2u})$, возбуждаемые короткими импульсами (2 нс) быстрых электронов (максим. энергия 600 кэВ) в смесях большого избытка благородного газа с небольшим кол-вом X_2 ($X=F, Cl, Br, I$) или молекул X_2 различных типов (полное давл. до ~ 20 бар). С исполь-

~~(X)~~

(79)

X. 1982, 19, N 18

з а м
ч

зованием потенциала Риттнера для верхнего состояния $D'(^3\Pi_{2g})$ с ионной связью проведены расчеты молек. параметров молекул галогенов в этом состоянии — энергии диссоциации, равновесного межъядерного расстояния, нулевой колебательной частоты, а также длин волны флуоресцентного излучения. Получено хорошее согласие расчетных и эксперим. длин волн Фл. В экспериментах найдены след. значения длин волн Фл (нм): F_2 157,63; Cl_2 257,73; Br_2 292,0; J_2 342,4; ClF 28,41; $BrCl$ 314,2; BrF 354,33; JBr 385,7; JCl 431,29; JF 490,81. Предложена след. общая схема образования электронно-возбужденных молекул $X_2^*(D'^3\Pi_{2g})$ в смесях. Энергия, поглощенная газовой смесью, сначала локализуется в возбужденных и ионизованных атомах благородного газа [$(R^*(^3P_{0,2})$ или R^+]. Следующая стадия состоит в тройном соударении с образованием эксимера R_2^* или молек. иона R_2^+ . Кроме того, возбужденный атом R^* может непосредственно участвовать в гарпунной р-ции с молекулой — донором галогена типа MX с образованием галогенида благородного газа RX^* . В такой же р-ции могут участвовать и R_2^* , и R_2^+ . Далее происходит предиссоциация $RX^* \rightarrow R + X^*$, причем благородный газ R может быть подобран так, что предиссоциация будет протекать быстрее излучательной дезактивации RX^* . Образующийся возбужденный атом X^* может находиться в различных состояниях возбуждения, к-рые быстро переходят в низшие возбужденные состояния систем 2P и 4P . Далее эти атомы вступают в р-цию обмена $X^* + X_2 \rightarrow X_2^* + X$, давая возбужденную молекулу X_2^* , ответственную за наблюдаемую Фл. Эффективное излучательное время жизни атомов $X({}^2, {}^4P)$ в системе повышено из-за эффекта пленения их резонансного излучения (переходы в дублетное основное состояние ${}^2P_{3/2, 1/2}$), что способствует достижению инверсии населенностей уровней перехода $D' \rightarrow A'$, к-рая поддерживается также быстрой колебательной релаксацией нижнего A' -состояния или же индуцированной столкновениями диссоциацией этого состояния (напр., в случае F_2^* энергия связи нижнего A' -состояния равна всего 0,1 эВ). Для F_2 , Cl_2 и J_2 проведены эксперименты по изучению кинетики изменения Фл, в к-рых определены кинетич. параметры принятой схемы р-ций: $X^* \rightarrow X + hv(\tau_1)$; $X^* + MX \rightarrow X_2^* + M(k_1)$; $X_2^* \rightarrow X_2^* + hv(\tau_2)$; $X_2 + Q \rightarrow$ продукты (k_2) при давл. буферного газа Не 20 бар. При $X=F$, Cl и J соотв. получены след. значения τ_1 (нс): 134 ± 5 ; $100 - 200$; —; $k_1 (10^{-10} \text{ см}^3/\text{молекула} \cdot \text{с})$ $7,7 \pm 0,7$ (при $M=F$); $6,1$ (давл. Не 3,5 бар) или $4,3$; $3,5$ ($M=C_3F_7$) (для смеси $Ag-C_3F_7J$ при давл. 6 бар); τ_2 (нс) $3,7 \pm 0,2$; $120,4$ (5 бар Не) или $113,7$ (чистый Cl_2); $14,7 \pm 1,5$ (возбуждение электронным ударом паров J_2 при давл. 0,3 мбар); $k_2 (10^{-10} \text{ см}^3/\text{молекула} \cdot \text{с})$ $8,8$; $9,4$ (5 бар Не) или $7,6$ (чистый Cl_2); —. Аномально большое значение τ_2 для Cl_2^* объяснено тем, что верхнее состояние расщеплено на несколько уровней различной симметрии и излучательное состояние ${}^3\Pi_{2g}$ заселяется при столкновениях в переходах из соседних состояний, так что наблюдаемое τ_2 фактически представляет собой время релаксации между этими соседними состояниями. С этим эффектом могут быть связаны трудности с получением лазерной генерации Cl_2 при 258 нм. Обсуждаются особенности лазерных систем на интергалоидных молекулах.

Б. Е. Скурат

F₂

отт. 13442

1982

7 Д632. Лазерные молекулы двухатомных интергалогенов. Флуоресцентная спектроскопия и реакционная кинетика. Diatomic interhalogen laser molecules. Fluorescence spectroscopy and reaction kinetics. Diegelmann M., Hohla K., Rebentrost F., Kompa K. L. «J. Chem. Phys.», 1982, 76, № 3, 1233—1247 (англ.)

Исследована флуоресценция, возбуждаемая в смесях галогенсодержащих молекул и инертных газов коротким импульсом высокознергетич. электронов. В спектрах флуоресценции наблюдались переходы D' — A' молекул $\underline{F_2}$, $\underline{Cl_2}$, \underline{ClF} , $\underline{JC1}$, \underline{JF} , \underline{JBr} , \underline{BrCl} , \underline{BrF} . Длины волн излучения, рассчитанные в рамках простейшей модели, хорошо согласуются с экспериментом. Проанализированы процессы, ответственные за возбуждение верхних уровней. Основной реакцией, обуславливающей всю кинетич. схему, является реакция $X^* + RX \rightarrow X_2^* + R$. Кинетика флуоресценции хорошо описывается в рамках предложенной схемы реакций. На базе полученных результатов выполнены успешные лазерные эксперименты с некоторыми молекулами интергалогенов. Библ. 55.

В. С. Иванов

Слекмп

X

(+7)

оф 1982, 18, № 4

F_2

1982

England Walter. B.

Int. J. Quantum. Chem.,

pacrēū 1983, 23, N3 : Proc. 4th Int.

nomenu. Congr. Quantum Chem.,

Krupsix. Uppsala, 13-20, June 1982.

Contrib. Pap., Pt 3, 905-
-914. (cev. H₂; III)

F₂

Оттиск 14329

1982

22 Б189. Уточненные вращательные постоянные фтора $^{19}\text{F}_2$, полученные методом когерентной антистоксовой спектроскопии комбинационного рассеяния колебательной Q-ветви. Gilson T. R., Ригпелл M. R. Improved rotational constants for fluorine $^{19}\text{F}_2$ using coherent anti-Stokes Raman spectroscopy of the vibrational Q branch. «J. Raman Spectrosc.», 1982, 12, № 3, 222—223 (англ.)

М.Н.

Изучена вращательная структура Q-ветви основной колебательной полосы ($v=0-1$, $\nu=890 \text{ см}^{-1}$) в спектре КАРС газ. $^{19}\text{F}_2$ (I). Спектры регистрировались при плотностях 0,1—0,25 амага и т-ре 25° и 120°, разрешение на спектрах $\sim 0,15 \text{ см}^{-1}$. Уточнено положение центра Q-полосы ($\nu=892,02 \text{ см}^{-1}$), а также значения вращательных постоянных B_0 , B_1 , D_0 , D_1 и равновесного расстояния r_e I ($r_e=1,41426 \pm 0,00004 \text{ \AA}$). Эксперим. спектр КАРС сопоставлен с теоретически рассчитанным.
А. В. Бобров

X. 1982, 19, N22,

F_2

(CKP)

M.N.

Ommuck 14329

1982

97: 82017a Improved rotational constants for fluorine $^{19}\text{F}_2$ using coherent anti-Stokes Raman spectroscopy of the vibrational Q branch. Gilson, T. R.; Purnell, M. R. (Dep. Chem., Univ. Southampton, Southampton, UK SO9 5NH). *J. Raman Spectrosc.* 1982, 12(3), 222-3 (Eng). A coherent anti-Stokes Raman spectroscopy spectrum of the resolved Q branch of the fundamental $\nu = 0-1$ vibration for $^{19}\text{F}_2$ was obtained. The Q branch spectroscopic consts. are $(-\alpha_0) = -0.012972 \pm 0.000007 \text{ cm}^{-1}$ and $(\pm\beta_0) = -(8 \pm 1) \times 10^{-8} \text{ cm}^{-1}$. These are used to derive new values for the equil. and the $\nu = 1$ rotational consts., and lead to an improved est. for $r_e = 1.41426 \pm 0.00004 \text{ \AA}$.

C.A.1982, 97, N10

F₂

Оттиск 14329

1982

12 Д1759. Уточнение вращательных констант фтора $^{19}\text{F}_2$ с использованием когерентной антистоксовой спектроскопии комбинационного рассеяния в области колебательной ветви Q. Improved rotational constants for fluorine $^{19}\text{F}_2$ using coherent anti-Stokes Raman spectroscopy of the vibrational Q branch. Gilson T. R., Ригпелл M. R. «J. Raman Spectrosc.», 1982, 12, № 3, 222—223 (англ.)

М. Н.

Получены спектры когерентного антистоксовского комб. рас. газообразного фтора при комнатной т-ре и 120°C при плотностях 0,25—1 амага в области ветви Q основной колебательно-вращательной полосы F_2 с разрешением $0,15 \text{ см}^{-1}$. Начиная с линии Q(7) наблюдена дискретная вращательная структура. Измерены частоты линий и определены постоянные колебательно-вращательного взаимодействия α_0 и β_0 . Уточнены значения вращательных постоянных B_0 и B_1 и равновесного расстояния r_e молекулы F_2 .

М. В. Т.

Ф. 1982, 18, № 12

F_2

1982

Gleghorn John Tyler
McCorkey Frederick
pacuum Vi, William.

re

Theor. chim. acta,
1982, 61, N3, 283-293.

(cell. BF; III)

F_2

1982

Groper O., Wissloff-Nils
ser E.

monoclin., β . Mol. Struct., 1982,
copolymer, 88, N 3-4, Suppl. :
1 H. Theochem, 5, N 3-4.
● 243-248.
(crys. ClF_3 ; III)

F_2

1982

КВ.иех.
рекорд

Тусейков У.У., Чечоков
Э.М. и др.

Азерб. УН-т. Баку, 1982,
15c. Био-хим. 6 лист. (Рук.
 gen. в ВИНИТИ 19 июня 1982,
 N 3855 - 82 Den).

(см. L12; III)

F₂

D_i

*Спектр,
РФ. ГУР.*

Ф. 1982, 18, № 8.

09. 13721

1982

8 Д527. Экспериментальное и теоретическое изучение дипольных спектров возбуждения валентных оболочек молекулярного фтора. Experimental and theoretical studies of the valence-shell dipole excitation spectrum of molecular fluorine. Hitchcock A. P., Brion C. E., Williams G. R. J., Langhoff P. W. «Chem. Phys.», 1982, 66, № 3, 435—442 (англ.)

В области 10—42 эВ с энергетич. разрешением 60 МэВ исследованы спектры энергетич. потерь электронов в парах F₂ (I) при возбуждении электронами с энергией 2,5 кВ. В области 12—16 эВ зарегистрирован ряд интенсивных полос. При помощи расчетов в приближении случайных фаз с обменом показано, что наблюдаемые полосы соответствуют ридберговским переходам $1\pi_g \rightarrow pr\pi_u$. Установлено, что нерегулярность в серии малонитенсивных переходов X $\rightarrow ^1\Pi_u$ связана с конфигурационным взаимодействием состояний, возникающих при переходах $1\pi_g \rightarrow pr\sigma_u$ и $1\pi_u \rightarrow ns\sigma_g$. Проведено сравнение полученных данных с ВУФ-спектром I, полученным в работе (Colbourne E. A. et al. «Can. J. Phys.», 1976, 54, 1343). Библ. 30. Ю. В. Чижов

05. 13721

1982

F₂

| 96: 190138d Experimental and theoretical studies of the
valence-shell dipole excitation spectrum of molecular
fluorine. Hitchcock, A. P.; Brion, C. E.; Williams, G. R. J.;
Langhoff, P. W. (Dep. Chem., McMaster Univ., Hamilton, ON
Can. L8S 4M1). *Chem. Phys.* 1982, 66(3), 435-42 (Eng).
Electron energy-loss measurements and concomitant RPA-
with-exchange (RPAE) calcns. are reported of the valence-shell
dipole excitation spectrum of mol. F. The measured spectrum is
dominated by a series of strong features in the 12-16 eV interval
which are in accord with $X^1\Sigma_g^+ \rightarrow ^1\Sigma_u^+$ bands assigned in a
previously reported high-resoln. optical study. These features
are attributed on basis of the present RPAE calcns. to configuration
mixing between $1\pi_g \rightarrow np\pi_u$ Rydberg and $3\sigma_g \rightarrow 3\sigma_u$ intravalence
excitations. A depleted $X \rightarrow V_\sigma$ charge-transfer excitation is
correspondingly obstd. at ≈ 17 eV. in good accord with the calcd.
values. The appearance of the $\sigma \rightarrow \sigma^*$ transition in F₂ below the
 $3\sigma_g^{-1}$ threshold is in marked contrast to the situation in other
light diat. mols., in which cases $\sigma \rightarrow \sigma^*$ transitions appear as

CNETMP

C.A. 1982, 96, n22

intravalence shape resonances in photoionization continua. Assignments are also provided of weak, irregularly spaced $X^1\Sigma_g^+$ \rightarrow $^1\Pi_u$ excitations the origins of which are attributed to configuration mixing between $1\pi_g \rightarrow np\sigma_u$ and $1\pi_u \rightarrow ns\sigma_g$ Rydberg series.

F_2

1982

Hout Robert F., Levi
Picerem Beverly A., et al.

\bar{D}_i

J. Comput. Chem.,
1982, 3, N2, 234-250.

(Cer. H₂; \underline{III})

F_2

[Om. 16287]

1982

Kello V.,

крупные

ромашки.

Используя,
Следующий

КОНСТАНТУ

Chem. ZVesti 1982, 36(3),
289 - 299.

F_2 Malli G. L. 1982
Cerr. Aspects Quantum
Chem., 1981. Proc. Int. Conf.
and Workshop, Barcelona,
28 Sept.-3 Okt., 1981. Amster-
dam e.a., 1982, 199-218.

(Cer. Lig.; III)

F_2

[Omneek 13985]

1982

March N.H., Ilucci J.F.,

Несущие
силы,
к.мех-
аники

Phys. Lett., 1982, A 88,
N 4, 348-349.

F_2, F_2^+

1982

Mc Lean A.D., Yin B.,
et al.

Kl. Mex.
pacem

Clement Wale Funct, 2
Meet, Adelaide, 18-24
Febr., 1982. New York,
1982, 90-100.



(c.c. β_2 ;

F_2

1982

elle Master Blair N.,
pacruū Smith Vedene H., et al.

geekupon. Mol. Phys., 1982, 46,
reomueri. N3, 449-463.

(cres. C_2 ; III)

F_2

1982

Ohwada Ken.

pacrii J. Chem. Phys., 1982,
Cle. noee 77, N1, 424-428.
u F.

(aer. BeB; \underline{III})

F₂

Lommick 16283]

1982

Painter G.S., Averill F.W.,

Hopkins
162834

Phys. Rev. B. Condens.

Matter, 1982, 26, N⁴,

781-790.

F_2

1982

ROBB M. A.

Mol. Struct. and

сейсмоктурн.
изделий.

Conform. Amster-
dam e.a., 1982,

156 - 189.

(см. H_2 ; III)